



مؤسسه آموزش عالی غیر دولتی غیرانتفاعی انرژی

تشخیص بیماری شیزوفرنی مبتنی بر سیگنال الکتروانسفالوگرام و شاخص‌های فرکتال

پایان‌نامه برای دریافت درجه کارشناسی ارشد

در رشته مهندسی مهندسی پزشکی گرایش بیوالکتریک

نام دانشجو

محمدعلی جعفری

استاد راهنما:

دکتر حسین حسن پور

شهریور ماه ۱۴۰۱

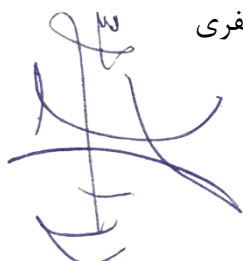
لَهُ مُحَمَّدٌ

تأییدیهی صحت و اصالت نتایج

باسم‌هه تعالی

اینجانب محمدعلی جعفری به شماره دانشجویی ۹۹۱۳۷۸۰۳ دانشجوی رشته مهندسی پزشکی-بیوالکتریک مقطع تحصیلی کارشناسی ارشد تأیید می‌نمایم که کلیه‌ی نتایج این پایان‌نامه حاصل کار اینجانب و بدون هرگونه دخل و تصرف است و موارد نسخه‌برداری شده از آثار دیگران را با ذکر کامل مشخصات منبع ذکر کرده‌ام. در صورت اثبات خلاف مندرجات فوق، به تشخیص دانشگاه مطابق با ضوابط و مقررات حاکم (قانون حمایت از حقوق مؤلفان و مصنفان و قانون ترجمه و تکثیر کتب و نشریات و آثار صوتی، ضوابط و مقررات آموزشی، پژوهشی و انسباطی ...) با اینجانب رفتار خواهد شد و حق هرگونه اعتراض درخصوص احراق حقوق مکتب و تشخیص و تعیین تخلف و مجازات را از خویش سلب می‌نمایم. در ضمن، مسؤولیت هرگونه پاسخگویی به اشخاص اعم از حقیقی و حقوقی و مراجع ذی‌صلاح (اعم از اداری و قضایی) به عهده‌ی اینجانب خواهد بود و دانشگاه هیچ‌گونه مسؤولیتی در این خصوص نخواهد داشت.

نام و نام خانوادگی: محمدعلی جعفری



امضا و تاریخ: ۱۴۰۱/۰۶/۲۶

مجوز بهره‌برداری از پایان‌نامه

بهره‌برداری از این پایان‌نامه در چهارچوب مقررات کتابخانه و با توجه به محدودیتی که توسط استاد راهنمای شرح زیر تعیین می‌شود، بلامانع است:

بهره‌برداری از این پایان‌نامه/رساله برای همگان بلامانع است.

بهره‌برداری از این پایان‌نامه/رساله با اخذ مجوز از استاد راهنمای، بلامانع است.

بهره‌برداری از این پایان‌نامه/رساله تا تاریخ ممنوع است.

نام استاد یا استادید راهنمای:

تاریخ:

امضا:

تقدیم به:

تقدیم به مهربان ترین مهربانان پدر و مادر عزیزم که وجودشان مظہر عشق، پاکی و بخشنده است.

تشکر و قدردانی:

سپاس خدای بزرگ را که مرا یاری رساند تا بتوانم مقطع تحصیلی کارشناسی ارشد را به پایان رسانده و گامی در راستای اعتلای علم بردارم. از استاد راهنمای گران قدرم که وجودشان همیشه قوتی برای انجام کارهایم بوده است و بدون شک انجام این پایان نامه بدون کمک و راهنمایی های ارزنده ایشان امکان پذیر نبوده است، کمال تشکر را دارم. تشکر از تمامی معلمان اساتیدی که توفیق دانش آموزی و دانشجویی در حضورشان را داشتم، از پدر، مادر گران قدرم و نیز دوستان عزیزم که همراهان همیشگی من بوده اند، تقدیر و تشکر دارم. و در پایان از تمامی عزیزانی که در طول انجام این پروژه مرا یاری کرده اند کمال تشکر و قدردانی را ابراز می نمایم.

چکیده

تحلیل فعالیت‌های مغزی یکی از حوزه‌های تحقیقاتی مهم در علوم اعصاب است. بررسی این فعالیت‌ها در بیماران دارای اختلالات مغزی در ددههای اخیر توجه زیادی را به خود جلب کرده است. از جمله حوزه‌های تحقیقاتی مهم در این زمینه، مقایسه فعالیت مغزی در افراد سالم و افراد با اختلالات خاص می‌باشد. یکی از بیماری‌های جدی ناشی از اختلالات عصبی مغز، بیماری شیزوفرنی است که از جمله اختلالات روانی حاد بوده و تشخیص زودهنگام آن اهمیت بالایی دارد. از آن‌جا که سیگنال الکتروانسفالوگرام یا EEG، که ثبت غیرتهاجمی و چندکانالی فعالیت الکتریکی مغز است و با رزولوشن زمانی بالا صورت می‌گیرد، حاوی اطلاعات ارزشمندی از عملکرد مغز و ارتباط نواحی مختلف مغزی است. بر این اساس سیگنال EEG از مهم‌ترین ابزارهای تشخیصی بشمار می‌رود.

در این پژوهه از سیگنال EEG به منظور تشخیص بیماری شیزوفرنی بهره گرفته شده است. دادگان مورد استفاده شامل دادگان مربوط به ۳۹ فرد سالم و ۴۵ فرد دارای علایم بیماری شیزوفرنی می‌باشد که با فرکانس ۱۲۸ هرتز از ۱۶ کanal به مدت یک دقیقه به ثبت رسیده است. به دلیل، ماهیت غیر ایستان و غیر خطی سیگنال EEG، ویژگی بعد فراکتال که از جمله ویژگی‌های غیر خطی در پردازش سیگنال بوده و معیاری از پیچیدگی سیگنال است، با استفاده از ۷ الگوریتم مختلف (هفت شاخص فراکتال شامل بعد هیگوچی، بعد کاتز، نمای هrst تعمیم‌یافته، بعد ماراگوس-سان، روش تحلیل نوسان‌های بدون تمایل، بعد لیبوویچ-توث و نوسانات فراکتالی) از هر کanal به صورت مجزا استخراج گشته است. در نهایت برای بررسی عملکرد این ویژگی‌ها و نیز مقایسه آن‌ها آزمون آماری ویلکاکسان رتبه حاصل جمع اجرا گشته است. مشابه این بررسی بر روی متوسط ویژگی‌ها برای هر شخص نیز اجرا گشته است. نتایج بررسی‌ها نشان می‌دهد که بعد ماراگوس-سان در تمام کanal‌ها ($p < 0.05$) و نیز به طور متوسط ($p < 0.001$) سبب اختلاف معنادار گشته به نحوی که می‌توان گفت پیچیدگی سیگنال‌های EEG به طور معناداری در بیماری شیزوفرنی کاهش می‌یابد.

واژه‌های کلیدی: بیماری شیزوفرنی، سیگنال الکتروانسفالوگرام، بعد فراکتال، آزمون ویلکاکسان رتبه حاصل جمع

فهرست مطالب

۱	فصل ۱: مقدمه
۲	۱-۱- مقدمه
۵	۲-۱- بیان مسأله
۶	۳-۱- ساختار پایان نامه
۷	فصل ۲: مروری بر منابع
۸	۱-۲- مقدمه
۸	۲-۲- مروری بر ادبیات موضوع
۲۰	۳-۲- جمع‌بندی
۲۱	فصل ۳: مواد و روش‌ها
۲۲	۱-۳- مقدمه
۲۲	۲-۳- دریافت دادگان
۲۳	۳-۳- استخراج ویژگی
۲۷	۱-۳-۳- بعد هیگوچی
۲۸	۲-۳-۳- بعد کاتز
۲۹	۳-۳-۳- نمای هرست تعمیم یافته
۳۰	۴-۳-۳- بعد ماراگوس-سان
۳۱	۵-۳-۳- تحلیل نوسان‌های بدون تمایل
۳۲	۶-۳-۳- بعد لیبوویچ-توث
۳۲	۷-۳-۳- نوسانات فراکتالی
۳۳	۴-۴- آزمون‌های آماری
۳۵	۱-۴-۳- آزمون ویلکاکسان رتبه حصل جمع
۳۵	۵-۳- جمع‌بندی
۳۶	فصل ۴: نتایج و تحلیل آن‌ها
۳۷	۱-۴- مقدمه
۳۷	۲-۴- دریافت و آماده‌سازی دادگان
۴۰	۳-۴- استخراج ویژگی و اجرای آزمون آماری
۷۴	۴-۴- جمع‌بندی
۷۶	فصل ۵: جمع‌بندی و پیشنهادها

۷۷	-۱-۵ مقدمه
۷۸	-۲-۵ محتوا
۷۸	-۱-۲-۵ جمع‌بندی
۷۹	-۲-۲-۵ نوآوری
۷۹	-۳-۲-۵ پیشنهادها
۸۱	مراجع
۸۵	پیوست‌ها

فهرست اشکال

..... ۳	شكل (۱-۱) دستگاه الکتروانسفالوگراف برای ثبت غیرتهدیمی سیگنال EEG [۵]
..... ۴	شكل (۲-۱) نحوه قرارگیری الکترودهای دستگاه انسفالوگراف برای ثبت سیگنال EEG [۵]
..... ۵	شكل (۳-۱) پنج باند فرکانسی اصلی سیگنال EEG به نامهای باند دلتا، تتا، آلفا، بتا و گاما
..... ۹	شكل (۱-۲) دو نمونه از حرکت‌های بینایی مورد استفاده برای ثبت سیگنال و الگوریتم طراحی شده برای تشخیص بیماری شیزوفرنی توسط دیویا و همکاران [۷]
..... ۱۱	شكل (۲-۲) الگوریتم ارایه شده توسط لی و همکاران جهت تشخیص بیماری شیزوفرنی [۸]
..... ۱۳	شكل (۳-۲) الگوریتم ارایه شده توسط شیم و همکاران جهت تشخیص بیماری شیزوفرنی [۹]
..... ۱۴	شكل (۴-۲) مراحل ثبت سیگنال در مطالعه یوهانسن و همکاران [۱۰]
..... ۱۶	شكل (۵-۲) نمونه‌ای سیگنال EEG ۱۶ کانالی از پایگاه داده [۱۶] از یک فرد سالم (چپ) و بیمار (راست)
..... ۲۲ شکل (۱-۳) بلوك دیاگرام کلی پروژه، شامل سه مرحله اصلی تحقیق
..... ۳۹ شکل (۲-۳) محل قرارگیری الکترودها به منظور ثبت سیگنال EEG از ۴۵ فرد مبتلا به بیماری شیزوفرنی و ۳۹ فرد سالم [۱۲]
..... ۲۴ شکل (۳-۳) مجموعه مندلبرو از ساختارهای فراکتالی مشهور در ریاضیات [۲۷]
..... ۲۴ شکل (۴-۳) مجموعه ژولیا از ساختارهای فراکتالی مشهور در ریاضیات [۲۸]
..... ۲۵ شکل (۵-۳) مثلث سرپینسکی از ساختارهای فراکتالی مشهور در ریاضیات [۲۹]
..... ۲۶ شکل (۳-۶) نمونه‌هایی از ساختارهای فراکتال در طبیعت [۳۰]
..... ۲۷ شکل (۷-۳) روش شمارش جعبه‌ای، اصلی‌ترین روش محاسبه بعد فراکتال [۳۳]
..... ۳۳ شکل (۸-۳) نمونه‌ای ولگشت یا قدم زدن تصادفی ۲۰ ذره در فضای دو بعدی [۴۱]
..... ۳۴ شکل (۹-۳) فرض صفر و فرص جانشین برای آزمون آماری استنباطی [۴۳]
..... ۳۸ شکل (۱-۴) سیگنال EEG ثبت شده از ۱۶ الکترود ثبت با کanal برای یک فرد سالم. سیگنال‌های دارای فرکانس نمونه‌بردای ۱۲۸ بوده و در مدت ۶۰ ثانیه به ثبت رسیده است.
..... ۳۹ شکل (۲-۴) سیگنال EEG ثبت شده از ۱۶ الکترود ثبت با کanal برای یک فرد مبتلا به بیماری شیزوفرنی. سیگنال‌های دارای فرکانس نمونه‌بردای ۱۲۸ بوده و در مدت ۶۰ ثانیه به ثبت رسیده است.
..... ۴۰ شکل (۳-۴) هیستوگرام ویژگی بعد هیگوچی استخراج شده از ۸۴ سیگنال EEG شامل ۳۹ سیگنال فرد سالم و ۴۵ سیگنال فرد مبتلا به بیماری شیزوفرنی برای ۱۶ کanal مجزا

- شكل (۴-۴) میانگین و انحراف معیار ویژگی بعد هیگوچی در ۱۶ کanal EEG برای دادگان افراد سالم و افراد مبتلا به بیماری شیزوفرنی ۴۳
- شكل (۵-۴) میانگین و انحراف معیار ویژگی بعد هیگوچی متوسط در ۱۶ کanal EEG برای دادگان افراد سالم و افراد مبتلا به بیماری شیزوفرنی ۴۴
- شكل (۶-۴) هیستوگرام ویژگی بعد کاتز استخراج شده از ۸۴ سیگنال EEG شامل ۳۹ سیگنال فرد سالم و ۴۵ سیگنال فرد مبتلا به بیماری شیزوفرنی برای ۱۶ کanal مجزا ۴۵
- شكل (۷-۴) میانگین و انحراف معیار ویژگی بعد کاتز در ۱۶ کanal EEG برای دادگان افراد سالم و افراد مبتلا به بیماری شیزوفرنی ۴۸
- شكل (۸-۴) میانگین و انحراف معیار ویژگی بعد کاتز متوسط در ۱۶ کanal EEG برای دادگان افراد سالم و افراد مبتلا به بیماری شیزوفرنی ۴۹
- شكل (۹-۴) هیستوگرام ویژگی نمای هrst تعمیم یافته استخراج شده از ۸۴ سیگنال EEG شامل ۳۹ سیگنال فرد سالم و ۴۵ سیگنال فرد مبتلا به بیماری شیزوفرنی برای ۱۶ کanal مجزا ۵۰
- شكل (۱۰-۴) میانگین و انحراف معیار ویژگی نمای هrst تعمیم یافته در ۱۶ کanal EEG برای دادگان افراد سالم و افراد مبتلا به بیماری شیزوفرنی ۵۳
- شكل (۱۱-۴) میانگین و انحراف معیار ویژگی نمای هrst تعمیم یافته متوسط در ۱۶ کanal EEG برای دادگان افراد سالم و افراد مبتلا به بیماری شیزوفرنی ۵۴
- شكل (۱۲-۴) هیستوگرام ویژگی بعد ماراگوس-سان استخراج شده از ۸۴ سیگنال EEG شامل ۳۹ سیگنال فرد سالم و ۴۵ سیگنال فرد مبتلا به بیماری شیزوفرنی برای ۱۶ کanal مجزا ۵۵
- شكل (۱۳-۴) میانگین و انحراف معیار ویژگی بعد ماراگوس-سان در ۱۶ کanal EEG برای دادگان افراد سالم و افراد مبتلا به بیماری شیزوفرنی ۵۸
- شكل (۱۴-۴) میانگین و انحراف معیار ویژگی بعد ماراگوس-سان متوسط در ۱۶ کanal EEG برای دادگان افراد سالم و افراد مبتلا به بیماری شیزوفرنی ۵۹
- شكل (۱۵-۴) هیستوگرام ویژگی بعد روش تحلیل نوسان های بدون تمایل استخراج شده از ۸۴ سیگنال EEG شامل ۳۹ سیگنال فرد سالم و ۴۵ سیگنال فرد مبتلا به بیماری شیزوفرنی برای ۱۶ کanal مجزا ۶۰
- شكل (۱۶-۴) میانگین و انحراف معیار ویژگی بعد روش تحلیل نوسان های بدون تمایل در ۱۶ کanal EEG برای دادگان افراد سالم و افراد مبتلا به بیماری شیزوفرنی ۶۳
- شكل (۱۷-۴) میانگین و انحراف معیار ویژگی بعد روش تحلیل نوسان های بدون تمایل متوسط در ۱۶ کanal EEG برای دادگان افراد سالم و افراد مبتلا به بیماری شیزوفرنی ۶۴
- شكل (۱۸-۴) هیستوگرام ویژگی بعد لیبوویچ-توث استخراج شده از ۸۴ سیگنال EEG شامل ۳۹ سیگنال فرد سالم و ۴۵ سیگنال فرد مبتلا به بیماری شیزوفرنی برای ۱۶ کanal مجزا ۶۵

شکل (۱۹-۴) میانگین و انحراف معیار ویژگی بعد لیبوویچ-توث در ۱۶ کanal EEG برای دادگان افراد سالم و افراد مبتلا به بیماری شیزوفرنی.....	۶۸
شکل (۲۰-۴) میانگین و انحراف معیار ویژگی بعد لیبوویچ-توث متوسط در ۱۶ کanal EEG برای دادگان افراد سالم و افراد مبتلا به بیماری شیزوفرنی	۶۹
شکل (۲۱-۴) هیستوگرام ویژگی بعد نوسانات فراكتالی استخراج شده از ۸۴ سیگنال EEG شامل سیگنال فرد سالم و ۴۵ سیگنال فرد مبتلا به بیماری شیزوفرنی برای ۱۶ کanal مجزا.....	۷۰
شکل (۲۲-۴) میانگین و انحراف معیار ویژگی بعد نوسانات فراكتالی در ۱۶ کanal EEG برای دادگان افراد سالم و افراد مبتلا به بیماری شیزوفرنی.....	۷۳
شکل (۲۳-۴) میانگین و انحراف معیار ویژگی بعد نوسانات فراكتالی متوسط در ۱۶ کanal EEG برای دادگان افراد سالم و افراد مبتلا به بیماری شیزوفرنی.....	۷۴

فهرست جداول

جدول (۱-۲) مروری بر کارهای انجام شده بر روی سیگنال EEG برای تشخیص بیماری شیزوفرنی در سال‌های اخیر.....	۱۷
جدول (۱-۴) نتایج آزمون اماری ویلکاکسان رتبه حاصل جمع با سطح معناداری ۹۵٪ برای شاخص بعد هیگوچی در ۱۶ کانال.....	۴۱
جدول (۲-۴) نتایج آزمون اماری ویلکاکسان رتبه حاصل جمع با سطح معناداری ۹۵٪ برای شاخص بعد هیگوچی متوسط.....	۴۴
جدول (۳-۴) نتایج آزمون اماری ویلکاکسان رتبه حاصل جمع با سطح معناداری ۹۵٪ برای شاخص بعد کاتز در ۱۶ کانال	۴۶
جدول (۴-۴) نتایج آزمون اماری ویلکاکسان رتبه حاصل جمع با سطح معناداری ۹۵٪ برای شاخص بعد کاتز متوسط.....	۴۸
جدول (۴-۵) نتایج آزمون اماری ویلکاکسان رتبه حاصل جمع با سطح معناداری ۹۵٪ برای شاخص نمای هرست تعمیم یافته در ۱۶ کانال	۵۱
جدول (۶-۴) نتایج آزمون اماری ویلکاکسان رتبه حاصل جمع با سطح معناداری ۹۵٪ برای شاخص نمای هرست تعمیم یافته متوسط	۵۴
جدول (۷-۴) نتایج آزمون اماری ویلکاکسان رتبه حاصل جمع با سطح معناداری ۹۵٪ برای شاخص بعد ماراگوس-سان در ۱۶ کانال	۵۶
جدول (۸-۴) نتایج آزمون اماری ویلکاکسان رتبه حاصل جمع با سطح معناداری ۹۵٪ برای شاخص بعد ماراگوس-سان متوسط.....	۵۸
جدول (۹-۴) نتایج آزمون اماری ویلکاکسان رتبه حاصل جمع با سطح معناداری ۹۵٪ برای شاخص بعد روش تحلیل نوسان‌های بدون تمایل در ۱۶ کانال.....	۶۱
جدول (۱۰-۴) نتایج آزمون اماری ویلکاکسان رتبه حاصل جمع با سطح معناداری ۹۵٪ برای شاخص بعد روش تحلیل نوسان‌های بدون تمایل متوسط	۶۳
جدول (۱۱-۴) نتایج آزمون اماری ویلکاکسان رتبه حاصل جمع با سطح معناداری ۹۵٪ برای شاخص بعد لیبوویچ-توث در ۱۶ کانال	۶۶
جدول (۱۲-۴) نتایج آزمون اماری ویلکاکسان رتبه حاصل جمع با سطح معناداری ۹۵٪ برای شاخص بعد لیبوویچ-توث متوسط	۶۹
جدول (۱۳-۴) نتایج آزمون اماری ویلکاکسان رتبه حاصل جمع با سطح معناداری ۹۵٪ برای شاخص بعد نوسانات فراکتالی در ۱۶ کانال	۷۱

جدول (۱۴-۴) نتایج آزمون اماری ویلکاکسان رتبه حاصل جمع با سطح معناداری ۹۵٪ برای شاخص بعد
نوسانات فراكتالی متوسط ۷۴

فهرست علائم اختصاری

<i>EEG</i>	الکتروانسفالوگرام
<i>ERP</i>	پتانسیل‌های مرتبط با رویداد
<i>LDA</i>	تحلیل افتراقی خطی
<i>PLV</i>	مقدار قفل‌شدن فاز
<i>SPN</i>	الگوی فضایی شبکه
<i>SVM</i>	ماشین بردار پشتیبان
<i>KNN</i>	K تا نزدیک‌ترین همسایه
<i>DT</i>	درخت تصمیم
<i>MNE</i>	برآورد کمینه هنجار
<i>BEM</i>	روش عنصر مرزی
(μ V) <i>Amp.</i>	دامنه ثبت
(s) <i>t</i>	زمان
<i>HFD</i>	بعد هیگوچی
<i>KFD</i>	بعد کاتز
<i>GHE</i>	نمای هرست تعمیم‌یافته
<i>MSFD</i>	بعد ماراگوس-سان
<i>DFA</i>	بعد تحلیل نوسان‌های بدون تمایل
<i>LTFD</i>	بعد لیبوویچ-توث
<i>FV</i>	نوسانات فراکتالی

فصل ۱:

مقدمه

۱-۱- مقدمه

فعالیت عصبی مغز انسان بین هفده تا بیست و سومین هفته پیش از تولد آغاز می‌شود. این باور وجود دارد که از این مرحله اولیه و در تمام طول زندگی فرد، سیگنال‌های الکتریکی تولیدشده توسط مغز نه تنها عملکرد مغز بلکه وضعیت تمام بدن را مشخص می‌کند. این فعالیت‌های توسط سیگنال الکتروانسفالوگرام (به اختصار EEG) قابل ثبت و نمایش است. بر اساس این فرض، روش‌های مختلف و حتی گاهی پیچیده پردازش سیگنال‌های EEG ارایه شده است [۱]. درک عملکرد نورون‌ها و ویژگی‌های نوروفیزیولوژیکی^۱ مغز و نیز مکانیزم اساسی تولید سیگنال‌های EEG و ثبت آن همگی در کنار هم به تشخیص بهتر و درک عمیق‌تر از بیماری‌های مغزی نظیر اختلال شیزوفرنی می‌انجامد.

بیماری شیزوفرنی^۲ یک بیماری روانی است که تاکنون در ۰/۵٪ تا ۱٪ جمعیت جهانی شناسایی شده است. این بیماری را می‌توان پیامد یک سندرم روان‌پریشی پیچیده^۳ دانست که احتمال شیوع آن در طول زندگی فرد حدود ۰/۲٪ تا ۰/۳٪ تخمین زده است که میزان آن بسته به سن فرد تا حد قابل توجهی قابل اندازه‌گیری است. شایان ذکر است که این میزان در سنین کم بالاتر از سنین بالاتر شناسایی شده است. این سندرم روان‌پریشی ابعاد و نشانه‌های مختلفی دارد که عبارت است از: جنون (توهم و هذیان)، اختلال انگیزشی (گریز یا بی‌انگیزگی)، اختلال در تنظیم عواطف (شیدایی و افسردگی) و دگرگونی در پردازش اطلاعات (اختلال شناختی) [۲]. علایم این بیماری که عموماً توهمندی، هذیان، اختلال فکری، پرهیز از اجتماع و بی‌انگیزگی است معمولاً در دهه‌های دوم و سوم پدیدار می‌گردد و سبب اختلال در عملکرد روزمره فرد می‌گردد. علت این بیماری هنوز بسیار شناخته شده نیست اما به نظر برخی محققین اختلال در تکامل عصبی که می‌تواند یک اختلال ژنتیکی نیز باشد، فرد را مبتلا به ابتلا به این بیماری می‌کند. ناهنجاری در اتصالات قشری مغز نیز می‌تواند از دلایل ابتلا به این بیماری باشد چراکه از انتقال صحیح اطلاعات میان نواحی مختلف مغز جلوگیری می‌کند [۳].

از سویی، سیگنال EEG شامل اطلاعات مهمی از عملکرد مغز در اختیار قرار می‌دهد، یک ابزار با ثبت غیرتهاجمی مهم به شمار می‌رود که پتانسیل بالایی را برای تشخیص بسیاری از بیماری‌های مغزی از جمله

¹ Neurophysiological

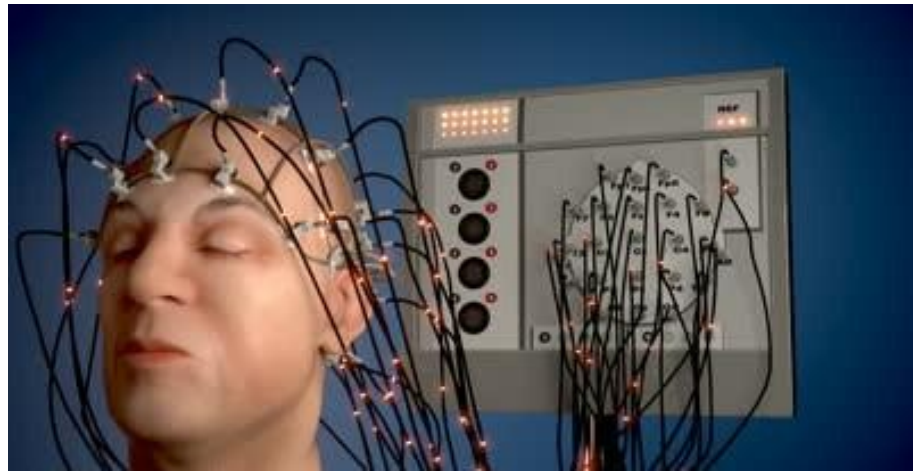
² Schizophrenia

³ Complex

بیماری شیزووفرنی فراهم می‌کند. این سیگنال با دقتی در حدود میلی ثانیه ثبت می‌شود و رزولوشن زمانی بالایی دارد د از این‌رو می‌تواند تغییر سریع الگوهای مغزی را نمایش دهد. از این روست که پیش‌تر در ارزیابی‌های بالینی بسیار پرکاربرد بوده و تحت عنوان نوار مغزی مورد استفاده پزشکان قرار می‌گیرد. به طور دقیق‌تر، سیگنال EEG منعکس‌کننده اطلاعات پتانسیل‌های پس‌سیناپسی نورون‌های قشر مغزی است [۴]. سیگنال EEG، با استفاده از الکترودهایی که به صورت غیرتھاجمی بر روی جمجمه نصب می‌شوند قابل ثبت بوده و نام این دستگاه، الکتروانسفالوگراف است. تعداد کانال‌های ثبت سیگنال EEG به تعداد این الکترودهای ثبت بستگی دارد که هر یک بر روی ناحیه خاصی از مغز قرار می‌گیرد.



شکل (۱-۱) دستگاه الکتروانسفالوگراف برای ثبت غیرتھاجمی سیگنال EEG [۵]



شکل (۲-۱) نحوه قرارگیری الکترودهای دستگاه الکتروانسفالوگراف برای ثبت سیگنال EEG [۵]

سیگنال EEG در دسته سیگنال‌های غیر ایستان^۱ بوده و دارای محدوده فرکانسی ۰/۵ تا ۴۰ هرتز (Hz) و دامنه‌ای در حدود میکرو ولت (V μ) است. این سیگنال شامل چهار باند فرکانس اصلی است [۶]:

۱- باند دلتا^۲ (۰/۵ تا ۴ هرتز) که کمترین نوسانات را دارد و معمولاً می‌تواند در حالت خواب یا بی‌هوشی شناسایی شود.

۲- باند تتا^۳ (۴ تا ۸ هرتز) در برخی از مراحل خواب و حالت توجه اندک قابل تشخیص است.

۳- باند آلفا^۴ (۸ تا ۱۴ هرتز) در هنگام استراحت با چشمان بسته چشم و بیداری توسط مغز تولید می‌شود.

۴- باند بتا^۵ (۱۴ تا ۳۰ هرتز) در حالت بیدار و هوشیاری کامل و تمرکز فعال تولید می‌گردد.

۵- باند گاما^۶ (۳۰ تا ۴۰ هرتز) قوtierین پاسخ الکتریکی را به محرک بینایی دارد.

¹ Non-stationary

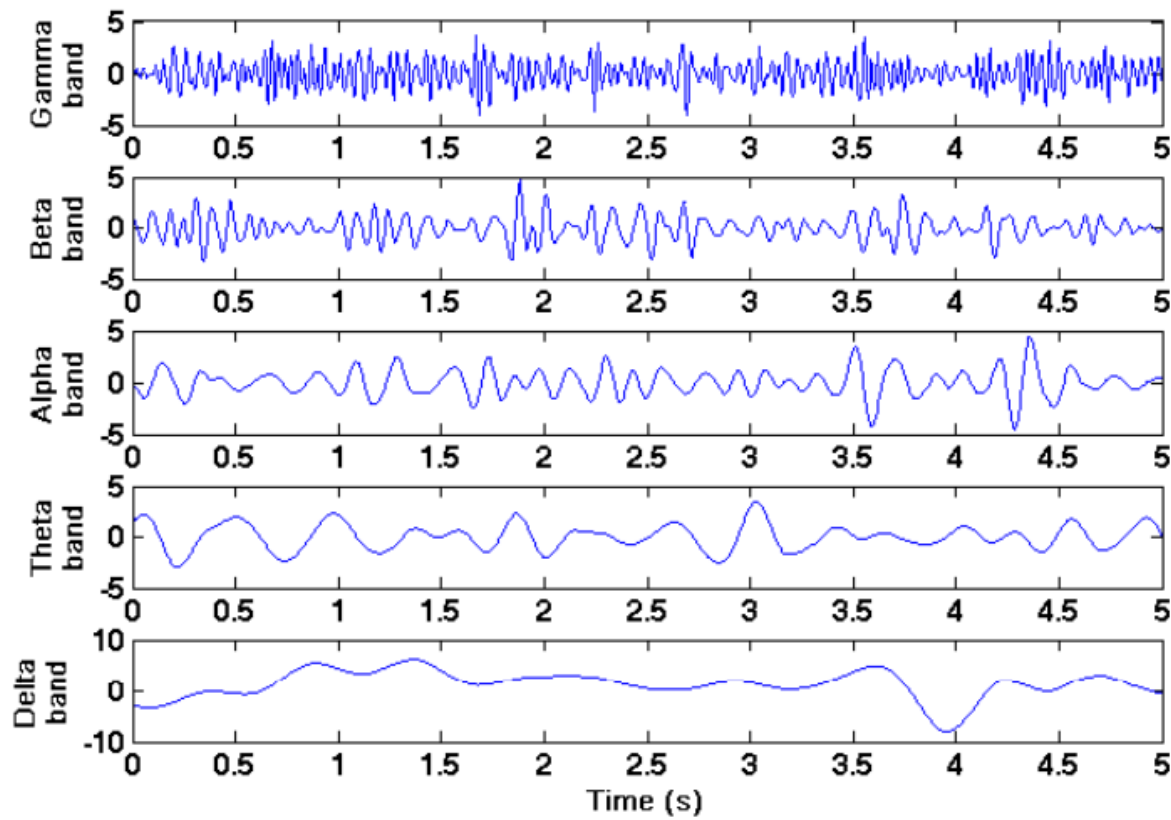
² Delta

³ Theta

⁴ Alpha

⁵ Beta

⁶ Gamma



شکل (۳-۱) پنج باند فرکانسی اصلی سیگنال EEG به نام‌های باند دلتا، تتا، آلفا، بتا و گاما

۲-۱- بیان مسئله

با این که سیگنال EEG دارای اطلاعاتی غنی از عملکرد مغزی است، اما تمام این اطلاعات در دامنه ثبت آن آشکار نیست. در بیماری شیزوفرنی نیز به دلیل عدم وجود یا بروز مشخصه زمانی خاص نیازمند بررسی دقیق‌تر است. در اولین گام، بررسی مؤلفه‌های طیفی شامل ویژگی‌های فرکانسی یا زمان-فرکانسی به نظر رسد. از جمله این ویژگی‌ها می‌توان به تبدیل فوریه، فوریه زمان-کوتاه، موجک و غیره اشاره نمود. از مشکلات مهمی که به چنین روش‌هایی وارد است، این است که چنین تبدیلات و ویژگی‌های حاصل شده از این تبدیلات، معین و خطی است. به‌ویژه در مورد سیگنال EEG که از سیگنالی غیر ایستان است، استفاده از چنین تبدیلات و ویژگی‌هایی چندان مناسب به نظر نمی‌رسد. از سویی سیگنال EEG دارای خواصی غیر خطی است. در نتیجه می‌توان انتظار داشت که ویژگی‌هایی که این غیر خطی بودن را در نظر می‌گیرند، بتوانند عملکرد مناسب‌تری در تشخیص فراهم کرده و اطلاعات مفیدتری را در اختیار قرار دهند. از جمله این ویژگی‌ها بعد فرآکتال است که معیاری برای سنجش میزان پیچیدگی سیگنال‌هاست؛ به‌ویژه برای

سیگنال غیر ایستان EEG که به دلیل ماهیت پیچیدگی مغز دارای پیچیدگی بسیاری است. از این‌رو، در این پروژه رویکرد تحلیل غیر خطی سیگنال EEG برای تشخیص بیماری شیزوفرنی مورد استفاده و بررسی قرار گرفته است. به بیان دیگر، هدف از انجام این پروژه معرفی شاخصی غیر خطی از الگوریتم‌های محاسبه بعد فرکتال است که می‌تواند با ایجاد تمایز و تفاوت معنادار میان سیگنال‌های سالم و غیر سالم (متعلق به افراد مبتلا به بیماری شیزوفرنی) به تشخیص بیماری شیزوفرنی بیانجامد؛ بنابراین، در این پایان‌نامه مقصود پاسخ به سؤال زیر است:

آیا بعد فرکتال استخراج شده از سیگنال EEG، شاخصه مناسبی برای تشخیص بیماری شیزوفرنی است؟

۱-۳- ساختار پایان‌نامه

در این پروژه، هدف تشخیص بیماری شیزوفرنی با استفاده از سیگنال‌های EEG است. به این منظور از ویژگی‌های غیرخطی محاسبه بعد فرکتال^۱ که معیارهایی برای سنجش و اندازه‌گیری میزان پیچیدگی سیگنال است، بهره گرفته شده است و پتانسیل این ویژگی‌ها در تشخیص بیماری شیزوفرنی در کانال‌های مختلف سیگنال‌های EEG و نیز به‌طور میانگین مورد آزمون و مقایسه قرار گرفته است.

در فصل دوم این پایان‌نامه به مروری بر کارهای گذشته پرداخته شده است. معرفی دادگان مورد بررسی، تعاریف مربوط به شاخص‌های بعد فرکتال و در نهایت آزمون آماری مورد استفاده و شرایط بهره‌گیری از آن در فصل سوم صورت گرفته است. فصل چهارم حاوی نتایج استفاده از دادگان، ویژگی‌ها و آزمون آماری معرفی شده در فصل سوم بوده و در نهایت در فصل پنجم، این نتایج مورد بحث و مقایسه قرار گرفته و پیشنهادهایی برای ادامه بررسی‌ها ارایه شده است.

¹ Fractal Dimension

فصل ۲:

مروری بر منابع

۱-۲ - مقدمه

سیگنال EEG تاکنون برای تشخیص بیماری‌های بسیاری مورد استفاده قرار گرفته است. علاوه بر این، در بسیاری از مطالعات شناختی نیز از سیگنال‌های مهم در کنار تصاویر پزشکی محسوب می‌شود که اطلاعات ارزشمندی را در بر دارد. در این بخش به مروزی برخی از مطالعات مهم بر روی سیگنال EEG پرداخته شده است. همچنین، تلاش شده است تا مطالعاتی که به‌منظور تشخیص بیماری شیزوفرنی از سیگنال EEG بهره گرفته‌اند تا حد امکان پوشش داده شود. شایان ذکر است که در این فصل، تنها مطالعات اخیر مورد بررسی قرار گفته است.

۲-۲ - مروزی بر ادبیات موضوع

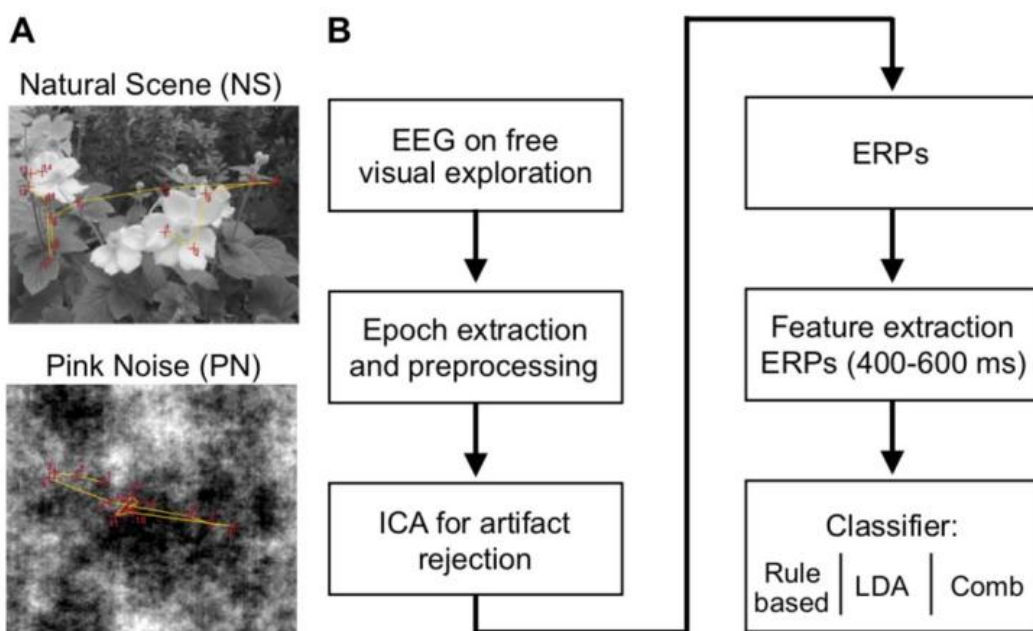
تشخیص بیماری شیزوفرنی با استفاده از سیگنال EEG سابقه‌ای طولانی دارد. در برخی از تحقیقات، تمرکز مطالعه بر روی پتانسیل‌های مرتبط با رویداد^۱ (به اختصار ERP) بوده است. به‌طور مثال، دیویا^۲ و همکاران تفاوت سیگنال EEG بین افراد سالم و مبتلا به بیماری شیزوفرنی را در طراحی یک آزمایش بصری ساده مورد مطالعه قرار دادند [۷]. در این مطالعه، سیگنال‌های ۱۱ فرد مبتلا به بیماری شیزوفرنی و ۹ فرد سالم مورد پردازش قرار گرفته است. برای ثبت سیگنال، سوزه‌ها به صفحه نمایشی خیره شده و تصاویر مختلفی به عنوان محرك به آن‌ها نشان داده شده است. در حین تماشای تصاویر سیگنال EEG و سیگنال مربوط به حرکات چشم‌مان افراد ثبت گشته است. این سیگنال‌های EEG از ۳۲ کانال یا محل قرارگیری الکترود ثبت گشته است. پیش از استخراج ویژگی، سیگنال‌های EEG مورد پیش‌پردازش قرار گرفته است. در این مرحله، ابتدا ۵۰۰ میلی‌ثانیه ابتدای سیگنال‌ها حذف گشته و سیگنال‌هایی از یک ثانیه پیش از اعمال محرك تا سه ثانیه و ۵۰۰ میلی‌ثانیه پس از اعمال محرك برای پردازش‌های بعدی مورد استفاده قرار گرفته است. سپس سیگنال‌ها با استفاده یک فیلتر میان‌گذر^۳ با پهنه‌ای باند ۱ تا ۴۰ هرتز فیلتر به صورت رفت و برگشتی فیلتر

¹ Event-related potentials

² Devia

³ Band-pass filter

شده است. برای حذف سایر آرتیفیکت‌ها^۱ نیز از روش تحلیل مؤلفه‌های مستقل بهره گرفته شده است. در گام بعد سیگنال‌های پیش‌پردازش شده برای استخراج ویژگی مورد استفاده قرار گرفته و پس از محاسبه ERP از تمام سیگنال‌ها میانگین ERP‌ها در پنجره‌های زمانی ۴۰۰ تا ۶۰۰ میلی‌ثانیه‌ای پس از اعمال محرک از چهار ناحیه مغزی (ERP‌های مربوط به چهار ناحیه خاص میانگین گرفته شده است) محاسبه گشته است. در نهایت برای تشخیص بیماری شیزوفرنی از آزمون آماری ویلکاکسان رتبه حاصل جمع^۲ بهره گرفته شده است. در کنار آزمون آماری، از رویکرد یادگیری ماشین^۳ نیز در این بررسی استفاده شده و عملکرد سه الگوریتم طبقه‌بندی تحلیل افتراقی خطی^۴ (باختصار LDA)، طبقه‌بندهای قاعده‌مند^۵ و ترکیب دو طبقه‌بند LDA مورد بررسی قرار گرفته است. بهترین نتیجه به دست آمده در این مطالعه صحت ۷۹٪ با استفاده از طبقه‌بند دو طبقه‌بند LDA و قاعده‌مند گزارش شده است. از سویی دیگر، نتیجه آزمون آماری نیز برای محرک‌های مختلف معنادار اعلام گشته است.



شکل (۱-۲) دو نمونه از محرک‌های بینایی مورد استفاده برای ثبت سیگنال و الگوریتم طراحی شده برای تشخیص بیماری شیزوفرنی توسط دیوبیا و همکاران [۷]

¹ Artifacts

² Wilcoxon rank sum test

³ Machine learning

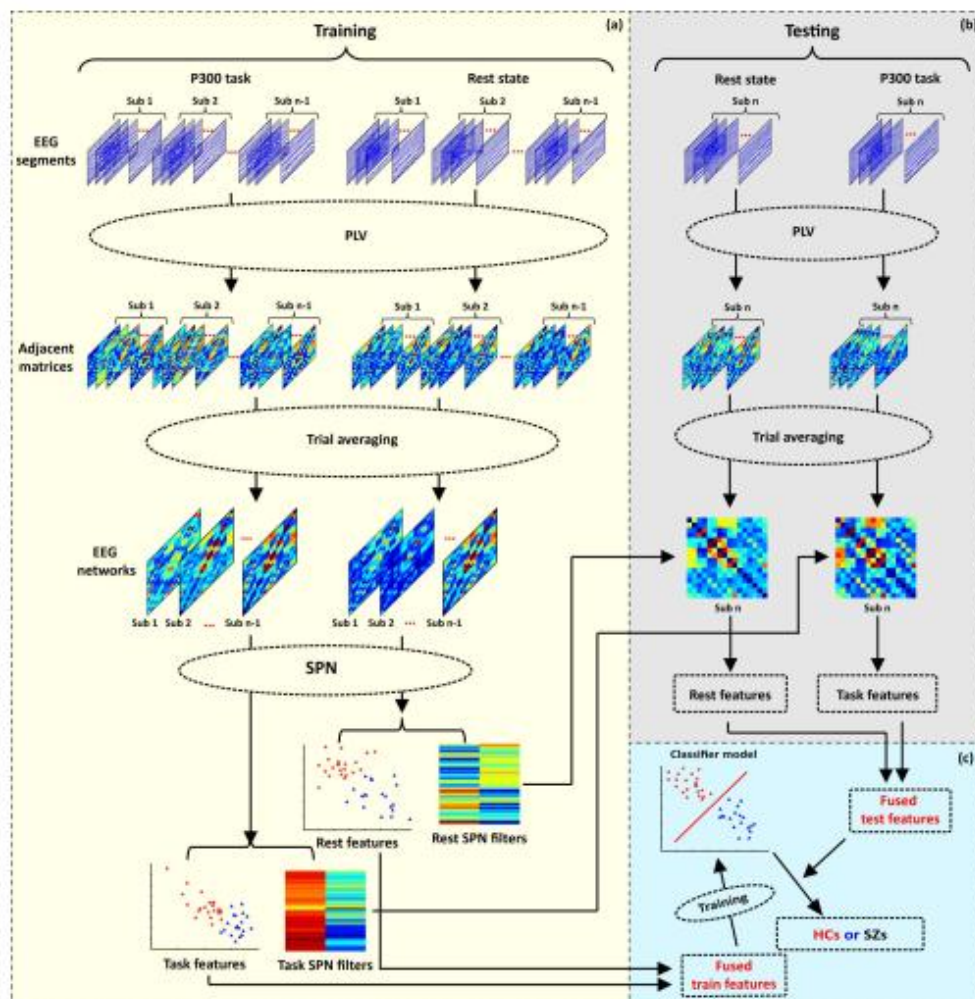
⁴ Linear Discriminant Analysis

⁵ Rule-based

در مطالعه‌ای دیگر، لی¹ و همکاران برای طبقه‌بندی افراد سالم و به مبتلا به بیماری شیزوفرنی از سیگنال‌های EEG با رویکردی متفاوت استفاده کردند [۸]. در این مطالعه، برای ثبت سیگنال آزمایشی تحت عنوان آزمایش P300 صورت گرفته است. در این آزمایش، در حالی که سوژه‌ها به مرکز صفحه نمایش خیره شده‌اند، به مدت ۷۵۰ میلی‌ثانیه یک نشانه (به شکل علامت جمع) در مرکز ظاهر شده و سپس سه نوع مختلف از حرکت‌ها شامل دایره‌ای با علامت جمع در مرکز آن (۲۰ بار)، مربعی با علامت جمع در مرکز آن (۸۰ بار) و یک مربع سفید (۱۰۰ بار)، به صورت تصادفی در مرکز صفحه نمایش به مدت ۱۵۰ میلی‌ثانیه پدیدار گشته است. در نهایت به مدت ۱۰۰۰ میلی‌ثانیه مجددًا نشانه ظاهر شده و این ۵ گام تحت عنوان مرحله استراحت نام‌گذاری شده است. در هر ثبت ۵ دقیقه سیگنال EEG فرد در حالت استراحت با چشممان بسته نیز ثبت گشته و سپس چهار بار آزمایش P300 تکرار شده است. میان هر تکرار ۴ دقیقه فاصله لحاظ شده است. مراحل اجرای این آزمایش در شکل زیر نمایش داده شده است. در این مطالعه ۴۸ سوژه شامل ۲۳ بیمار مبتلا به شیزوفرنی و ۲۵ فرد سالم مورد مطالعه قرار گرفته است. در مرحله پیش‌پردازش، این سیگنال‌ها، با استفاده از یک فیلتر میان‌گذر فیلتر گشته و ۲۰۰ میلی‌ثانیه پیش از اعمال تحریک و ۸۰۰ میلی‌ثانیه پس از آن تقطیع گشته است. همچنین، پس از اصلاح خط مبنای سیگنال‌ها، با آستانه‌گذاری $100 \pm$ میکرو ولت، آرتیفیکت‌های سیگنال‌ها حذف گشته است. سیگنال‌های ثبت‌شده در حالت استراحت نیز در این ۵ گام با استفاده از فیلتر میان‌گذر فیلتر گشته و سپس ۱۰ ثانیه پایانی در نظر گرفته نشده است. سپس سیگنال‌ها به قطعات یک ثانیه‌ای تقطیع گشته و قطعات با دامنه بالای $100 \pm$ حذف گشته‌اند. این سیگنال‌های پیش‌پردازش شده برای هر فرد میانگین گرفته شده و ERP (P300) در چهار کanal مغزی در پنجره زمانی ۳۰۰ تا ۵۰۰ میلی‌ثانیه‌ای با در نظر گرفته شدن بزرگ‌ترین در این پنجره زمانی، تعیین گشته است. در نهایت این ویژگی با استفاده از آزمون آماری تی² مورد ارزیابی قرار گرفته است تا مشخص شود آیا EEG سیگنال افراد سالم و مبتلا به بیماری شیزوفرنی از نظر آماری معنادار است یا خیر. علاوه بر این امر، با استفاده از محاسبه مقدار قفل‌شدگی فاز (به اختصار PLV) هم‌آوایی فاز میان هر دو جفت الکترود برآورد شده است. مقادیر بالاتر PLV نشان‌دهنده هم‌آوایی فاز بیشتر میان دو ناحیه مغزی است که الکترودها فعالیت الکتریکی آن‌ها ثبت کرده‌اند. بر اساس این روش، ماتریس اتصالات شبکه برای افراد سالم و مبتلا به شیزوفرنی در حالت استراحت و نیز انجام آزمایش به دست آمده است. در نهایت، ویژگی‌های شبکه

¹ Li² T-test

مانند ضریب خوشبندی^۱، طول مسیر مشخصه^۲، راندمان سراسری و محلی^۳ به عنوان ویژگی در نظر گرفته شده است. علاوه بر این ویژگی‌ها، ویژگی الگوهای فضایی شبکه^۴ (به اختصار SPNs) نیز در نظر گرفته شده است. سپس با استفاده از ویژگی‌های به دست آمده و نیز طبقه‌بندی‌های LDA و ماشین بردار پشتیبان^۵ (به اختصار SVM) به تشخیص بیماری شیزوفرنی در سه حالت آزمایش، استراحت و نیز ترکیب آن‌ها پرداخته شده است. بالاترین دقیقیت در دست‌آمده در این پژوهش ۸۸٪ در حالت استراحت و آزمایش و ۹۰٪ در حالت ترکیب حالات، با طبقه‌بند SVM گزارش شده است.



شکل (۲-۲) الگوریتم ارایه شده توسط لی و همکاران جهت تشخیص بیماری شیزوفرنی [۸]

^۱ Clustering coefficient

^۲ Characteristic path length

^۳ Global and local efficiency

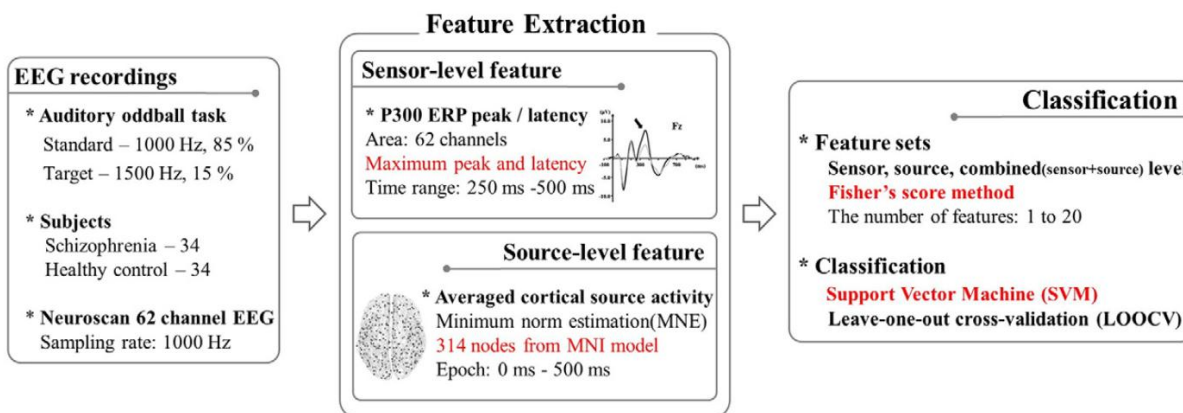
^۴ Spatial pattern of network

^۵ Support vector machine

علاوه بر اعمال تحریک بینایی، مطالعاتی با استفاده از تحریک‌های شنوایی نیز صورت گرفته است. به‌طور مثال، Shim¹ و همکاران برای تشخیص بیماری شیزووفرنی با استفاده از سیگنال EEG از تحریک شنوایی در هنگام ثبت استفاده کردند [۹]. در این بررسی، ۳۴ فرد سالم و ۳۴ فرد مبتلا به شیزووفرنی ثبت از ۶۲ کانال یا الکترود صورت گرفته است. در هنگام ثبت از دو تحریک شنوایی استاندارد (با فرکانس ۱۵۰۰ هرتز) و هدف (با فرکانس ۱۰۰۰ هرتز) در طول ۱۰ میلی‌ثانیه استفاده شده است. در این ثبت ۱۵٪ تحریک‌ها از نوع هدف و ۸۵٪ آن تحریک استاندارد بوده است. پس از ثبت، ابتدا آرتیفیکت‌های ناشی از پلک زدن سوزه‌ها حذف شده و با یک فیلتر میان‌گذر با پهنه‌ای باند ۱ تا ۳۰ هرتز فیلتر گشته است. در ادامه ۱۰۰ میلی‌ثانیه پیش و ۳۰۰ میلی‌ثانیه پس از اعمال تحریک تقطیع و برای استخراج ویژگی مورد استفاده قرار گرفته است. همچنین، از در نظرگیری سیگنال‌های با پیک‌های بیش از ۷۵ میکرو ولت صرف نظر گشته است. در ادامه سیگنال‌های ثبت شده از سوزه‌ها در آزمایش‌های مکرر برای هر سوزه میانگین گرفته شده و دامنه P300 و تأخیر ERP‌ها در پنجره زمانی ۲۵۰ تا ۵۰۰ میلی‌ثانیه پس از اعمال تحریک محاسبه گشته است. با محاسبه این دو ویژگی برای هر کانال در نهایت ۱۲۴ ویژگی استخراج گشته است. این ویژگی‌ها ویژگی‌های سطح حسگر^۲ نامیده شده است. اما علاوه بر این دسته از ویژگی‌ها دسته دیگری از ویژگی‌ها تحت عنوان ویژگی‌ها در سطح منبع^۳ نیز در این بررسی محاسبه گشته است. برای استخراج این دسته از ویژگی‌ها، سیگنال‌های خام توسط یک فیلتر میان‌گذر با پهنه‌ای باند ۱ تا ۵۵ هرتز فیلتر گشته و با استفاده از برآورد کمینه هنجار^۴ (به اختصار MNE) و روش عنصر مرزی^۵ (به اختصار BEM) منابع قشری EEG تخمین زده شده ماتریس میدان لید^۶ محاسبه گشته و سپس مقادیر چگالی جریان قشری در تمامی زمان‌ها در طول سیگنال‌ها محاسبه گشته است. بر اساس این روش ۳۱۴ ویژگی در سطح منبع برای گام بعد استخراج گشته است. در بخش طبقه‌بندی، یک بار ویژگی‌های در سطح حسگر، بار دیگر ویژگی‌های در سطح منبع و در نهایت ترکیب این ویژگی‌های مورد استفاده قرار گرفته است. در این مرحله ابتدا با استفاده روش انتخاب ویژگی فیشر^۷ ویژگی‌های برتر انتخاب گشته و با طبقه‌بند SVM به روش اعتبارسنجی یک‌طرفه^۸ با استفاده

¹ Shim² Sensor-level³ Source-level⁴ Minimum norm estimation⁵ Boundary element method⁶ Lead field matrix⁷ Fisher

از طبقه‌بندی SVM، سیگنال‌های EEG طبقه‌بندی گشته‌اند. نتایج اعلام‌شده نشان از آن دارد که ویژگی‌های در سطح منبع (۰.۸۵/۲۹٪) عملکرد یا صحت بهتری از ویژگی‌های در سطح حسگر (۰.۸۰/۸۸٪) داشته و به‌طور کلی ترکیب ویژگی‌ها به بهترین نتیجه (۰.۸۸/۲۴٪) انجامیده است.



شکل (۳-۲) الگوریتم ارایه‌شده توسط شیم و همکاران جهت تشخیص بیماری شیزوفرنی [۹]

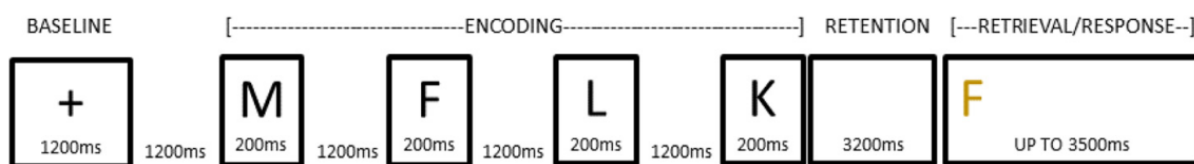
یوهانسن^۲ و همکاران رویکرد دیگری را برای تشخیص شیزوفرنی مورد مطالعه قرار دادند [۱۰]. در مطالعه انجام‌شده توسط این گروه، ۴۰ فرد مبتلا به شیزوفرنی و ۱۲ فرد سالم برای ثبت سیگنال در نظر گرفته شدند. برای ثبت سیگنال، این افراد روبه‌رو یک صفحه نمایش نشسته و سیگنال EEG آن‌ها از ۶۴ کانال در حالی که آن‌ها آزمایش استرنبرگ^۳ را انجام می‌دادند، در مدت ۳۰ دقیقه با فرکانس نمونه‌برداری ۱۰۲۴ هرتز ثبت گشته است. آزمایش استرنبرگ برای سنجش حافظه کاری یا کوتاه‌مدت طراحی شده است. در این آزمایش، مجموعه‌ای ۴ تا ۸ حرفی (محرك) که به‌طور تصادفی از بین ۱۲ حرف انتخاب می‌گردد، بر روی صفحه نمایش به مدت ۱۲۰۰ میلی‌ثانیه نمایش داده می‌شود. پس از ۳۲۰۰ میلی‌ثانیه بعد از ناپدید شدن محرك حرفی روی صفحه نمایش نشان داده می‌شود و کاربر باید انتخاب کند که آیا این حرف در میان حروف نمایش داده شده در محرك وجود داشته است یا خیر. بعد از ۲۰۰۰ میلی‌ثانیه با استفاده از یک محرك شنیداری درست یا نادرست بودن پاسخ به کاربر اطلاع داده می‌شود و پس از ۱۰۰۰ به مدت ۱۰۰۰ میلی‌ثانیه یک صفحه نمایش سیاه به همراه یک نشانه به شکل علامت جمع نمایش داده می‌شود. برای هر کاربر این مرحله ۹۰ بار تکرار گرفته و ۹۰ ثبت سیگنال نیز صورت گرفته است. در مرحله پیش‌پردازش،

¹ Leave-one-out cross-validation

² Johannessen

³ Sternberg

سیگنال‌ها با استفاده از یک فیلتر میان‌گذر با پهنه‌ای باید ۱ تا ۷۰ هرتز و یک فیلتر ناچ^۱ در فرکانس ۶۰ هرتز فیلتر گشته‌اند. سپس این سیگنال‌های فیلترشده به چهار بخش مربوط به چهار مرحله ثبت سیگنال تقطیع گشته است. قطعات بیشینه دامنه بیش از ۷۵ میکرو ولت نیز در نظر گرفته نشده است. در ادامه با استفاده از تبدیل موجک با موجک مورتلت^۲، مؤلفه‌های زمان-فرکانس سیگنال‌ها در ۲۰ گام فرکانسی تز ۴ تا ۵۰ هرتز محاسبه گشته است. در نهایت با تمرکز بر اغتشاشات طیفی مرتبط با رویداد^۳ ویژگی‌های فرکانسی استخراج گشته است و مجدور این ویژگی‌ها در پنج باند فرکانسی در نظر گرفته شده است. در نهایت با استفاده از طبقه‌بند SVM و با صحت ۸۷٪ سیگنال افراد مبتلا به شیزوفرنی طبقه‌بندی گشته است.



شکل (۴-۲) مراحل ثبت سیگنال در مطالعه یوهانسن و همکاران [۱۰]

تا کنون مطالعاتی مورد بررسی قرار گرفت که تمرکز آن‌ها بر روی اعمال تحریک در ثبت سیگنال و تمرکز بر رویدادها یا ERP‌ها در سیگنال EEG بود. اما مطالعات دیگری نیز بر تفاوت‌های سیگنال EEG افراد سالم و دارای اختلال شیزوفرنی در حالت استراحت و بدون اعمال تحریک یا ملاحظاتی در هنگام ثبت تمرکز داشته‌اند. از جمله این مطالعات می‌توان به مطالعه انجام‌شده توسط ثابتی^۴ و بوستانی^۵ اشاره نمود [۱۱]. در این مطالعه سیگنال EEG مربوط به ۴۰ سوزه شامل ۲۰ فرد سالم و ۲۰ بیمار شیزوفرنی که در مدت دو دقیقه، فرکانس نمونه‌برداری ۲۰۰ هرتز و با استفاده از ۲۰ الکترود (کانال) به ثبت رسیده است، مورد آزمون قرار گرفته است. پس از ثبت سیگنال، آرتیفکت‌های مرتبط با پلک زدن و حرکت عضلات حذف گشته و سیگنال‌ها با استفاده از فیلتر میان‌گذر با ترورث^۶ از درجه پنج با پهنه‌ای باند ۵/۰ تا ۵۰ هرتز فیلتر گشته است. در ادامه انرژی سیگنال‌ها در پنج طیف فرکانس سیگنال‌ها محاسبه شده و با استفاده از سه

¹ Notch

² Mortlet

³ Event-related spectral perturbations

⁴ Sabeti

⁵ Boostani

⁶ Butterworth

الگوریتم ژنتیک^۱، بهینه‌سازی ازدحام ذرات^۲ و بهینه‌سازی کلونی مورچه^۳ برای انتخاب مؤثرترین باند فرکانسی که تمایز بین سیگنال‌های سالم و بیمار را آشکار می‌کند، استفاده گشته است. در نهایت ویژگی‌ها با استفاده از طبقه‌بند LDA طبقه‌بندی گشته و بهترین نتیجه ۷۴/۸۳٪ با استفاده از ویژگی‌های به دست آمده از الگوریتم بهینه‌سازی ذرات گزارش شده است.

برای تشخیص بیماری شیزوفرنی همراه ثبت سیگنال برای انجام پژوهش صورت نگرفته و برخی از مطالعات بر روی پایگاه داده‌ای آماده صورت گرفته است. به طور مثال، پایگاه داده "EEG" نوجوانان سالم و نوجوانان با علائم اسکیزوفرنی^۴ [۱۲] شامل ۳۹ سیگنال از افراد سالم و ۴۵ سیگنال افراد مبتلا به بیماری شیزوفرنی بوده که در ۱۶ کanal و فرکانس نمونه‌برداری ۱۲۸ هرتز به ثبت رسیده است و در مطالعات گوناگونی مورد بررسی قرار گرفته است. به طور مثال، پیریاتینسکا^۵ و همکاران با استفاده از پایگاه داده بیان شده به تشخیص بیماری شیزوفرنی پرداختند [۱۳]. در این بررسی، سیگنال‌ها به طور مستقیم برای استخراج ویژگی مورد استفاده قرار گرفتند. ویژگی استخراج شده در این بررسی، شاخصی از پیچیدگی سیگنال بوده و ضرایب پیچیدگی^۶ نام دارد. ای ویژگی‌ها با استفاده از طبقه‌بندی جنگل تصادفی^۷ و SVM دسته‌بندی شده‌اند. بالاترین دقت گزارش شده در این بررسی ۳/۸۹٪ با طبقه‌بند SVM بوده است.

از دیگر بررسی‌های انجام شده بر روی پایگاه داده به منظور تشخیص بیماری شیزوفرنی، مطالعه انجام شده توسط نمازی بوده است [۱۴]. در این بررسی، دادگان بدون انجام هیچ مرحله پیش‌پردازشی برای استخراج ویژگی مورد استفاده قرار گرفته است. در این بررسی، میزان اطلاعات سیگنال‌های سالم و بیمار (دارای نشانه‌های شیزوفرنی) مورد مطالعه قرار گرفته است. بدین منظور، آنتروپی شanon^۸ سیگنال‌ها در ۱۶ کanal محاسبه گشته و سپس با استفاده از آزمون آماری تی، معناداری این ویژگی در کanal‌های مختلف مورد بررسی قرار گرفته است. در نتیجه این بررسی اعلام شده است که اطلاعات شanon تنها در سه کanal ثبت EEG به طور معناداری در افراد سالم بالاتر است ($p < 0.05$). برای بررسی بیشتر، انرژی شanon در تمام ۱۶ کanal برای هر فرد میانگین گرفته شده و مورد آزمون قرار گرفته است. نتیجه این بررسی نشان داد که

¹ Genetic algorithm

² Particle swarm optimisation

³ Ant colony optimisation

⁴ EEG of healthy adolescents and adolescents with symptoms of schizophrenia

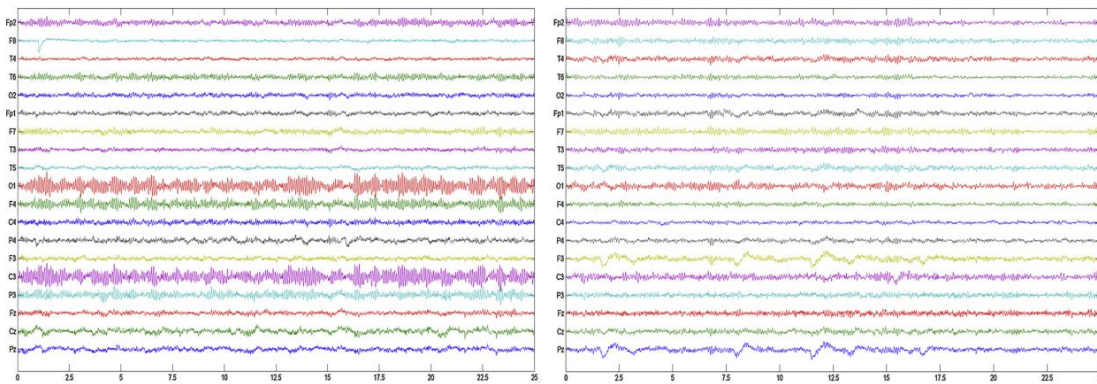
⁵ Piryatinska

⁶ c-complexity

⁷ Random forest

⁸ Shannon entropy

به طور متوسط بیماری شیزوفرنی سبب کاهش اطلاعات سیگنال EEG می‌گردد. علاوه بر پایگاه داده فوق، گوشوارپور و گوشوارپور در مطالعه دیگری بر روی پایگاه داده‌ای آماده از سیگنال‌های EEG، به تشخیص بیماری شیزوفرنی پرداختند. این پایگاه داده تحت عنوان "EEG در شیزوفرنی^۱" [۱۵] دارای ۲۸ سیگنال EE کanalی از ۱۴ فرد سالم و ۱۴ فرد مبتلا به بیماری شیزوفرنی بوده و با فرکانس نمونه‌برداری ۲۵۰ هرتز جمع‌آوری گشته است. در این بررسی سه ویژگی غیر خطی شامل پیچیدگی، بعد هیگوچی^۲ و نماهای لیاپانوف^۳ از سیگنال‌ها استخراج گشته و سپس به پنج روش مختلف این سه ویژگی ادغام گشته برای طبقه‌بندی مورد استفاده قرار گرفته است. برای طبقه‌بندی دادگان از طبقه‌بندی شبکه عصبی احتمالی^۴ استفاده گشته و بالاترین صحت به‌دست‌آمده در این بررسی ۱۰۰٪ گزارش شده است.



شکل (۲-۵) نمونه‌ای سیگنال EEG ۱۹ کanalی از پایگاه داده [۱۶] از یک فرد سالم (چپ) و بیمار (راست)

جامانا^۵ و همکاران نیز برای تشخیص بیماری شیزوفرنی ۱۴ سیگنال از افراد سالم و ۱۴ سیگنال از افراد مبتلا به بیماری شیزوفرنی از پایگاه داده [۱۵] استفاده کردند [۱۶]. در این مطالعه، ابتدا سیگنال‌ها هنجارشده با استفاده از فیلتر باترورث درجه دوم فیلتر شده و سپس به قطعات ۲۵ ثانیه‌ای تقطیع گشته است. ۵۱۶ قطعه از سیگنال‌های سالم و ۶۲۶ قطعه از سیگنال‌های ناسالم برای استخراج ویژگی مورد استفاده قرار گرفته است. در بخش استخراج ویژگی ۱۵۷ نوع مختلفی از روش‌های محاسبه

^۱ EEG in schizophrenia

^۲ Higuchi Dimension

^۳ Lyapunov exponents

^۴ Probabilistic neural network

^۵ Jahmunah

آنتروپی و پیچیدگی استخراج گشته است. در نهایت این ویژگی‌ها به عنوان ورودی طبقه‌بندی‌های مختلفی از SVM در خت تصمیم^۱ (با اختصار DT)، LDA، k-NN تا نزدیک‌ترین همسایه^۲ (با اختصار KNN)، PNN و SVM در نظر گرفته شده است. بهترین نتیجه به دست آمده در این پژوهش ۹۲/۹۱٪ با طبقه‌بند SVM گزارش شده است.

مطالعات انجام‌شده تا کنون بر روی تشخیص بیماری شیزوفرنی در دو گروه سالم و بیمار تمرکز داشتند. در جدول زیر سایر کارهای انجام‌شده بر روی سیگنال EEG به منظور تشخیص بیماری شیزوفرنی قابل مشاهده است.

جدول (۱-۲) مروری بر کارهای انجام‌شده بر روی سیگنال EEG برای تشخیص بیماری شیزوفرنی در سال‌های اخیر

نوبسندگان	دادگان	نوع ثبت	فرکانس کانال	تعداد کانال	ویژگی	طبقه‌بند	صحت
۵۷ فرد با علائم بوуз ^۳ و همکاران [۱۷] و ۲۴ فرد	استراحت	شیزوفرنی	۲۵۶	۲۳	تحلیل اندازه توان ^۴	SVM	۸۳٪/۳۳
۳۰ فرد با علائم جونگ ^۵ و همکاران [۱۸] و ۱۵ فرد	آزمایش	شیزوفرنی	۱۰۲۴	۱۴	روش زیرنمونه‌گیری متوسط ^۶	LDA	٪۹۸ بیش از
۱۰ فرد با علائم چو ^۷ و	آزمایش	علائم	۲۵۶	۳۱	آنتروپی تقریبی ^۸	SVM	۸۱٪/۵

¹ Decision tree

² K-Nearest-Neighbour

³ Bose

⁴ Absolute power analysis

⁵ Jeong

⁶ Mean subsampling technique

⁷ Chu

⁸ Approximate entropy

¹ Alimardani

² Davies–Bouldin fast feature reduction

3 Neural Network

Fuzzy Neural Network

⁵ Steady-state signal-to-noise ratio to noise ratio.

Steady
6

Phang
7

⁸ Vector-autoregression-based directed

معیارهای اتصالات								
۹۱٪/۶۹	شبکه عصبی کانولوشنال ^۶	-	جهت‌دار ^۳ شامل خودرگرسیون برداری ^۴ و	۱۶	۱۲۸	استراحت	علائم شیزوفرنی	فرد با فانگ ^۲ و همکاران [۲۳] و ۱۷ فرد
۹۸٪/۰۷	شبکه عصبی کانولوشنال	-	انسجام جهت‌دار	۱۹	۲۵۰	استراحت	علائم شیزوفرنی	اووه ^۵ و همکاران [۲۴] و ۱۴ فرد
۹۹٪/۲۲	شبکه عصبی کانولوشنال	-	آنتروپی فازی ^۹	۶۰	۵۰۰	استراحت	علائم شیزوفرنی	سان ^۸ و همکاران [۲۵] و ۵۵ فرد
سالم								

۳-۲- جمع‌بندی

با توجه به بررسی انجام شده بر روی پیشینه تحقیق، می‌توان دریافت که تشخیص بیماری شیزوفرنی که یک اختلال روانی حاد است بسیار حائز اهمیت است. تمرکز بیشتر منابع بر روی رویکردهای یادگیری ماشین از

^۱ Deep neural network

^۲ Phang

^۳ Directed connectivity measures

^۴ Vector autoregression

^۵ Partial directed coherence

^۶ Convolutional neural network

^۷ Oh

^۸ Sun

^۹ Fuzzy entropy

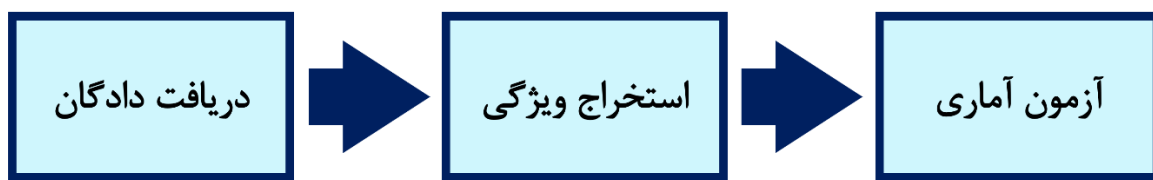
جمله شبکه‌های عصبی و یادگیرنده‌های رایج از جمله SVM است. گرچه در برخی از بررسی‌ها ویژگی غیرخطی بودن سیگنال EEG مدنظر قرار گرفته بود، اما بررسی پتانسیل بعد فراکتال سیگنال برای تشخیص بیماری شیزوفرنی به‌طور جامع صورت نگرفته است. این درحالی است که این ویژگی‌ها از قوی‌ترین ابزارهای غیرخطی در پردازش سیگنال بشمار می‌روند. از این‌رو در این پژوهش، به بررسی این ویژگی‌های فراکتال و قابلیت آن‌ها در ایجاد تمایز میان دو گروه افراد سالم و مبتلا به شیزوفرنی پرداخته شده است.

فصل ۳:

مواد و روش‌ها

۱-۳ - مقدمه

در پردازش سیگنال‌های زیستی، اولین و مهم‌ترین گام دریافت یا کسب دادگانی معتبر است. تعداد دادگان و ملاحظات ثبت در رویه‌ی پردازش و تحلیل سیگنال‌ها می‌توان نقش بسزایی را ایفا کند. پس از دریافت دادگان، گام دوم آماده‌سازی دادگان برای استخراج ویژگی‌های مطلوب است. در ادامه، استخراج ویژگی‌های مناسب که بتواند میان گروه‌های مورد بررسی تمایز کافی را ایجاد نماید بسیار حائز اهمیت است. در نهایت استفاده از آزمون‌های آماری جهت معرفی شاخصی برای تشخیص یکی از رویه‌های مهمی است که می‌تواند مورد استفاده قرار گیرد. در این بخش تلاش شده است تا این فرآیند تشریح گردد. بلوک دیاگرام کلی بررسی شده در این پژوهش در شکل زیر نمایش داده شده است.



شکل (۱-۳) بلوک دیاگرام کلی پژوهش، شامل سه مرحله اصلی تحقیق

شکل فوق سه مرحله اصلی پژوهش شامل دریافت دادگان، استخراج ویژگی و آزمون آماری را نشان می‌دهد.

۲-۳ - دریافت دادگان

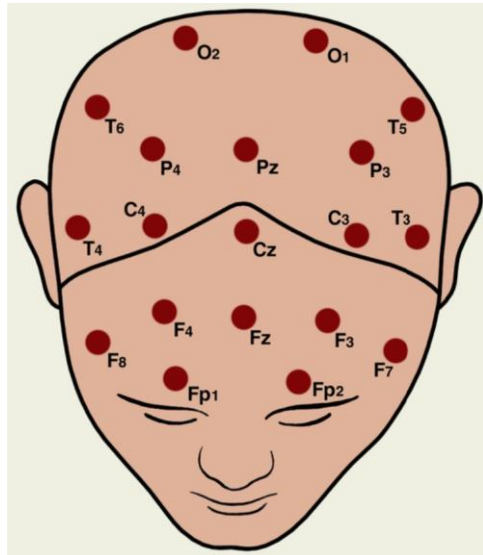
دادگان مورد بررسی در این پژوهش شامل ۸۴ سیگنال EEG ثبت شده از ۸۴ فرد بالغ که از میان ۴۵ مورد مبتلا به بیماری شیزوفرنی تشخیص داده شده و ۳۹ فرد دیگر سالم می‌باشند. این دادگان توسط گورباچفسکایا^۱ و بوریسوف^۲ در دانشگاه لومونوسوف^۳ مسکو در سال ۲۰۰۵ میلادی ثبت و جمع‌آوری گشته

¹ Gorbachevskaya

² Borisov

³ Lomonosov

است [۱۲]. سیگنال‌های EEG مورد بررسی از ۱۶ کanal یا ناحیه قرارگیری الکتروودها یا به‌طور دقیق، از نواحی O2، O1، T6، T5، T4، C4، C3، T3، F8، F4، F3، F7 و درک بهتر، شکل زیر نواحی قرارگیری الکتروودهای ثبت سیگنال EEG را نمایش می‌دهد.



شکل (۲-۳) محل قرارگیری الکتروودها به‌منظور ثبت سیگنال EEG از ۴۵ فرد مبتلا به بیماری شیزوفرنی و ۳۹ فرد سالم [۱۲]

تمامی سیگنال‌ها دارای فرکانس نمونه‌برداری ۱۲۸ هرتز بوده و در مدت یک دقیقه (۶۰ ثانیه) به‌ثبت رسیده است. سیگنال‌های فوق از پایگاه داده "EEG Records Databases" به نشانی زیر قابل دریافت است:

http://brain.bio.msu.ru/eeg_schizophrenia.htm

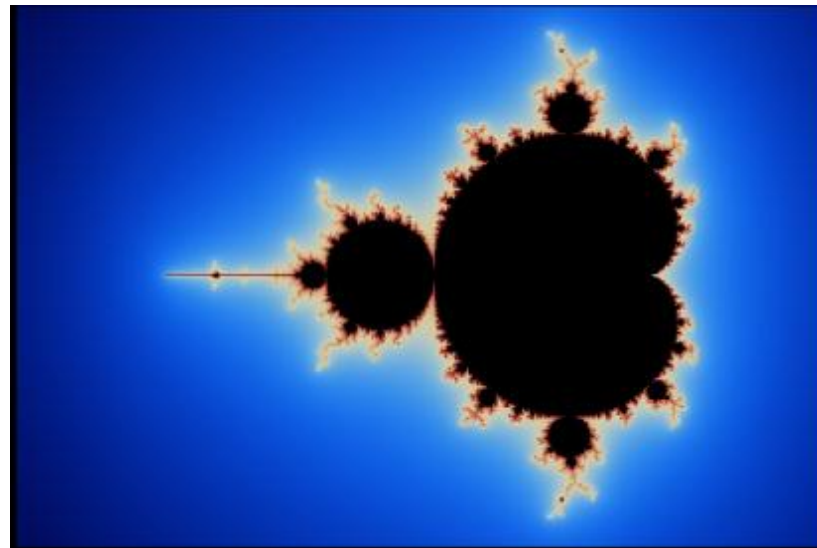
۳-۳- استخراج ویژگی

استخراج ویژگی از گام‌های مهم در الگوریتم‌های پردازش سیگنال است و به فرآیندی اطلاق می‌شود که اطلاعات نهفته در داده در فضای دیگری به صورت کمی توصیف می‌شود. به‌طور مثال، در این پروژه، از ویژگی‌های فرآکتال به‌منظور کمی‌سازی میزان پیچیدگی^۱ سیگنال‌های EEG بهره گرفته شده است. فرآکتال به ساختارهای خودمتشابه^۲، نامتناهی و دارای بعد غیر صحیح اطلاق می‌شود که در طبیعت نیز به فراوانی یافت می‌شود [۲۶]. منظور از ساختارهای خودمتشابه ساختارهایی است که هر بخش از آن ساختاری

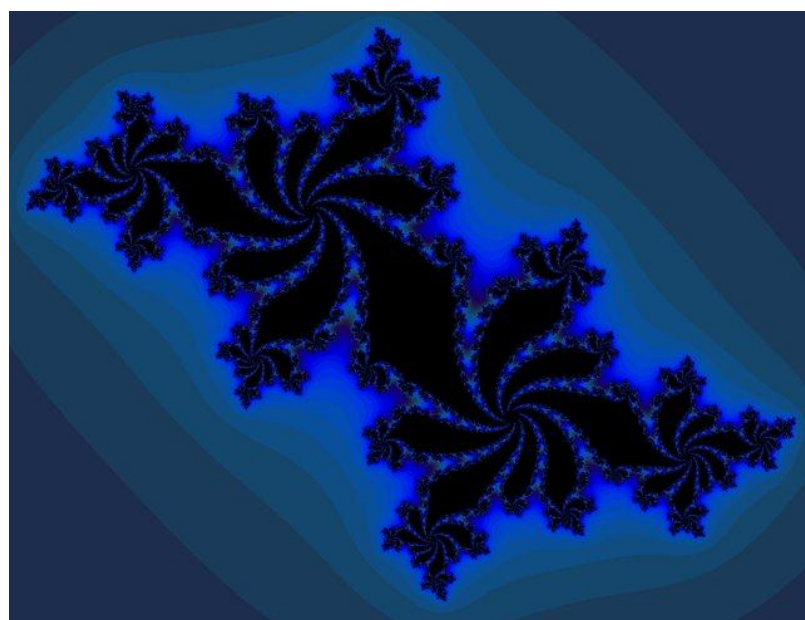
¹ Complexity

² Self-similar

شبیه به ساختار کل داشته و به صورت نامتناهی بخش‌هایی کوچک‌تر با ساختاری مشابه در آن یافت می‌شود. از مشهورترین ساختارهای فرکتالی در ریاضیات می‌توان به مجموعه‌های مندلبرو^۱، ژولیا^۲ و مثلث سرپینسکی^۳ اشاره نمود.



شکل (۳-۳) مجموعه مندلبرو از ساختارهای فرکتالی مشهور در ریاضیات [۲۷]

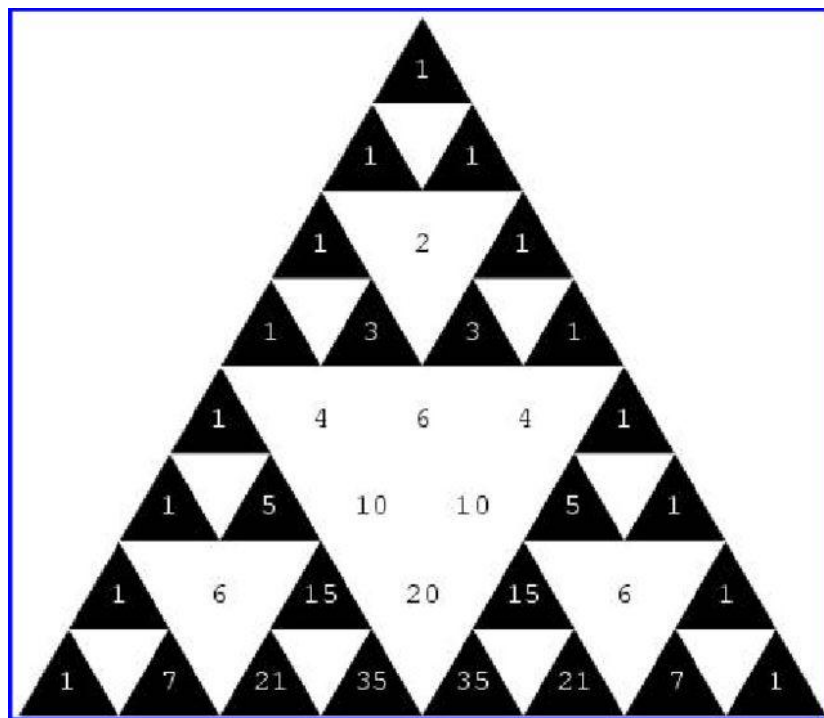


شکل (۴-۳) مجموعه ژولیا از ساختارهای فرکتالی مشهور در ریاضیات [۲۸]

¹ Mandelbrot set

² Julia sets

³ Sierpinski triangle



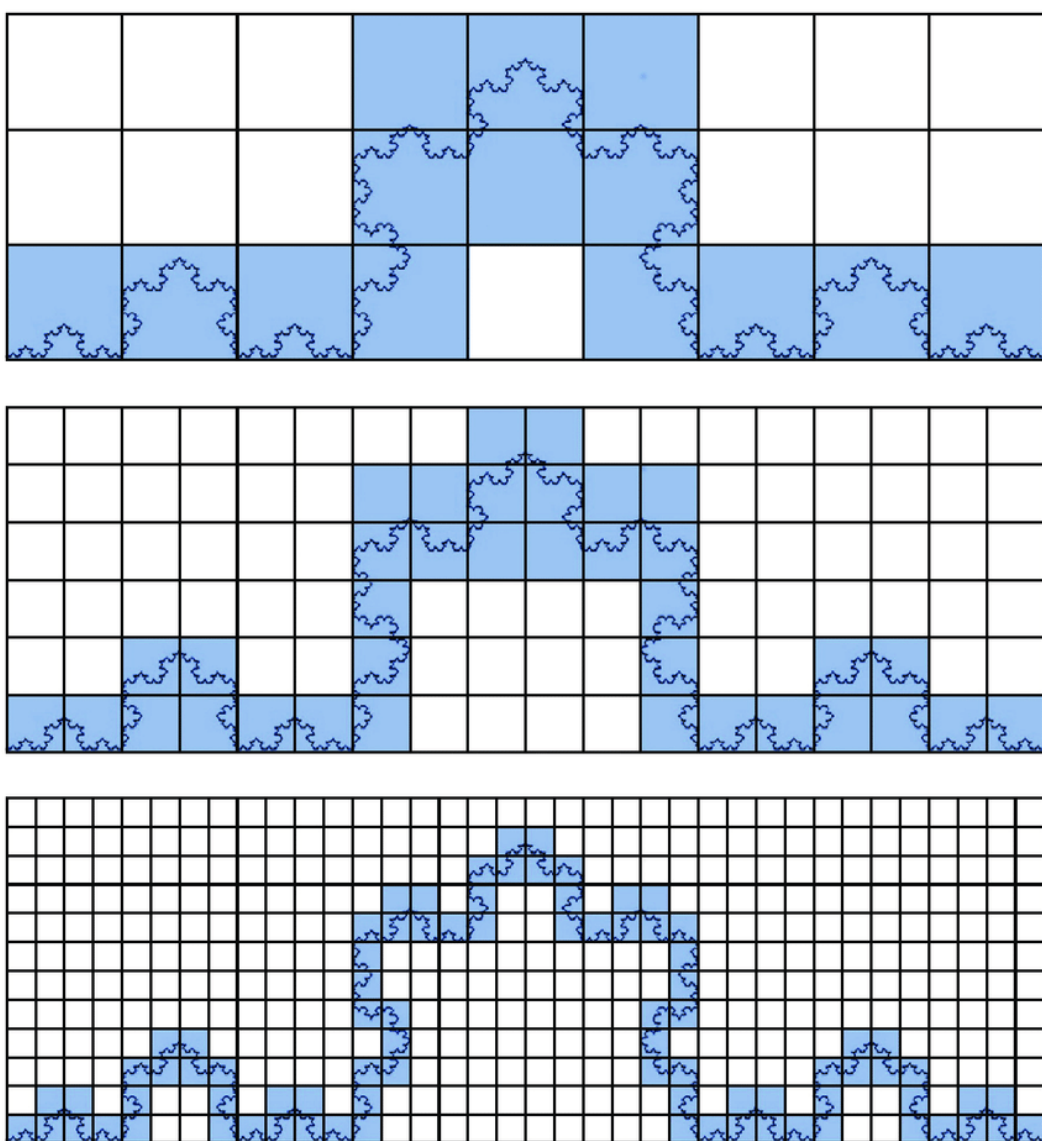
شکل (۵-۳) مثلث سرپینسکی از ساختارهای فرکتالی مشهور در ریاضیات [۲۹]

علاوه بر ریاضیات، نمونه‌هایی از ساختارهای فرکتال در طبیعت نیز به‌وفور یافت می‌شود. به‌طور مثال شکل زیر دو نمونه از ساختار فرکتالی طبیعی در طبیعت را به تصویر می‌کشد که به‌وضوح ساختارهایی خودمتشابه را در بر دارد.



شکل (۶-۳) نمونه‌هایی از ساختارهای فرکتال در طبیعت [۳۰]

بعد فرکتال از جمله معیارهای پیچیدگی داده بوده در دسته ویژگی‌های غیرخطی است که در پردازش سیگنال به منظور طبقه‌بندی یا تشخیص یک پدیده از جمله بروز یک بیماری بسیار مورد استفاده قرار گرفته است [۳۱]. روش‌های مختلفی برای محاسبه بعد فرکتال ارایه شده است که اصلی‌ترین روش آن روش شماره جعبه‌ای است. این روش به‌طور کلی بر اساس تعداد الگوها یا جعبه‌هایی است که گراف یا داده را در بر می‌گیرد. به دلیل زمان بر بودن و حجم محاسباتی بالا برای محاسبه بعد فرکتال به روش شماری جعبه‌ای، الگوریتم‌هایی ارایه گشته است که البته دارای تفاوت‌هایی می‌باشند [۳۲]. در این پژوهه از هفت روش یا الگوریتم برای دستیابی به ویژگی فرکتالی سیگنال‌های EEG بهره گرفته شده است که در ادامه به معرفی و توصیف هر یک پرداخته شده است.



شکل (۷-۳) روش شمارش جعبه‌ای، اصلی‌ترین روش محاسبه بعد فراکتال [۳۳]

۱-۳-۳-۱- بعد هیگوچی^۱

بعد هیگوچی یا بعد فراکتالی هیگوچی (به اختصار HFD) از روش‌های سریع و دقیق محاسبه بعد فراکتال بوده و بر مبنای الگوریتم شمارش جعبه‌ای است [۳۴]. در این روش هر سری زمانی (t) ^α متشکل از تعداد N نمونه محدود، یعنی $x(1), x(2), \dots, x(N)$ به صورت مجموعه از k زیرمجموعه بازنویسی می‌شود. بنابراین، خواهیم داشت:

¹ Higuchi

$$x_m(k): x(m), x(m+k), x(m+2k), \dots, x\left(m+k\left[\frac{N-m}{k}\right]\right) \quad (1-3)$$

در رابطه فوق، m می‌تواند مقداری بین ۱ تا k اتخاذ کند. برای محاسبه بعد هیگوچی، معیاری تحت عنوان

L_m بر روی هر زیرمجموعه به صورت زیر تعریف می‌گردد:

$$L_m(k) = \frac{1}{k} \left(\sum_{i=1}^R |x_{m+ik} - x_{m+(i-1)k}| \right) \left(\frac{N-1}{k\left[\frac{N-m}{k}\right]} \right) \quad (2-3)$$

همان‌طور که از رابطه فوق مشخص است، L_m از میانگین هنجارشده اندازه اختلاف هر دو نمونه از زیرمجموعه‌های ساخته‌شده حاصل می‌گردد. با فرض این که \bar{L} میانگین k تا L_m را نشان می‌دهد، می‌توان نوشت:

$$\bar{L} \propto k^{-D_H} \quad (3-3)$$

که در رابطه فوق، D_H همان بعد هیگوچی است. برای حل و دستیابی به بعد هیگوچی می‌توان از رگرسیون خطی بهره گرفت.

۲-۳-۳- بعد کاتز^۱

بعد فرکتالی کاتز (به اختصار KFD) از دیگر روش‌های محاسبه بعد فرکتال است که برخلاف روش هیگوچی، روشی مبتنی بر فاصله هر دو نمونه متوالی در سری زمانی است [۳۵]. با فرض D به عنوان مجموع فاصله اقلیدسی بین هر دو نمونه متوالی، یعنی $Dist = \sum_{i=1}^{N-1} dist_{Euclidean}(n_i, n_{i+1})$ ، و نیز $Dist_m = max(dist_{Euclidean}(n_1, n_j))$ for $j = 2, \dots, N$ نمود:

¹ Katz fractal dimension

$$D_K = \frac{\log\left(\frac{Dist}{a}\right)}{\log\left(\frac{Dist_m}{a}\right)} \quad (4-3)$$

که در رابطه فوق D_K نشان‌دهنده بعد فرکتال به دست آمده از روش کاتز است. همچنین، N تعداد نمونه‌هایی

داده گسسته شده در زمان می‌باشد. با فرض $a = \frac{Dist}{N}$ می‌توان رابطه فوق را به صورت زیر بازنویسی نمود:

$$D_K = \frac{\log(N)}{\log(N) + \log\left(\frac{Dist_m}{Dist}\right)} \quad (5-3)$$

۳-۳-۳- نمای هرست تعمیم‌یافته^۱

از دیگر رویکردهای دست‌یابی به شاخص فرکتال یک داده، نمای هرست تعمیم‌یافته (به اختصار GHE) است. این شاخص از ممان یا گشتاور مرتبه q ام توزیع استفاده می‌کند و معیاری برای توصیف میزان وابستگی یا حافظه بلندمدت سری زمانی مورد بررسی است [۳۶]. با فرض $x(t)$ به عنوان سری زمانی مورد آزمون، گشتاور مرتبه q ام داده به صورت زیر قابل محاسبه است:

$$K_q(\tau) = \frac{\langle |x(t) - x(t - \tau)|^q \rangle}{\langle |x(t)|^q \rangle} \quad (6-3)$$

در رابطه فوق τ تأخیر و نماد $\langle \dots \rangle$ نشان‌دهنده میانگین‌گیری در طول زمان است. بر اساس گشتاور محاسبه شده، نمای هرست تعمیم‌یافته از رابطه زیر قابل دستیابی است:

$$K_q(\tau) \sim \left(\frac{\tau}{v}\right)^{qH(q)} \quad (7-3)$$

در رابطه فوق $(q) H$ نمای هرست تعمیم‌یافته و v گام زمانی میان نمونه‌های داده گسسته شده است. مانند روش هیگوچی، جهت دستیابی به مقدار عددی نمای هرست تعمیم‌یافته می‌توان از روش رگرسیون خطی بهره گرفت.

¹ Generalized Hurst exponent

۳-۴-۱- بعد ماراگوس-سان^۱

بعد فرکتالی ماراگوس-سان (به اختصار MSFD) یک روش مبتنی به شکل یا ساختار گراف داده است و برای محاسبه بعد فرکتال از روش‌های مبتنی بر ریختشناسی^۲ بهره می‌گیرد. این الگوریتم از عملیات فرسایش^۳ و اتساع^۴ که به ترتیب با نمادهای \ominus و \oplus نشان داده می‌شوند، استفاده می‌کند تا سطحی که گراف داده را پوشش می‌دهد بیابد [۳۷]. با فرض داشتن $x(t)$ به عنوان سری زمانی مورد بررسی که در مدت زمان T به ثبت رسیده است و نیز با فرض b به عنوان عنصر ساختاری^۵ مورد نظر، عملیات اتساع و فرسایش (با پشتیبانی محدود^۶) داده مورد نظر و عنصر ساختاری به صورت زیر قابل تعریف است:

$$\text{erosion: } \begin{cases} x_n \oplus_s b_k = \max\{x_{n-1}, x_n, x_{n+1}\} \text{ for } k = 1 \\ x_n \oplus_s b_k = \max\{x_{n-1} \oplus_s b_k, x_{n+1} \oplus_s b_k\} \text{ for } k \geq 2 \end{cases} \quad (8-۳)$$

و

$$\text{dilation: } \begin{cases} x_n \ominus_s b^k = \min\{x_{n-1}, x_n, x_{n+1}\} \text{ for } k = 1 \\ x_n \ominus_s b^k = \min\{x_{n-1} \ominus_s b_k, x_{n+1} \ominus_s b_k\} \text{ for } k \geq 2 \end{cases} \quad (9-۳)$$

لازم به ذکر است که عنصر ساختاری مذکور می‌تواند یک مستطیل با سه المان^۷، یک مربع 3×3 ، یا یک لوزی با پنج عنصر باشد. در روابط فوق، S یک مجموعه پشتیبانی شامل $N = 0, 1, \dots, k_m$ نمونه برای اجرای عملیات اتساع و فرسایش یا پشتیبانی محدود است. همچنین، $k_m = 1, 2, \dots, k_m$ که مبتنی بر الگوریتم پیشنهادی توسط ماراگوس^۸ و سان^۹ [۳۷] قابل تعیین و محاسبه است. در نهایت سطحی که گراف داده را پوشانده یا در بر می‌گیرد از رابطه زیر قابل محاسبه است:

$$C_k = \sum_{n=1}^N [(x_n \oplus_s b_k) - (x_n \ominus_s b_k)] \quad (10-۳)$$

¹ Maragos-Sun fractal dimension

² Morphological

³ Dilation

⁴ Erosion

⁵ Structuring element

⁶ Support-limited

⁷ Element

⁸ Maragos

⁹ Sun

پس از تعیین C_k ، لازم است تا عملیات اجرای رگرسیون خطی میان $\ln\left(\frac{1}{\frac{2k}{N}}\right)$ و $\ln\left(\frac{C_k}{\left(\frac{2k}{N}\right)^2}\right)$ اجرا شود. در این فرآیند شب خط متغیر مستقل همان بعد فراكتال به روش پیشنهادی ماراگوس و سان را به دست می‌دهد.

۳-۵-۳- تحلیل نوسان‌های بدون تمایل^۱

روش تحلیل نوسان‌های بدون تمایل (با اختصار DFA) یک روش مبتنی بر طیف برای محاسبه بعد فراكتال است که برای داده‌های غیر ایستان مناسب بوده و نشان ویژگی حافظه بلندمدت دارد [۳۸]. با فرض $x(t)$ به عنوان سری زمانی گسسته شده در زمان با N نمونه، نمایه تجمعی داده به صورت زیر تعریف می‌گردد:

$$X_c(t) = \sum_{i=1}^N x(i) - \langle x(t) \rangle \quad (11-3)$$

در رابطه فوق، $\langle x(t) \rangle$ میانگین $x(t)$ در زمان (روی N نمونه) را نشان می‌دهد. با فرض این که $Y_c(t)$ خطی است که در پنجره‌های زمانی مشخص و با استفاده از روش کمترین مربعات خط^۲ از نمونه‌های $X_c(t)$ می‌گذرد، آنگاه F_n که تابع نوسانات^۳ یا ریشه میانگین مربع^۴ نام دارد، به صورت زیر تعریف می‌گردد:

$$F_n = \frac{1}{N} \sqrt{\sum_{i=1}^N (X_c(i) - Y_c(i))^2}. \quad (12-3)$$

از این تابع نوسانات با بعد نما یا بعد فراكتال به شکل زیر در ارتباط است:

$$F_n \propto n^{D_D} \quad (13-3)$$

در رابطه فوق، D_D بعد فراكتال می‌باشد که با اجرای رگرسیون خطی قابل دست‌یابی و محاسبه است.

¹ Detrended fluctuation analysis

² Least square method

³ Fluctuation function

⁴ Root-mean-squared

۳-۶-۳- بعد لیبوویچ-توث^۱

از دیگر الگوریتم‌های ارایه شده برای محاسبه بعد فراكتال، الگوریتم لیبوویچ-توث (به اختصار LTFD) می‌باشد. این روش در واقع یک روش سریع برای محاسبه بعد فراكتال بر پایه روش شمارش جعبه‌ای است [۳۹]. در روش شمارش جعبه‌ای، فضای زیربخش‌های کوچک‌تر شکسته شده و بخش‌هایی که داده را پوشش می‌دهند تعیین می‌شود. در گام بعد این نواحی مجدداً با رزولوشن بالاتری به نواحی کوچک‌تر شکسته شده و این فرآیند تا جایی که اندازه جعبه‌ها که داده را در بر می‌گیرند به صفر میل کند، ادامه می‌یابد. در نهایت، بعد فراكتال به روش شمارش جعبه‌ای به صورت زیر محاسبه می‌گردد:

$$D_{bc} = \lim_{\epsilon \rightarrow 0} \frac{\log(N_{bc}(\epsilon))}{\log\left(\frac{1}{\epsilon}\right)} \quad (14-3)$$

که در آن N_{bc} تعداد جعبه‌هایی است که داده را در برگرفته و ϵ اندازه جعبه را مشخص می‌سازد. در الگوریتم ارایه شده توسط لیبوویچ^۲ و توث^۳ جهت افزایش سرعت محاسبه بعد فراكتال و با استفاده از رابطه فوق، از شمارش جعبه‌های بسیار بزرگ و بسیار کوچک صرف نظر گشته و نیازی به محاسبه و طی کردن چنین مراحلی در این روش وجود ندارد.

۳-۷- نوسانات فراكتالی^۴

نوسانات فراكتالی (به اختصار FV) مشابه روش لیبوویچ-توث، یک الگوریتم مبتنی بر شمارش جعبه‌ای است؛ با این تفاوت که در هنگام بخش‌بندی فضای جعبه‌های کوچک‌تر از فرآیند ولگشت یا قدم زدن تصادفی^۵ بهره می‌گیرد [۴۰].

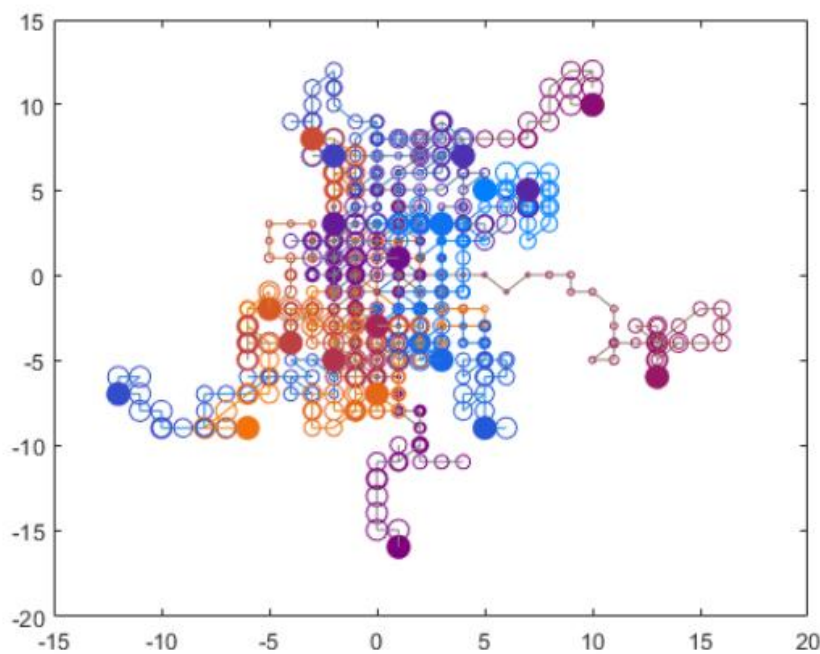
¹ Leibovitch-Toth

² Liebovitch

³ Toth

⁴ Fractal Volatility

⁵ Random-walk process



شکل (۸-۳) نمونه‌ای ولگشت یا قدم زدن تصادفی ۲۰ ذره در فضای دو بعدی [۴۱]

۴-۳- آزمون‌های آماری

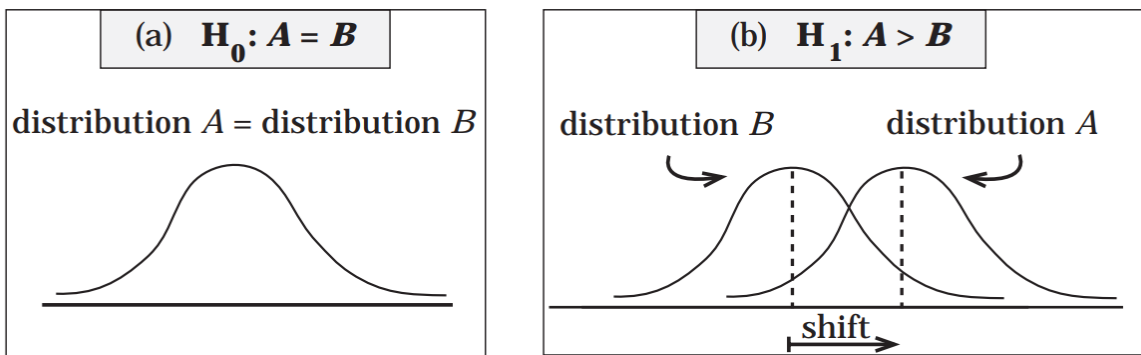
در آمار استنباطی، آزمون‌های آماری نقش مهمی در مقایسه بین دو گروه مورد بررسی داشته و امکان مقایسه نتایج بررسی‌های مختلف و تصمیم‌گیری در مورد جامعه یا شاخص مورد بررسی را فراهم می‌سازد. در آمار استنباطی هدف محقق از تحقیق تعمیم نتیجه به دست آمده بر روی یک جامعه نمونه‌گیری شده به تمام یا جامعه کل است. در این بررسی‌ها میانگین جامعه از اهمیت بالایی برخوردار است و به طور کلی میانگین جوامع با یکدیگر مقایسه می‌شود [۴۲].

در آزمون‌های آماری یک فرضیه^۱ مورد بررسی و آزمون واقع می‌شود. خروجی آزمون‌های فرض احتمالی است که با نام مقدار p ^۲ شناخته می‌شود و در واقع احتمال درست بودن فرض صفر یا فرضیه مورد آزمون را بیان می‌کند. سطح معناداری آزمون نیز بر اساس مقدار p بیان می‌شود به قسمی که اگر مقدار p از آستانه‌ای کمتر شود، استنباط می‌شود که شواهد کافی برای تأیید فرضی صفر وجود ندارد و اختلاف دو گروه

¹ Hypothesis

² P-value

توسط شاخص مورد بررسی معنادار اعلام می‌گردد. این بدین معناست که فرض جانشین که فرضیه‌ای در صورت عدم تأیید فرض صفر مطرح است، تأیید می‌گردد. سطوح معناداری٪.۹۰ ($p_{value} < 0.1$)،٪.۹۵ ($p_{value} < 0.05$) و٪.۹۹ ($p_{value} < 0.01$) از رایج‌ترین سطح معناداری است و از این میان سطح معناداری٪.۰۵ ($p_{value} < 0.05$) رایج‌ترین سطح معناداری مشاهده شده در منابع است.



شکل (۹-۳) فرض صفر و فرض جانشین برای آزمون آماری استنباطی [۴۳]

آزمون‌های فرض به دو دسته آزمون‌های پارامتریک^۱ و غیر پارامتریک^۲ تقسیم می‌شوند. آزمون‌های فرض غیر پارامتریک معادل آزمون‌های پارامتریک در شرایط هستند که شرایط پارامتریک برقرار نباشد. لازم به ذکر است که صورت برقراری شرایط پارامتریک، آزمون‌های پارامتریک نتایج معتبرتری به دست می‌دهند. دلیل این امر دانشی است که از داده وجود دارد و در تصمیم‌گیری کمک شایانی می‌کند. در مقابل، آزمون‌های غیر پارامتریک، آزمون فرض را در شرایط سخت‌گیرانه‌تری، به دلیل عدم اطلاعات کافی از داده، اجرا می‌کنند.

شرایط پارامتریک در آزمون‌های آمار به‌طور کلی به شرح زیر است:

۱- نرمال بودن توزیع نمونه‌های هر دو گروه

۲- نسبی یا فاصله‌ای بودن متغیرها (متغیرها باید برای تمام گروه‌ها باید کمی باشند)

۳- برابر بودن واریانس گروه‌ها

در این پژوهش، هدف مقایسه هفت شاخص فرکتال در گروه‌های افراد سالم و مبتلا به شیزووفرنی است. در صورت برقراری شرایط پارامتریک، آزمون مناسب برای مقایسه دو گروه آزمون^۳ t و در صورت عدم برقراری شرایط پارامتریک، آزمون ویلکاکسان رتبه حاصل جمع می‌باشد.

¹ Parametric

² Non-parametric

³ T-test

۴-۱- آزمون ویلکاکسان رتبه حاصل جمع

در این آزمون، فرض بر این است که اطلاعاتی از توزیع نمونه‌های در دسترس نیست و در حالت کلی شرایط پارامتریک برقرار نمی‌باشد. همچنین، این آزمون به صورت کلی برای مقایسه دو گروه، به شرط مستقل بودن نمونه‌های دو گروه، مناسب است [۴۳]. بر این اساس، این آزمون در تلاش است تا فرض صفر را مستقل از توزیع نمونه‌های و به شرح زیر آزمون نماید:

- ۱- ابتدا نمونه‌های هر دو گروه فارغ از برچسبشان از کوچک به بزرگ مرتب می‌شوند.
- ۲- سپس بر اساس جایگاه قرارگیری نمونه‌ها، به آن‌ها رتبه‌ای تعلق می‌گیرد. به طور مثال، به کوچک‌ترین نمونه رتبه ۱ تعلق می‌گیرد.
- ۳- در گام بعد رتبه مربوط به نمونه‌های هر گروه جمع شده و در نتیجه گروه یک رتبه حاصل جمع خواهد داشت.
- ۴- در این گام کافی است از جدول مربوط به این آزمون، بسته به نوع فرض جانشین (یک‌طرفه یا دو طرف بودن) احتمال بزرگ یا کوچک بودن (یا هردو) رتبه حاصل جمع از مقدار به دست آمده خوانده و اعلام شود.

۵-۳- جمع‌بندی

این پژوهه از سه بخش اصلی دریافت دادگان از پایگاه داده‌ای معتبر، استخراج ویژگی‌های مطلوب از این دادگان و اجرای آزمون آماری مناسب تشکیل شده است. با توجه به ماهیت غیر خطی دادگان زیستی، به نظر می‌رسد که استخراج ویژگی‌هایی که بتوانند چنین اطلاعات غیر خطی را به دست دهنده، مناسب خواهند بود. در نتیجه در بخش استخراج ویژگی که اصلی‌ترین بخش این پژوهش است، هفت ویژگی فرکتال جهت دست‌یابی به میزان پیچیدگی سیگنال‌های EEG که از جمله ویژگی‌های غیر خطی سیگنال‌هاست، پرداخته شده است.

فصل ٤:

نتائج و تحليل آنها

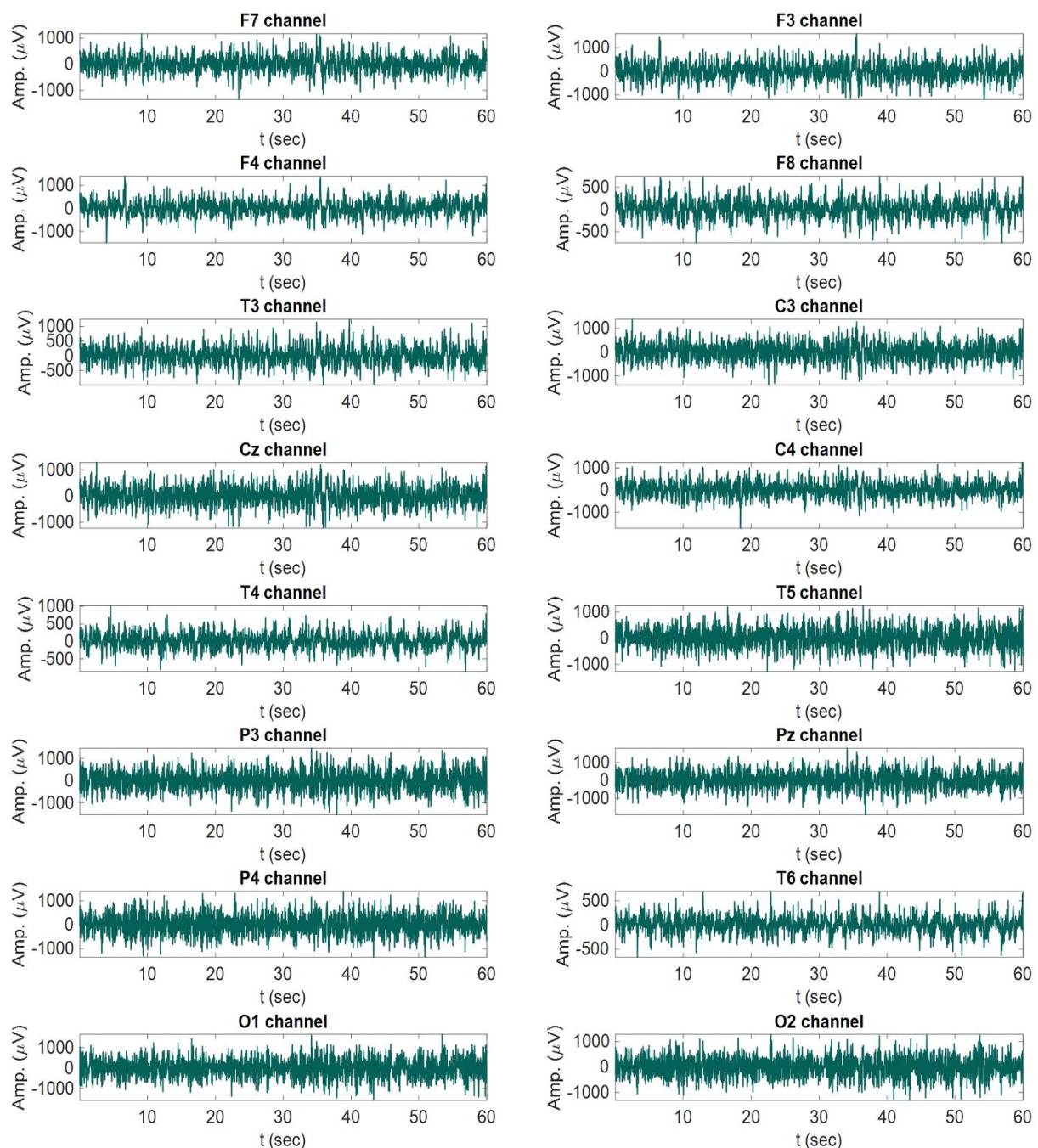
۱-۴- مقدمه

در این پژوهش، به منظور پیاده‌سازی فرآیندها و مراحل بیان شده در فصل گذشته، از نرم‌افزار متلب (نسخه ۲۰۲۱ سری b) بهره گرفته شده است. به صورت خلاصه در این بخش نتایج دریافت دادگان، استخراج ویژگی (V) ویژگی فرکتال، شامل ویژگی‌های بعد هیگوچی، بعد کاتز، نمای هرست تعمیم‌یافته، بعد ماراگوس-سان، تحلیل نوسان‌های بدون تمایل، بعد لیبوویچ-توث و نوسانات فرکتالی) و اجرای آزمون آماری مناسب (ولکاکسان رتبه حاصل جمع)، به همراه علت انتخاب نوع آزمون (ذکر عدم برقراری شرایط پارامتریک) بیان گشته است.

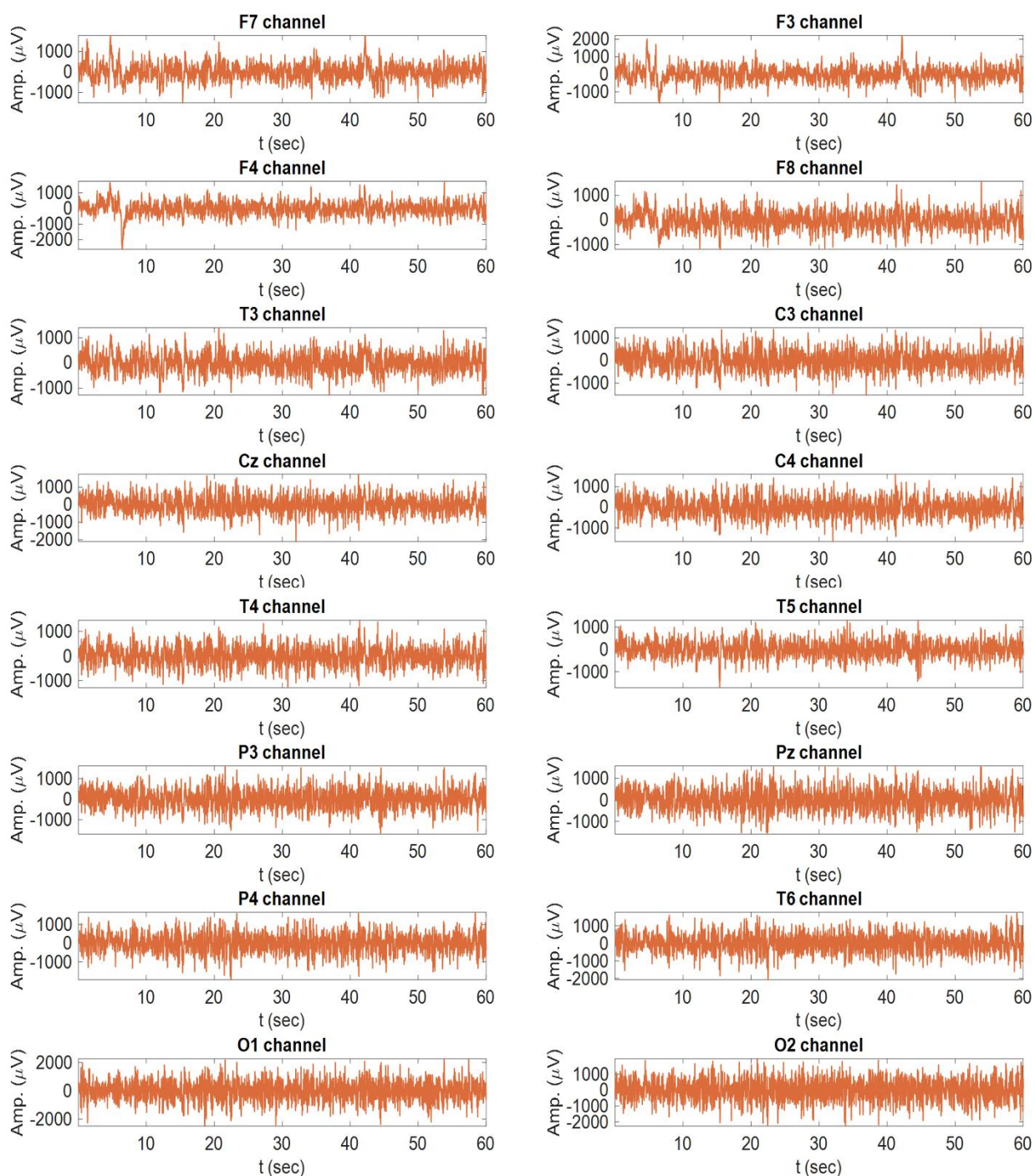
۲-۴- دریافت و آماده‌سازی دادگان

دادگان دریافتی که رد فصل گذشته معرفی گشته است، به طور خاصه شامل ۳۹ سیگنال EEG از افراد سالم و ۴۵ سیگنال EEG از افراد مبتلا به بیماری شیزوفرنی است. ای سیگنال‌ها ۱۶ کانالی با فرکانس نمونه‌برداری ۱۲۸ هرتز بوده و برای هر گروه به صورت مجزا قابل دریافت است. دادگان خام به صورت یک سیگنال ۱۶ دقیقه‌ای است که هر دقیقه یا هر ۷۶۸۰ نمونه آن مربوط به یک کانال است. ترتیب قرارگیری کانال‌ها عبارت است از: F7, F3, Fz, F4, F1, F8, T3, T4, T5, T6, P3, P4, Pz, P1, O1, O2. بنابراین نیاز است تا در ابتدا دادگان مربوط به هر کانال برای هر فرد تفکیک شده و به صورت مجزا برای گام استخراج ویژگی مورد استفاده قرار گیرد.

دو شکل زیر دو نمونه از سیگنال‌های دریافتی از پایگاه داده برای یک فرد سالم و یک فرد مبتلا به بیماری شیزوفرنی را پس از تفکیک به ۱۶ کانال مجزا نمایش می‌دهد. بر اساس شکل‌های به دست‌آمده می‌توان دید که دامنه سیگنال‌های EEG در حدود 1 ± 1 میلی ولت است. همچنین نام کانال‌های ثبت برای هر سیگنال در دو شکل زیر به صورت تیتر در بالای سیگنال‌های نمایش داده شده است. از نظر شهودی نمی‌توان درک عمیقی از میزان یا اختلاف پیچیدگی داده‌ی فرد سالم و بیمار را مشاهده نمود. به همین منظور نیاز است تا دادگان به فضای دیگر نگاشته شده و در این فضا مورد بررسی قرار گیرند که در ادامه بدان پرداخته شده است.



شکل (۱-۴) سیگنال EEG ثبت شده از ۱۶ الکترود ثبت با کانال برای یک فرد سالم. سیگنال‌های دارای فرکانس نمونه‌برداری ۱۲۸ بوده و در مدت ۶۰ ثانیه به ثبت رسیده است.

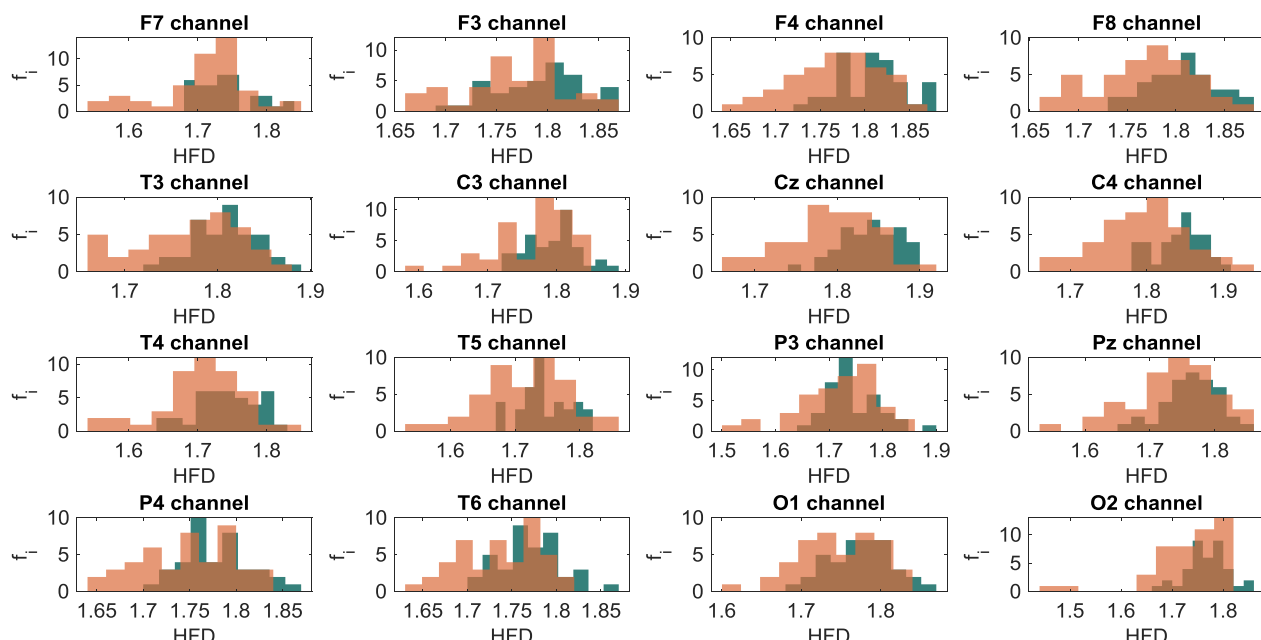


شکل (۲-۴) سیگنال EEG ثبت شده از ۱۶ الکترود ثبت با کانال برای یک فرد مبتلا به بیماری شیزوفرنی. سیگنال‌های دارای فرکانس نمونه‌برداری ۱۲۸ بوده و در مدت ۶۰ ثانیه به ثبت رسیده است.

۳-۴- استخراج ویژگی و اجرای آزمون آماری

با توجه به ماهیت غیر ایستان و غیر خطی سیگنال‌های EEG، ویژگی‌های غیرخطی می‌توانند ویژگی‌های مناسبی برای نمایش ویژگی‌های غیر خطی چنین سیگنال‌هایی باشد. از این‌رو، هفت ویژگی فرکتال توضیح داده شده در فصل گذشته، به عنوان ویژگی مطلوب و شاخصی از پیچیدگی سیگنال استخراج گشته است. پس از دریافت و تفکیک دادگان به کanal‌های مجزا، ابتدا ویژگی‌های فرکتال از هر کanal به‌طور مجزا استخراج شده و مورد آزمون واقع شده است. سپس میانگین ویژگی‌های به‌دست‌آمده از تمام کanal‌های برای افراد متعلق به هر گروه محاسبه شده و مورد آزمون قرار گرفته است.

در گام اول، با استفاده از روابط بیان شده در فصل گذشته، ویژگی بعد هیگوچی برای هر کanal استخراج گشته است. هیستوگرام داده‌های نگاشته شده به فضای بعد هیگوچی در شکل زیر نمایش داده شده است. بر اساس این شکل می‌توان دید که دادگان دارای توزیع نرمال نبوده و در نتیجه برای بررسی معناداری اختلاف ایجاد شده بین دو گروه بر اساس این ویژگی، مهم‌ترین شرط شرایط پارامتریک، یعنی نرمال بودن توزیع نمونه‌ها وجود نداشته و از این‌رو آزمون آماری ویلکاکسان رتبه حاصل جمع استفاده گشته است.



شکل (۳-۴) هیستوگرام ویژگی بعد هیگوچی استخراج شده از ۸۴ سیگنال EEG شامل ۳۹ سیگنال فرد سالم و ۴۵ سیگنال فرد مبتلا به بیماری شیزوفرنی برای ۱۶ کanal مجزا

نتایج آزمون آماری ویلکاکسان رتبه حاصل جمع (با فرض سطح معناداری ۹۵٪ یا مقدار m کمتر از ۰/۰۵)، شامل مقدار p ، میانگین گروه سالم (\bar{X}_1) و بیمار (\bar{X}_2)، انحراف معیار گروه سالم گروه سالم (S_1) و بیمار (S_2) و خطای معیار گروه سالم (\bar{S}_1) و بیمار (\bar{S}_2) برای شاخص بعد هیگوچی برای هر کanal در جدول زیر بیان گشته است. خطای معیار از تقسیم انحراف معیار هر گروه بر مذکور تعداد مشاهدات موجود در آن گروه حاصل می‌شود.

در این آزمون آمار فرض صفر یکسان بودن توزیع نمونه‌های نگاشته شده در فضای بعد هیگوچی و فرض جانشین این است که نمونه‌ها متعلق به توزیع‌های متفاوتی هستند. در این صورت، اگر شواهد کافی برای تأیید فرض صفر از شواهد یا داده نگاشته شده وجود نداشته باشد، آنگاه می‌توان گفت که ویژگی بعد هیگوچی، می‌تواند به صورت معناداری میان سیگنال‌های افراد سالم و مبتلا به بیماری شیزووفرنی تمایز و تفاوت ایجاد کند. شایان ذکر است که برای محاسبه بعد هیگوچی $k = 30$ در نظر گرفته شده است.

جدول (۱-۴) نتایج آزمون آماری ویلکاکسان رتبه حاصل جمع با سطح معناداری ۹۵٪ برای شاخص بعد هیگوچی در ۱۶ کanal

کanal	مقدار p	میانگین						خطای معیار	انحراف معیار	شواهد کافی برای تأیید فرض
		\bar{S}_2	\bar{S}_1	S_2	S_1	\bar{X}_2	\bar{X}_1			
شواهد کافی برای تأیید فرض معنادار نیست.		0.010	0.007	0.064	0.042	1.709	1.740	0.058	F7	صفر وجود داشته و تفاوت
شواهد کافی برای تأیید فرض معنادار است.		0.008	0.007	0.051	0.042	1.767	1.793	0.023	F3	صفر وجود نداشته و تفاوت
شواهد کافی برای تأیید فرض معنادار است.		0.007	0.006	0.049	0.037	1.767	1.807	< 0.001	F4	صفر وجود نداشته و تفاوت
شواهد کافی برای تأیید فرض معنادار است.		0.008	0.006	0.050	0.037	1.769	1.806	0.001	F8	صفر وجود نداشته و تفاوت

شواهد کافی برای تأیید فرض

صفر وجود نداشته و تفاوت	0.008	0.006	0.054	0.036	1.772	1.809	0.002	T3
-------------------------	-------	-------	-------	-------	-------	-------	-------	----

معنادار است.

شواهد کافی برای تأیید فرض

صفر وجود نداشته و تفاوت	0.008	0.006	0.056	0.039	1.767	1.796	0.024	C3
-------------------------	-------	-------	-------	-------	-------	-------	-------	----

معنادار است.

شواهد کافی برای تأیید فرض

صفر وجود نداشته و تفاوت	0.008	0.006	0.053	0.036	1.790	1.838	< 0.001	Cz
-------------------------	-------	-------	-------	-------	-------	-------	---------	----

معنادار است.

شواهد کافی برای تأیید فرض

صفر وجود نداشته و تفاوت	0.008	0.005	0.056	0.033	1.795	1.842	< 0.001	C4
-------------------------	-------	-------	-------	-------	-------	-------	---------	----

معنادار است.

شواهد کافی برای تأیید فرض

صفر وجود نداشته و تفاوت	0.009	0.007	0.063	0.044	1.704	1.742	0.003	T4
-------------------------	-------	-------	-------	-------	-------	-------	-------	----

معنادار است.

شواهد کافی برای تأیید فرض

صفر وجود نداشته و تفاوت	0.009	0.006	0.063	0.039	1.713	1.745	0.008	T5
-------------------------	-------	-------	-------	-------	-------	-------	-------	----

معنادار است.

شواهد کافی برای تأیید فرض

صفر وجود داشته و تفاوت	0.011	0.008	0.071	0.050	1.718	1.746	0.130	P3
------------------------	-------	-------	-------	-------	-------	-------	-------	----

معنادار نیست.

شواهد کافی برای تأیید فرض

صفر وجود نداشته و تفاوت	0.010	0.007	0.064	0.042	1.737	1.766	0.020	Pz
-------------------------	-------	-------	-------	-------	-------	-------	-------	----

معنادار است.

شواهد کافی برای تأیید فرض

صفر وجود نداشته و تفاوت	0.008	0.006	0.050	0.037	1.747	1.779	0.006	P4
-------------------------	-------	-------	-------	-------	-------	-------	-------	----

معنادار است.

شواهد کافی برای تأیید فرض

صفر وجود نداشته و تفاوت	0.007	0.006	0.045	0.036	1.737	1.771	0.001	T6
معنادار است.								

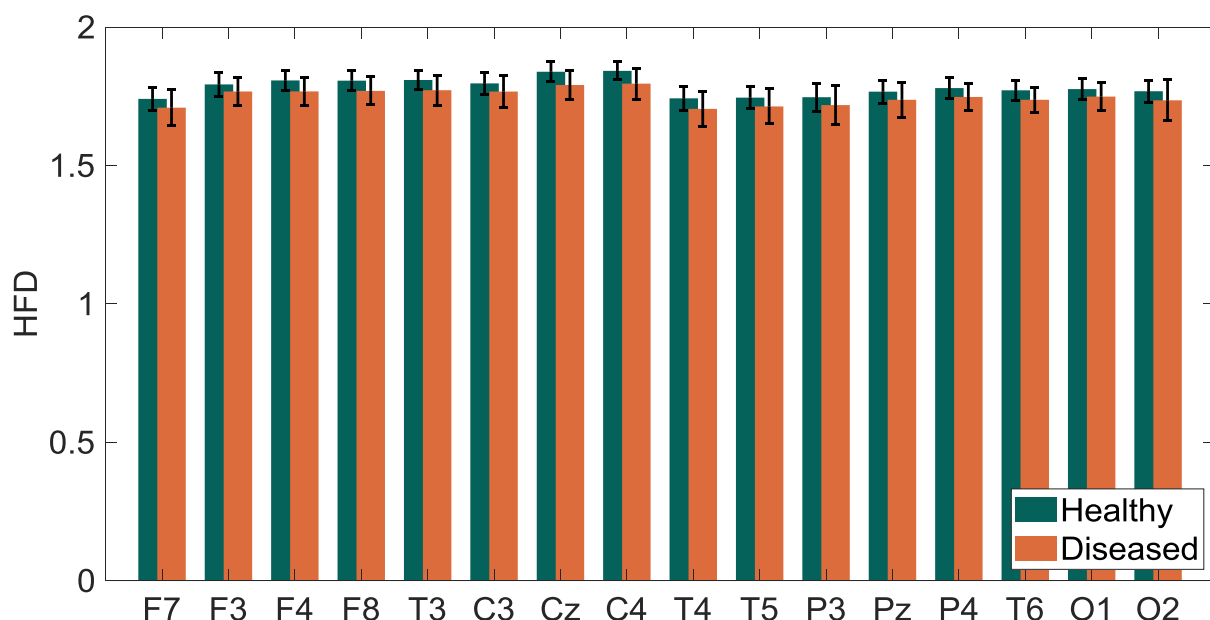
شواهد کافی برای تأیید فرض

صفر وجود نداشته و تفاوت	0.007	0.006	0.050	0.039	1.749	1.776	0.018	O1
معنادار است.								

شواهد کافی برای تأیید فرض

صفر وجود نداشته و تفاوت	0.011	0.006	0.074	0.040	1.735	1.768	0.050	O2
به صورت مرزی معنادار است.								

جدول فوق نشان می‌دهد که ویژگی بعد هیگوچی می‌تواند تفاوت معناداری در تمامی کانال‌ها به جز کانال‌های F7 و P3 ایجاد نماید. از سویی در کانال O2 نیز این تفاوت به صورت مرزی معنادار است. شایان ذکر است در جدول فوق تمامی مقادیر تا سه رقم اعشار بیان گشته است. شکل زیر خلاصه‌ای از جدول فوق را نشان می‌دهد.

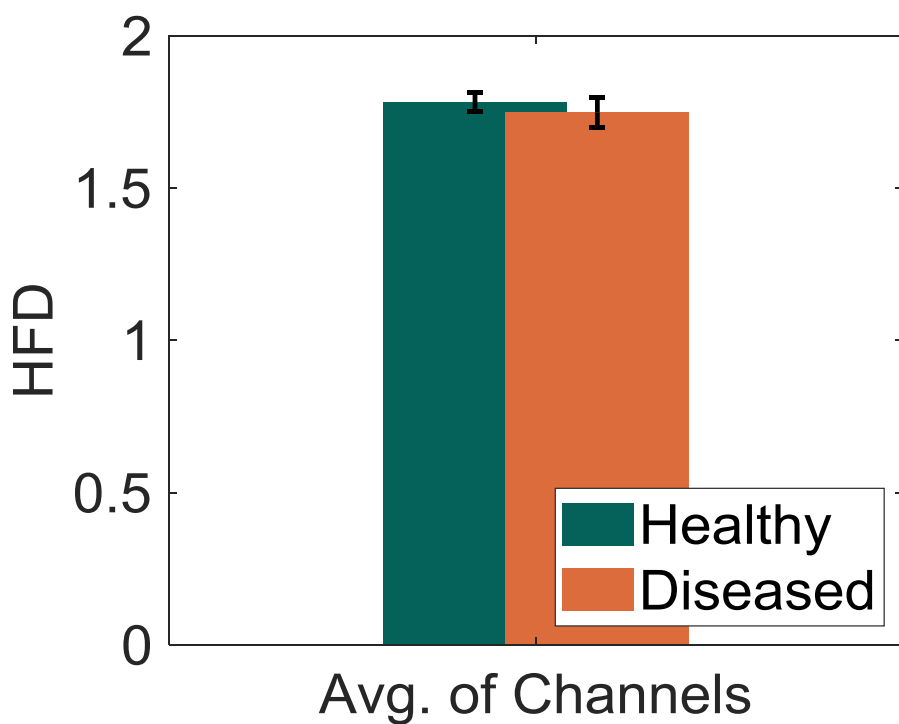


شکل (۴-۴) میانگین و انحراف معیار ویژگی بعد هیگوچی در ۱۶ کanal EEG برای دادگان افراد سالم و افراد مبتلا به بیماری شیزوفرنی

شکل فوق نشان می‌دهد که در تمامی کanal‌ها متوسط مقدار بعد هیگوچی در افراد سالم بالاتر از مقدار آن در افراد مبتلا به بیماری شیزوفرنی است. از این‌رو می‌توان نتیجه گرفت که بیماری شیزوفرنی سبب کاهش میزان پیچیدگی سیگنال EEG می‌گردد. برای بررسی دقیق‌تر، بار دیگر میانگین مقادیر بعد هیگوچی محاسبه شده در تمام کanal برای هر دو گروه محاسبه شده و مورد آزمون قرار گرفته است. مشابه قبل، نتایج آزمون آماری در این بررسی در جدول زیر بیان گشته و خلاصه آن نیز در شکل زیر نمایش داده شده است.

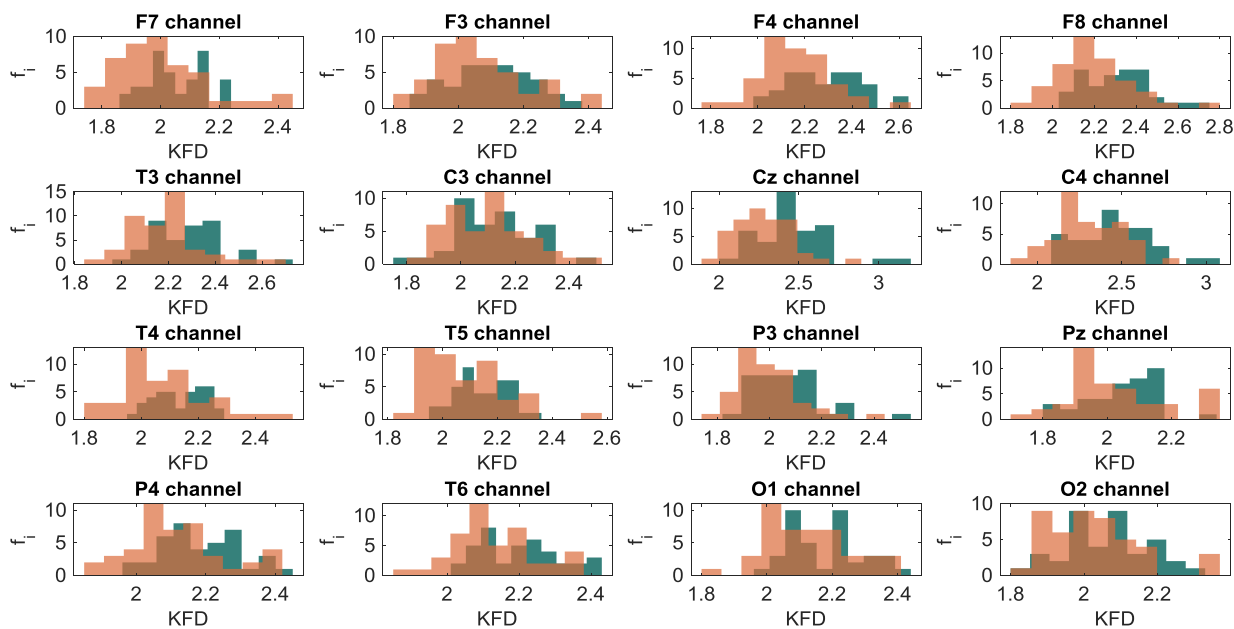
جدول (۲-۴) نتایج آزمون آماری ویلکاکسان رتبه حاصل جمع با سطح معناداری ۹۵٪ برای شاخص بعد هیگوچی متوسط

نتیجه آزمون	کanal						p
	مقدار	میانگین	انحراف معیار	خطای معیار	S_2	S_1	
شواهد کافی برای تأیید فرض صفر وجود نداشته و تفاوت معنادار است.	۱۶ کanal	میانگین	۰.۰۳۲	۰.۰۵۰	۰.۰۰۵	۰.۰۰۷	۰.۰۰۳



شکل (۴-۵) میانگین و انحراف معیار ویژگی بعد هیگوچی متوسط در ۱۶ کanal EEG برای دادگان افراد سالم و افراد مبتلا به بیماری شیزوفرنی

در گام دوم، با استفاده از روابط بیان شده در فصل گذشته، ویژگی بعد کاتز برای هر کانال استخراج گشته است. هیستوگرام داده‌های نگاشته شده به فضای بعد کاتز در شکل زیر نمایش داده شده است. بر اساس این شکل می‌توان دید که دادگان دارای توزیع نرمال نبوده و در نتیجه برای بررسی معناداری اختلاف ایجادشده بین دو گروه بر اساس این ویژگی، مهم‌ترین شرط شرایط پارامتریک، یعنی نرمال بودن توزیع نمونه‌ها وجود نداشته و از این‌رو آزمون آماری ویلکاکسان رتبه حاصل جمع استفاده گشته است.



شکل (۶-۴) هیستوگرام ویژگی بعد کاتز استخراج شده از ۸۴ سیگنال EEG شامل ۳۹ سیگنال فرد سالم و ۴۵ سیگنال فرد مبتلا به بیماری شیزوفرنی برای ۱۶ کانال مجزا

در این حالت نیز نتایج آزمون آماری ویلکاکسان رتبه حاصل جمع (با فرض سطح معناداری ۹۵٪ یا مقدار p کمتر از ۰/۰۵)، شامل مقدار p ، میانگین گروه سالم (\bar{X}_1) و بیمار (\bar{X}_2)، انحراف معیار گروه سالم گروه سالم (S_1) و بیمار (S_2) و خطای معیار گروه سالم (\bar{S}_1) و بیمار (\bar{S}_2) برای شاخص بعد کاتز برای هر کانال در جدول زیر بیان گشته است.

در این آزمون نیز آمار فرض صفر یکسان بودن توزیع نمونه‌های نگاشته شده در فضای بعد کاتز و فرض جانشین این است که نمونه‌ها متعلق به توزیع‌های متفاوتی هستند. در صورت، اگر شواهد کافی برای تأیید فرض صفر از شواهد یا داده نگاشته شده وجود نداشته باشد، آنگاه می‌توان گفت که ویژگی بعد کاتز، می‌تواند به صورت معناداری میان سیگنال‌های افراد سالم و مبتلا به بیماری شیزوفرنی تمایز و تفاوت ایجاد کند.

جدول (۳-۴) نتایج آزمون آماری وبلکاسان رتبه حاصل جمع با سطح معناداری ۹۵٪ برای شاخص بعد کاتز در ۱۶ کانال

نتیجه آزمون	میانگین		انحراف معیار		خطای معیار		کانال	مقدار <i>p</i>	F
	\bar{S}_2	\bar{S}_1	S_2	S_1	\bar{X}_2	\bar{X}_1			
شواهد کافی برای تأیید فرض معنادار است.									
شواهد کافی برای تأیید فرض معنادار نیست.	0.024	0.016	0.159	0.102	2.003	2.050	0.024	F7	
شواهد کافی برای تأیید فرض معنادار است.									
شواهد کافی برای تأیید فرض معنادار نیست.	0.021	0.020	0.139	0.128	2.062	2.101	0.121	F3	
شواهد کافی برای تأیید فرض معنادار است.									
شواهد کافی برای تأیید فرض معنادار نیست.	0.023	0.025	0.154	0.155	2.159	2.282	0.001	F4	
شواهد کافی برای تأیید فرض معنادار است.									
شواهد کافی برای تأیید فرض معنادار است.	0.026	0.026	0.173	0.163	2.198	2.304	0.002	F8	
شواهد کافی برای تأیید فرض معنادار است.									
شواهد کافی برای تأیید فرض معنادار نیست.	0.024	0.024	0.161	0.151	2.185	2.284	0.002	T3	
شواهد کافی برای تأیید فرض معنادار است.									
شواهد کافی برای تأیید فرض معنادار نیست.	0.022	0.023	0.147	0.141	2.104	2.125	0.394	C3	
شواهد کافی برای تأیید فرض معنادار است.									
شواهد کافی برای تأیید فرض معنادار است.	0.028	0.037	0.189	0.229	2.278	2.454	< 0.001	Cz	
شواهد کافی برای تأیید فرض معنادار است.									
شواهد کافی برای تأیید فرض معنادار است.	0.028	0.033	0.191	0.207	2.302	2.461	0.001	C4	
شواهد کافی برای تأیید فرض معنادار است.									

شواهد کافی برای تأیید فرض

صفر وجود نداشته و تفاوت	0.021	0.014	0.143	0.086	2.079	2.137	0.008	T4
-------------------------	-------	-------	-------	-------	-------	-------	-------	----

معنادار است.

شواهد کافی برای تأیید فرض

صفر وجود نداشته و تفاوت	0.022	0.015	0.146	0.093	2.077	2.146	0.005	T5
-------------------------	-------	-------	-------	-------	-------	-------	-------	----

معنادار است.

شواهد کافی برای تأیید فرض

صفر وجود داشته و تفاوت	0.019	0.021	0.127	0.130	1.997	2.066	0.007	P3
------------------------	-------	-------	-------	-------	-------	-------	-------	----

معنادار نیست.

شواهد کافی برای تأیید فرض

صفر وجود داشته و تفاوت	0.023	0.018	0.154	0.111	2.023	2.048	0.141	Pz
------------------------	-------	-------	-------	-------	-------	-------	-------	----

معنادار نیست.

شواهد کافی برای تأیید فرض

صفر وجود نداشته و تفاوت	0.020	0.018	0.133	0.113	2.118	2.185	0.012	P4
-------------------------	-------	-------	-------	-------	-------	-------	-------	----

معنادار است.

شواهد کافی برای تأیید فرض

صفر وجود نداشته و تفاوت	0.018	0.018	0.118	0.112	2.126	2.203	0.003	T6
-------------------------	-------	-------	-------	-------	-------	-------	-------	----

معنادار است.

شواهد کافی برای تأیید فرض

صفر وجود نداشته و تفاوت	0.019	0.018	0.128	0.113	2.123	2.181	0.022	O1
-------------------------	-------	-------	-------	-------	-------	-------	-------	----

معنادار است.

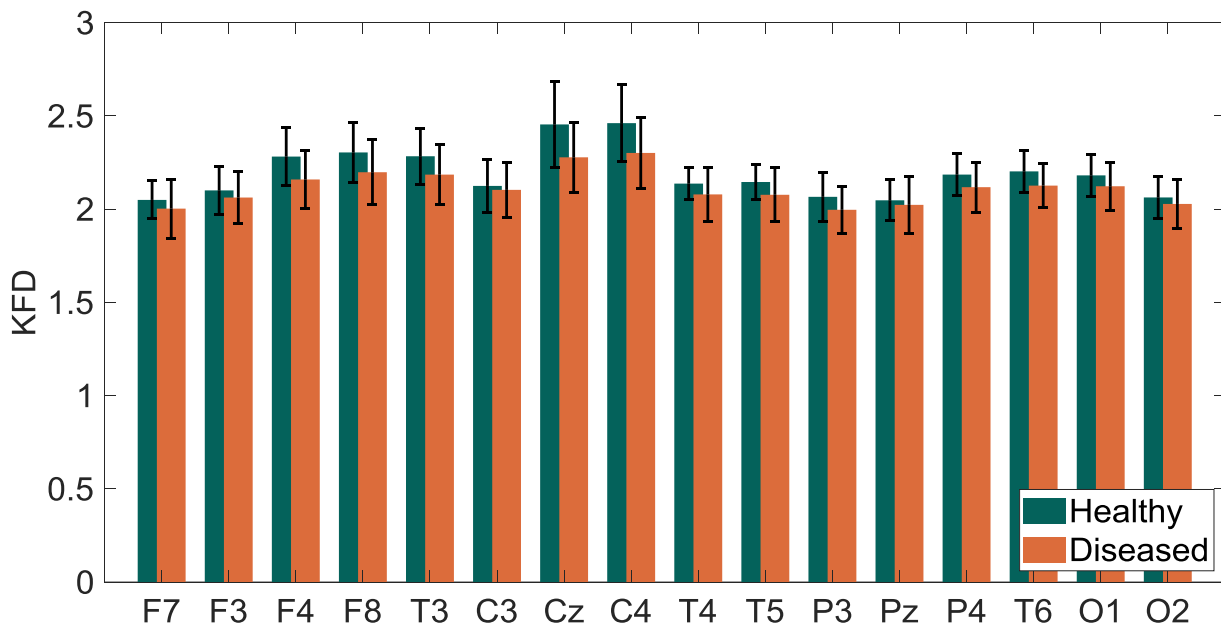
شواهد کافی برای تأیید فرض

صفر وجود داشته و تفاوت	0.019	0.018	0.129	0.114	2.028	2.063	0.087	O2
------------------------	-------	-------	-------	-------	-------	-------	-------	----

معنادار نیست.

جدول فوق نشان می‌دهد که ویژگی بعد کاتز می‌تواند تفاوت معناداری در تمامی کانال‌ها به جز کانال‌های P3، Pz و O2 ایجاد نماید. شایان ذکر است در جدول فوق تمامی مقادیر تا سه رقم اعشار بیان گشته

است. شکل زیر خلاصه‌ای از جدول فوق را نشان می‌دهد.

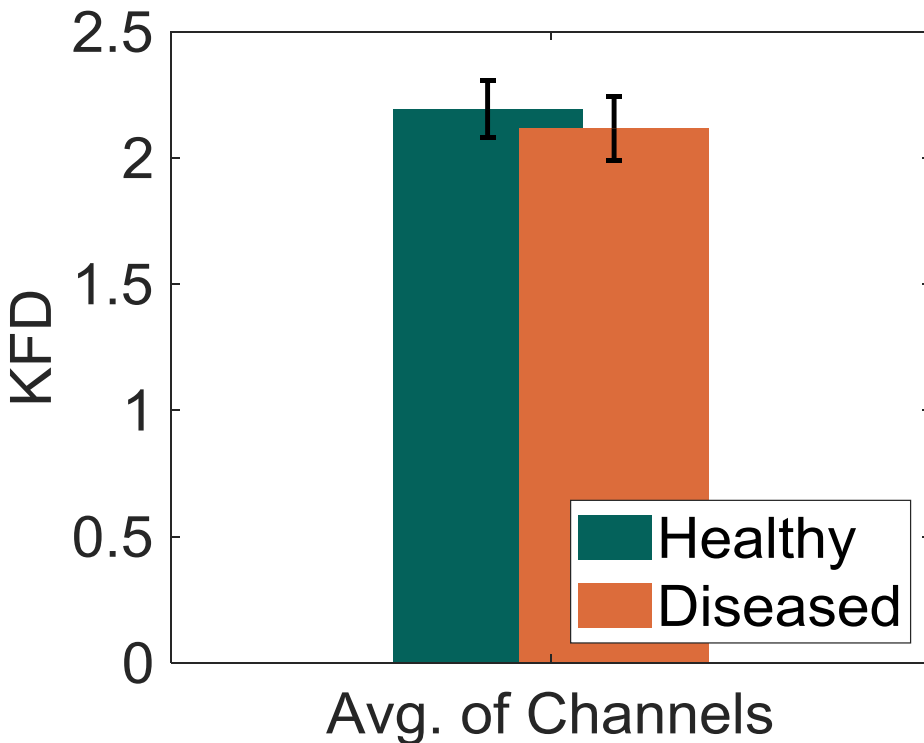


شکل (۷-۴) میانگین و انحراف معیار ویژگی بعد کاتز در ۱۶ کanal EEG برای دادگان افراد سالم و افراد مبتلا به بیماری شیزوفرنی

مشابه بعد هیگوچی، در این حالت نیز شکل فوق نشان می‌دهد که در تمامی کانال‌ها متوسط مقدار بعد کاتز در افراد سالم بالاتر از مقدار آن در افراد مبتلا به بیماری شیزوفرنی است. از این‌رو در این حالت نیز می‌توان نتیجه گرفت که بیماری شیزوفرنی سبب کاهش میزان پیچیدگی سیگنال EEG می‌گردد. برای بررسی دقیق‌تر، بار دیگر میانگین مقادیر بعد کاتز محاسبه شده در تمام کانال برای هر دو گروه محاسبه شده و مورد آزمون قرار گرفته است. مشابه قبل، نتایج آزمون آماری در این بررسی در جدول زیر بیان گشته و خلاصه آن نیز در شکل زیر نمایش داده شده است.

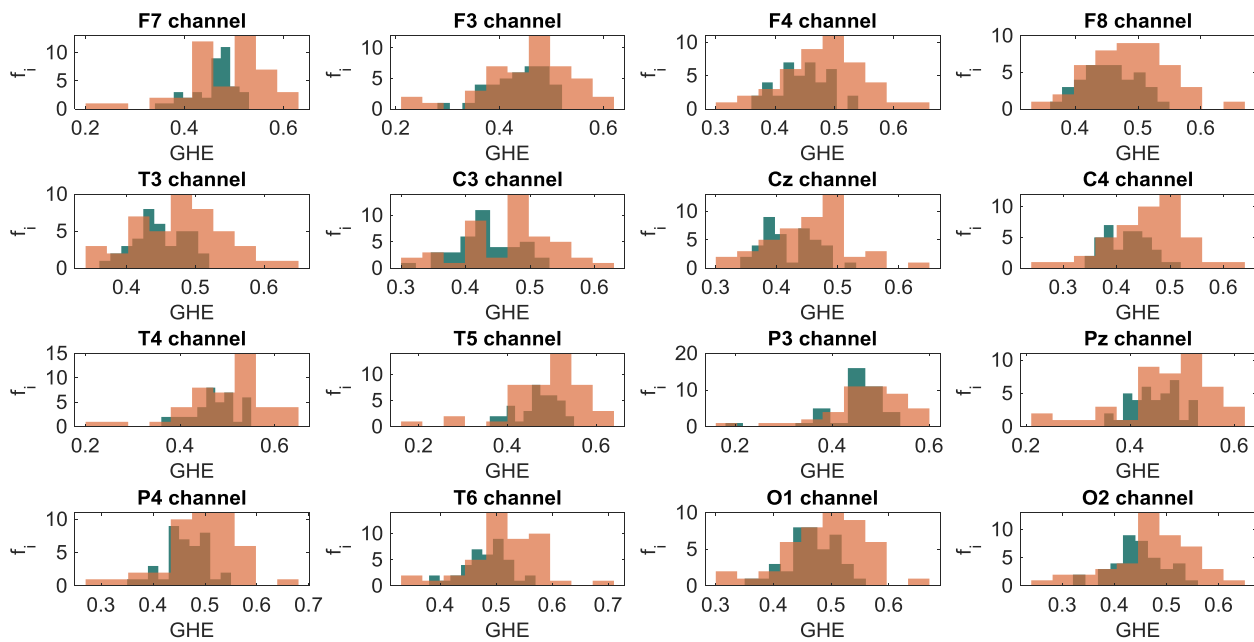
جدول (۴-۴) نتایج آزمون آماری ویلکاکسان رتبه حاصل جمع با سطح معناداری ۹۵٪ برای شاخص بعد کاتز متوسط

کanal	مقدار	p	میانگین						انحراف معیار	خطای معیار	S_2	S_1
			\bar{X}_2	\bar{X}_1	S_1	S_2	\bar{S}_1	\bar{S}_2				
میانگین ۱۶ کanal	۰.۰۰۴	۰.۱۹۳	۲.۱۱۶	۲.۱۶	۰.۱۱۲	۰.۱۲۷	۰.۰۱۸	۰.۰۱۹	فرض صفر وجود نداشته و تفاوت معنادار است.	شواهد کافی برای تأیید		



شکل (۸-۴) میانگین و انحراف معیار ویژگی بعد کاتز متوسط در ۱۶ کanal EEG برای دادگان افراد سالم و افراد مبتلا به بیماری شیزوفرنی

در گام سوم، بر اساس از روابط بیان شده در فصل گذشته، ویژگی نمای هرست تعمیم یافته برای هر کanal استخراج گشته است. هیستوگرام داده‌های نگاشته شده به فضای نمای هرست تعمیم یافته در شکل زیر نمایش داده شده است. مشابه حالات پیشین، بر اساس این شکل می‌توان دید که دادگان دارای توزیع نرمال نبوده و در نتیجه برای بررسی معناداری اختلاف ایجاد شده بین دو گروه بر اساس این ویژگی، مهم‌ترین شرط شرایط پارامتریک، یعنی نرمال بودن توزیع نمونه‌ها وجود نداشته و از این‌رو آزمون آماری ویلکاکسان رتبه حاصل جمع استفاده گشته است.



شکل (۹-۴) هیستوگرام ویژگی نمای هرست تعمیم‌یافته استخراج شده از ۸۴ سیگنال EEG شامل ۳۹ سیگنال فرد سالم و ۴۵ سیگنال فرد مبتلا به بیماری شیزوفرنی برای ۱۶ کانال مجزا

در این حالت نیز نتایج آزمون آماری ویلکاکسان رتبه حاصل جمع (با فرض سطح معناداری ۹۵٪ یا مقدار p کمتر از ۰/۰۵)، شامل مقدار p ، میانگین گروه سالم (\bar{X}_1) و بیمار (\bar{X}_2)، انحراف معیار گروه سالم گروه سالم (S_1) و بیمار (S_2) و خطای معیار گروه سالم (\bar{S}_1) و بیمار (\bar{S}_2) برای شاخص نمای هرست تعمیم‌یافته برای هر کanal در جدول زیر بیان گشته است.

در این آزمون نیز آمار فرض صفر یکسان بودن توزیع نمونه‌های نگاشته شده در فضای نمای هرست تعمیم‌یافته و فرض جانشین این است که نمونه‌ها متعلق به توزیع‌های متفاوتی هستند. در صورت، اگر شواهد کافی برای تأیید فرض صفر از شواهد یا داده نگاشته شده وجود نداشته باشد، آنگاه می‌توان گفت که ویژگی نمای هرست تعمیم‌یافته، می‌تواند به صورت معناداری میان سیگنال‌های افراد سالم و مبتلا به بیماری شیزوفرنی تمایز و تفاوت ایجاد کند. شایان ذکر است که برای محاسبه نمای هرست تعمیم‌یافته $q = 1$ در نظر گرفته شده است.

جدول (۵-۴) نتایج آزمون آماری ویلکاکسان رتبه حاصل جمع با سطح معناداری ۹۵٪ برای شاخص نمای هرست تعییم یافته در ۱۶ کاتال

نتیجه آزمون	خطای معیار		انحراف معیار		میانگین		مقدار کاتال	<i>p</i>
	\bar{S}_2	\bar{S}_1	S_2	S_1	\bar{X}_2	\bar{X}_1		
شواهد کافی برای تأیید فرض معنادار است.	صفر وجود نداشته و تفاوت	0.012	0.0070	0.083	0.044	0.482	0.460	0.045 F7
شواهد کافی برای تأیید فرض به صورت مرزی معنادار است.	صفر وجود نداشته و تفاوت	0.013	0.0080	0.085	0.052	0.456	0.434	0.050 F3
شواهد کافی برای تأیید فرض معنادار است.	صفر وجود نداشته و تفاوت	0.010	0.0070	0.066	0.042	0.482	0.447	0.006 F4
شواهد کافی برای تأیید فرض معنادار است.	صفر وجود نداشته و تفاوت	0.010	0.0070	0.065	0.042	0.487	0.453	0.007 F8
شواهد کافی برای تأیید فرض معنادار است.	صفر وجود نداشته و تفاوت	0.010	0.0060	0.066	0.039	0.480	0.448	0.022 T3
شواهد کافی برای تأیید فرض معنادار است.	صفر وجود نداشته و تفاوت	0.010	0.0080	0.070	0.047	0.467	0.431	0.008 C3
شواهد کافی برای تأیید فرض معنادار است.	صفر وجود نداشته و تفاوت	0.010	0.0070	0.066	0.043	0.456	0.420	0.003 Cz
شواهد کافی برای تأیید فرض صفر وجود نداشته و تفاوت	0.011	0.0070	0.071	0.042	0.456	0.418	0.002	C4

معنادار است.

شواهد کافی برای تأیید فرض

صفر وجود نداشته و تفاوت	0.013	0.0080	0.084	0.048	0.497	0.470	0.029	T4
-------------------------	-------	--------	-------	-------	-------	-------	-------	----

معنادار است.

شواهد کافی برای تأیید فرض

صفر وجود نداشته و تفاوت	0.013	0.0070	0.088	0.046	0.489	0.469	0.024	T5
-------------------------	-------	--------	-------	-------	-------	-------	-------	----

معنادار است.

شواهد کافی برای تأیید فرض

صفر وجود داشته و تفاوت	0.012	0.010	0.081	0.061	0.471	0.449	0.094	P3
------------------------	-------	-------	-------	-------	-------	-------	-------	----

معنادار نیست.

شواهد کافی برای تأیید فرض

صفر وجود نداشته و تفاوت	0.013	0.0070	0.088	0.045	0.468	0.447	0.029	Pz
-------------------------	-------	--------	-------	-------	-------	-------	-------	----

معنادار است.

شواهد کافی برای تأیید فرض

صفر وجود نداشته و تفاوت	0.010	0.0070	0.069	0.041	0.492	0.463	0.006	P4
-------------------------	-------	--------	-------	-------	-------	-------	-------	----

معنادار است.

شواهد کافی برای تأیید فرض

صفر وجود نداشته و تفاوت	0.010	0.0070	0.066	0.041	0.514	0.481	0.005	T6
-------------------------	-------	--------	-------	-------	-------	-------	-------	----

معنادار است.

شواهد کافی برای تأیید فرض

صفر وجود نداشته و تفاوت	0.011	0.0070	0.071	0.044	0.491	0.466	0.026	O1
-------------------------	-------	--------	-------	-------	-------	-------	-------	----

معنادار است.

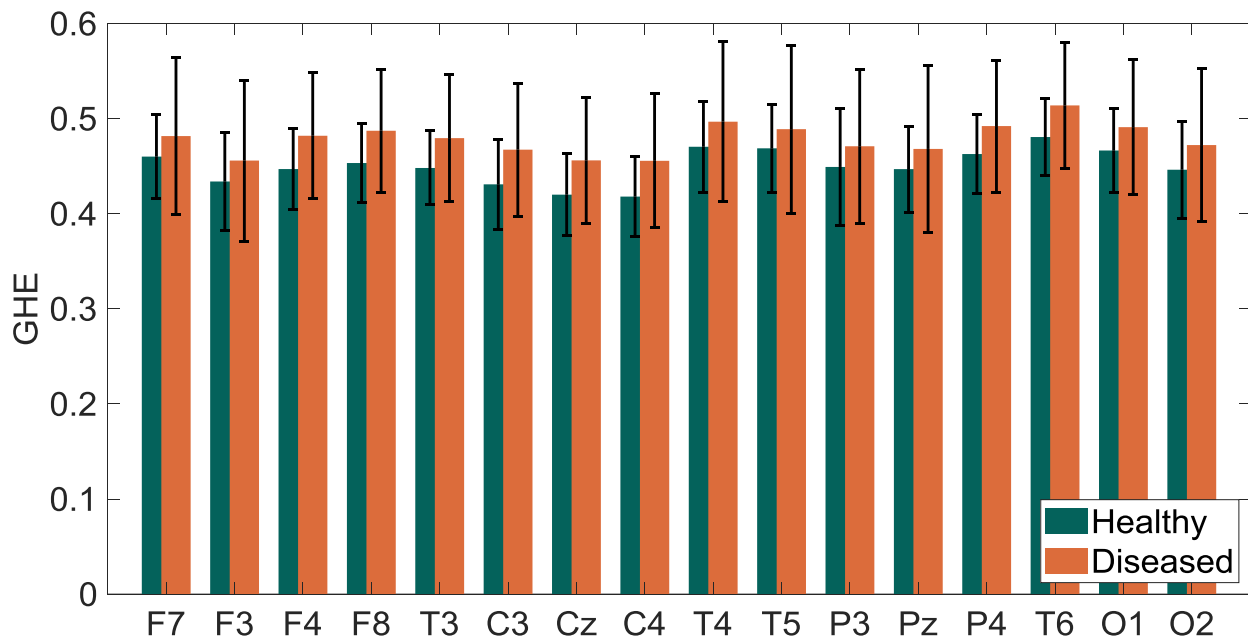
شواهد کافی برای تأیید فرض

صفر وجود نداشته و تفاوت	0.012	0.0080	0.081	0.051	0.472	0.446	0.030	O2
-------------------------	-------	--------	-------	-------	-------	-------	-------	----

معنادار است.

جدول فوق نشان می‌دهد که ویژگی نمای هرست تعیین‌یافته می‌تواند تفاوت معناداری در تمامی کانال‌ها

به جز کanal P3 ایجاد نماید. از سویی در کanal F3 نیز این تفاوت به صورت مرزی معنادار است. شایان ذکر است در جدول فوق تمامی مقادیر تا سه رقم اعشار بیان گشته است. شکل زیر خلاصه‌ای از جدول فوق را نشان می‌دهد.

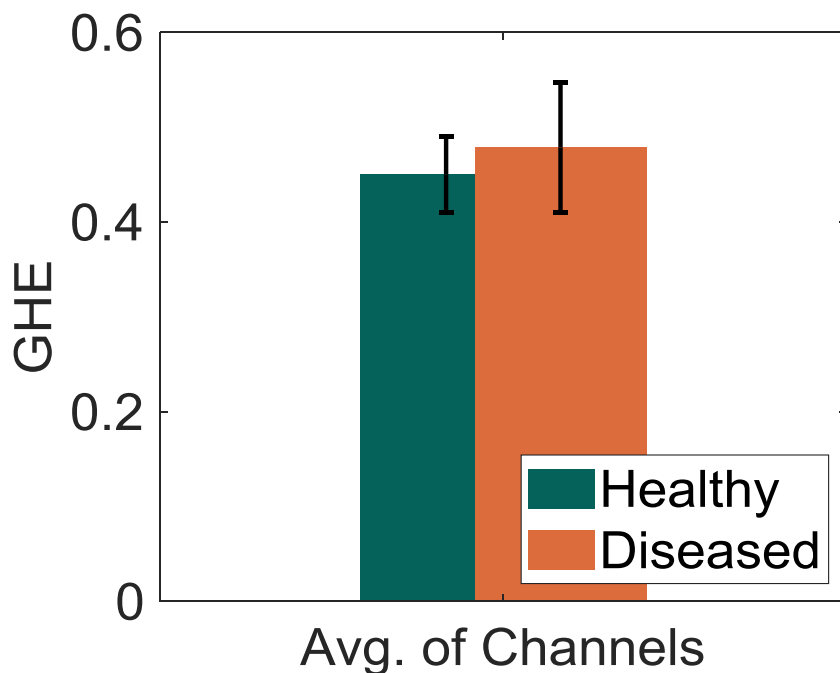


شکل (۴-۱۰) میانگین و انحراف معیار ویژگی نمای هرست تعییم‌یافته در ۱۶ کanal EEG برای دادگان افراد سالم و افراد مبتلا به بیماری شیزوفرنی

برخلاف دو معیار قبل، یعنی ویژگی‌های هیگوچی و کاتز، در این حالت شکل فوق نشان می‌دهد که در تمامی کanal‌ها متوسط مقدار نمای هرست تعییم‌یافته در افراد سالم کمتر از مقدار آن در افراد مبتلا به بیماری شیزوفرنی است. از این‌رو در این مورد نیز می‌توان نتیجه گرفت که بیماری شیزوفرنی سبب افزایش میزان پیچیدگی سیگنال EEG شده است. برای بررسی دقیق‌تر، بار دیگر میانگین مقادیر نمای هرست تعییم‌یافته محاسبه شده در تمام کanal برای هر دو گروه محاسبه شده و مورد آزمون قرار گرفته است. مانند قبل، نتایج آزمون آماری در این بررسی در جدول زیر بیان و خلاصه آن در شکل زیر نمایش داده شده است.

جدول (۶-۴) نتایج آزمون آماری ویلکاکسان رتبه حاصل جمع با سطح معناداری ۹۵٪ برای شاخص نمای هرسست تعییم‌یافته متوسط

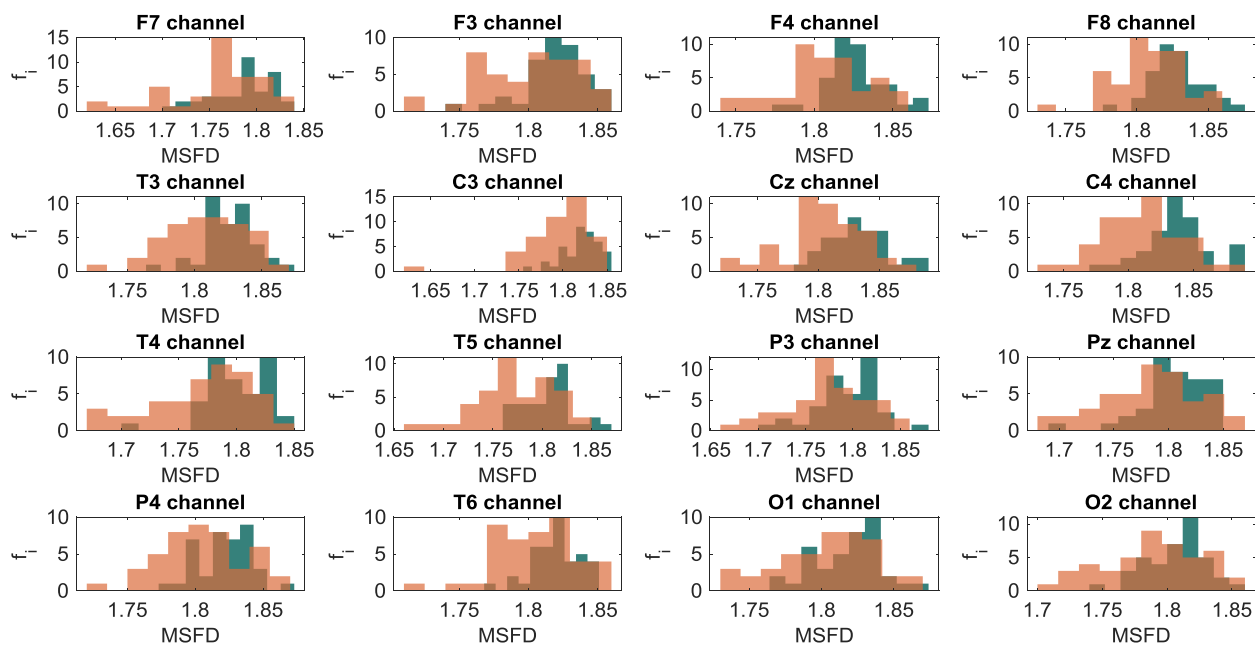
نتیجه آزمون	خطای معیار			انحراف معیار		میانگین	مقدار	کanal
	\bar{S}_2	\bar{S}_1	S_2	S_1	\bar{X}_2	\bar{X}_1		
شواهد کافی برای تأیید تفاوت معنادار است.	0.010	0.006	0.069	0.041	0.497	0.450	0.011	میانگین ۱۶ کanal



شکل (۱۱-۴) میانگین و انحراف معیار ویژگی نمای هرسست تعییم‌یافته متوسط در ۱۶ کanal EEG برای دادگان افراد سالم و افراد مبتلا به بیماری شیزوفرنی

در گام چهارم، همچون سایر حالات، با استفاده از روابط بیان شده در فصل گذشته، ویژگی بعد ماراگوس-سان برای هر کanal استخراج گشته است. هیستوگرام داده‌های نگاشته شده به فضای بعد ماراگوس-سان در شکل زیر نمایش داده شده است. بر اساس این شکل می‌توان دید که دادگان دارای توزیع نرمال نبوده و در نتیجه برای بررسی معناداری اختلاف ایجاد شده بین دو گروه بر اساس این ویژگی، مهم‌ترین شرط شرایط پارامتریک، یعنی نرمال بودن توزیع نمونه‌ها وجود نداشته و از این‌رو آزمون آماری ویلکاکسان رتبه حاصل

جمع استفاده گشته است.



شکل (۱۲-۴) هیستوگرام ویژگی بعد ماراگوس-سان استخراج شده از ۸۴ سیگنال EEG شامل ۳۹ سیگنال فرد سالم و ۴۵ سیگنال فرد مبتلا به بیماری شیزوفرنی برای ۱۶ کانال مجزا

در این حالت نیز نتایج آزمون آماری ویلکاکسان رتبه حاصل جمع (با فرض سطح معناداری ۰.۹۵٪ یا مقدار p کمتر از ۰.۰۵)، شامل مقدار p ، میانگین گروه سالم (\bar{X}_1) و بیمار (\bar{X}_2)، انحراف معیار گروه سالم گروه سالم (S_1) و بیمار (S_2) و خطای معیار گروه سالم (\bar{S}_1) و بیمار (\bar{S}_2) برای شاخص بعد ماراگوس-سان برای هر کانال در جدول زیر بیان گشته است.

در این آزمون نیز آمار فرض صفر یکسان بودن توزیع نمونه‌های نگاشته شده در فضای بعد ماراگوس-سان و فرض جانشین این است که نمونه‌ها متعلق به توزیع‌های متفاوتی هستند. در صورت، اگر شواهد کافی برای تأیید فرض صفر از شواهد یا داده نگاشته شده وجود نداشته باشد، آنگاه می‌توان گفت که ویژگی بعد ماراگوس-سان، می‌تواند به صورت معناداری میان سیگنال‌های افراد سالم و مبتلا به بیماری شیزوفرنی تمایز و تفاوت ایجاد کند.

جدول (۷-۴) نتایج آزمون آماری ویلکاکسان رتبه حاصل جمع با سطح معناداری ۹۵٪ برای شاخص بعد ماراگوس-سان در ۱۶ کانال

نتیجه آزمون	میانگین خطای معیار انحراف معیار						کanal	مقدار <i>p</i>
	\bar{S}_2	\bar{S}_1	S_2	S_1	\bar{X}_2	\bar{X}_1		
شواهد کافی برای تأیید فرض صفر وجود نداشته و تفاوت معنادار است.	0.007	0.005	0.050	0.034	1.760	1.784	0.023	F7
شواهد کافی برای تأیید فرض صفر وجود نداشته و تفاوت معنادار است.	0.005	0.004	0.034	0.022	1.799	1.819	0.007	F3
شواهد کافی برای تأیید فرض صفر وجود نداشته و تفاوت معنادار است.	0.004	0.003	0.027	0.019	1.806	1.827	< 0.001	F4
شواهد کافی برای تأیید فرض صفر وجود نداشته و تفاوت معنادار است.	0.004	0.003	0.024	0.018	1.809	1.827	0.001	F8
شواهد کافی برای تأیید فرض صفر وجود نداشته و تفاوت معنادار است.	0.004	0.003	0.030	0.019	1.807	1.826	0.001	T3
شواهد کافی برای تأیید فرض صفر وجود نداشته و تفاوت معنادار است.	0.005	0.003	0.036	0.021	1.797	1.821	< 0.001	C3
شواهد کافی برای تأیید فرض صفر وجود نداشته و تفاوت معنادار است.	0.005	0.004	0.032	0.023	1.803	1.832	< 0.001	Cz
شواهد کافی برای تأیید فرض صفر وجود نداشته و تفاوت معنادار است.	0.005	0.004	0.030	0.024	1.810	1.837	< 0.001	C4

معنادار است.

شواهد کافی برای تأیید فرض

صفر وجود نداشته و تفاوت	0.006	0.004	0.043	0.027	1.770	1.800	0.001	T4
-------------------------	-------	-------	-------	-------	-------	-------	-------	----

معنادار است.

شواهد کافی برای تأیید فرض

صفر وجود نداشته و تفاوت	0.006	0.004	0.040	0.025	1.775	1.806	< 0.001	T5
-------------------------	-------	-------	-------	-------	-------	-------	---------	----

معنادار است.

شواهد کافی برای تأیید فرض

صفر وجود داشته و تفاوت	0.007	0.005	0.044	0.033	1.773	1.793	0.020	P3
------------------------	-------	-------	-------	-------	-------	-------	-------	----

معنادار نیست.

شواهد کافی برای تأیید فرض

صفر وجود داشته و تفاوت	0.006	0.005	0.043	0.030	1.783	1.805	0.010	Pz
------------------------	-------	-------	-------	-------	-------	-------	-------	----

معنادار نیست.

شواهد کافی برای تأیید فرض

صفر وجود نداشته و تفاوت	0.005	0.003	0.030	0.019	1.805	1.822	0.008	P4
-------------------------	-------	-------	-------	-------	-------	-------	-------	----

معنادار است.

شواهد کافی برای تأیید فرض

صفر وجود نداشته و تفاوت	0.004	0.003	0.029	0.018	1.804	1.820	0.007	T6
-------------------------	-------	-------	-------	-------	-------	-------	-------	----

معنادار است.

شواهد کافی برای تأیید فرض

صفر وجود نداشته و تفاوت	0.005	0.003	0.031	0.021	1.803	1.819	0.033	O1
-------------------------	-------	-------	-------	-------	-------	-------	-------	----

معنادار است.

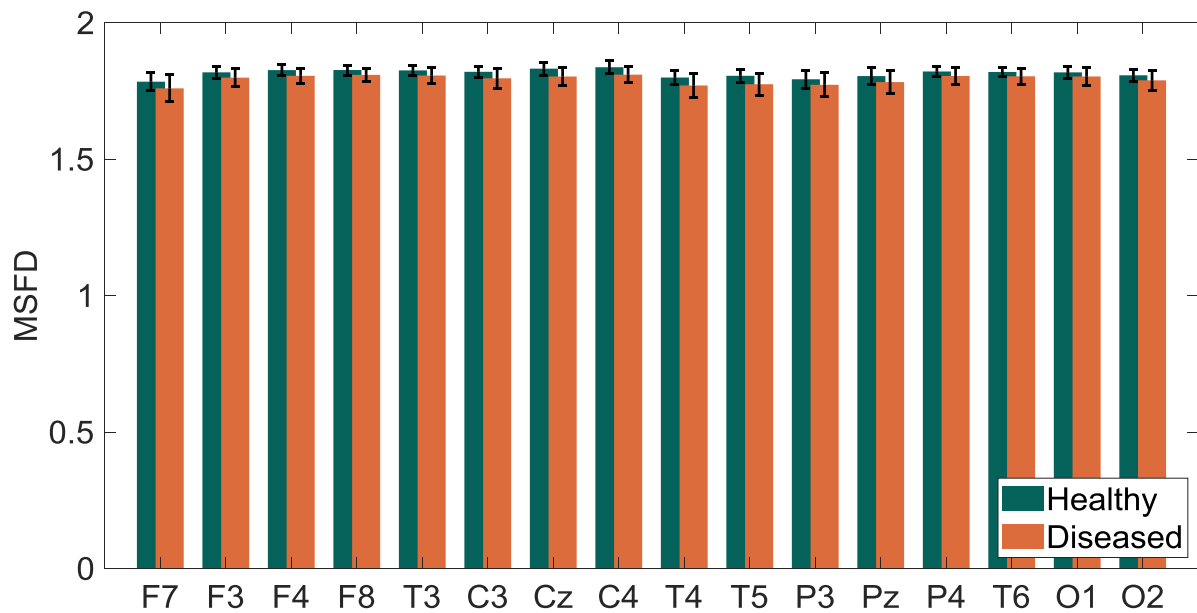
شواهد کافی برای تأیید فرض

صفر وجود داشته و تفاوت	0.006	0.004	0.037	0.022	1.789	1.808	0.024	O2
------------------------	-------	-------	-------	-------	-------	-------	-------	----

معنادار نیست.

جدول فوق نشان می‌دهد که ویژگی بعد ماراگوس-سان می‌تواند تفاوت معناداری در تمامی کانال‌ها ایجاد

نماید. شایان ذکر است در جدول فوق تمامی مقادیر تا سه رقم اعشار بیان گشته است. شکل زیر خلاصه‌ای از جدول فوق را نشان می‌دهد.



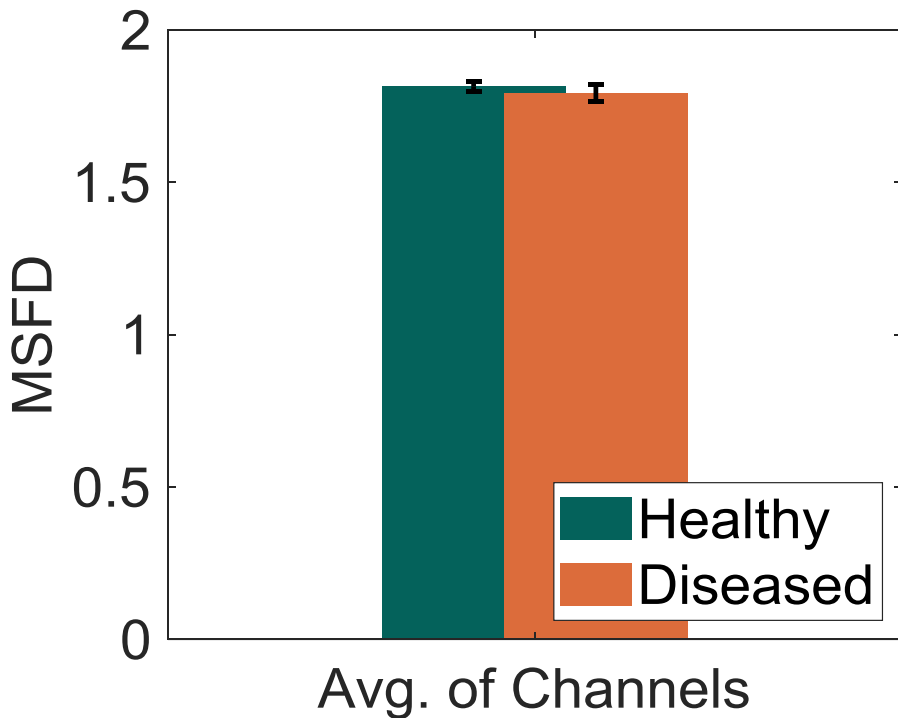
شکل (۱۳-۴) میانگین و انحراف معیار ویژگی بعد ماراگوس-سان در ۱۶ کanal EEG برای دادگان افراد سالم و افراد مبتلا به بیماری شیزوفرنی

مشابه ابعاد هیگوچی و کاتز، در این حالت نیز شکل فوق نشان می‌دهد که در تمامی کanal‌ها متوسط مقدار بعد ماراگوس-سان در افراد سالم اندکی بالاتر از مقدار آن در افراد مبتلا به بیماری شیزوفرنی است. از این‌رو در این حالت نیز می‌توان نتیجه گرفت که بیماری شیزوفرنی سبب کاهش میزان پیچیدگی سیگنال EEG می‌گردد. برای بررسی دقیق‌تر، بار دیگر میانگین مقادیر بعد ماراگوس-سان محاسبه شده در تمام کanal برای هر دو گروه محاسبه شده و مورد آزمون قرار گرفته است. مشابه قبل، نتایج آزمون آماری در این بررسی در جدول زیر بیان گشته و خلاصه آن نیز در شکل زیر نمایش داده شده است.

جدول (۴-۸) نتایج آزمون آماری ویلکاکسان رتبه حاصل جمع با سطح معناداری ۹۵٪ برای شاخص بعد ماراگوس-سان متوسط

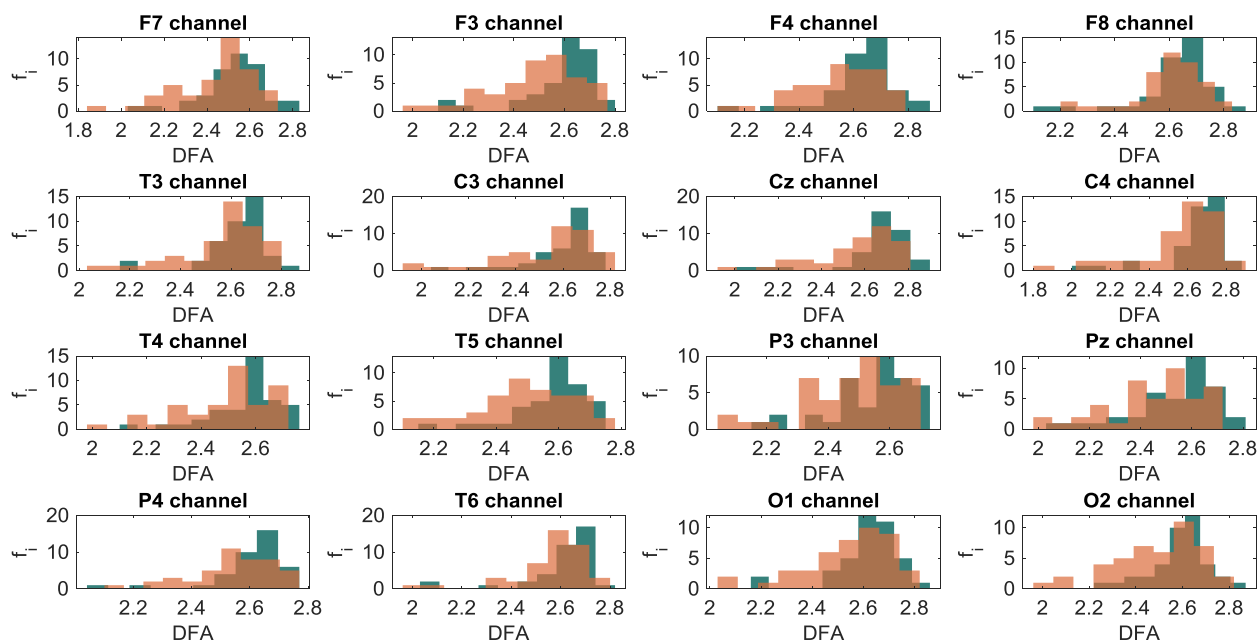
کanal	مقدار <i>p</i>	میانگین \bar{X}_1	میانگین \bar{X}_2	انحراف معیار		خطای معیار		نتیجه آزمون
				S_2	S_1	S_2	S_1	
میانگین	< 0.001	1.815	1.793	0.016	0.028	0.003	0.004	شواهد کافی برای تأیید

فرض صفر وجود نداشته
و تفاوت معنادار است.



شکل (۱۴-۴) میانگین و انحراف معیار ویژگی بعد ماراگوس-سان متوسط در ۱۶ کanal EEG برای دادگان افراد سالم و افراد مبتلا به بیماری شیزوفرنی

در گام پنجم، همچون دیگر موارد بیان شده، با استفاده از روابط ذکر شده در فصل گذشته، ویژگی بعد فراکتال به روش تحلیل نوسان‌های بدون تمایل برای هر کanal استخراج گشته است. هیستوگرام داده‌های نگاشته شده به فضای بعد روش تحلیل نوسان‌های بدون تمایل در شکل زیر نمایش داده شده است. بر اساس این شکل می‌توان دید که دادگان دارای توزیع نرمال نبوده و در نتیجه برای بررسی معناداری اختلاف ایجاد شده بین دو گروه بر اساس این ویژگی، مهم‌ترین شرط شرایط پارامتریک، یعنی نرمال بودن توزیع نمونه‌ها وجود نداشته و از این‌رو آزمون آماری ویلکاکسان رتبه حاصل جمع استفاده گشته است.



شکل (۱۵-۴) هیستوگرام ویژگی بعد روش تحلیل نوسان‌های بدون تمایل استخراج شده از ۸۴ سیگنال EEG شامل سیگنال فرد سالم و ۴۵ سیگنال فرد مبتلا به بیماری شیزوفرنی برای ۱۶ کانال مجرزا

در این حالت نیز نتایج آزمون آماری ویلکاکسان رتبه حاصل جمع (با فرض سطح معناداری ۹۵٪ یا مقدار p کمتر از ۰/۰۵)، شامل مقدار p ، میانگین گروه سالم (\bar{X}_1) و بیمار (\bar{X}_2)، انحراف معیار گروه سالم گروه سالم (S_1) و بیمار (S_2) و خطای معیار گروه سالم (\bar{S}_1) و بیمار (\bar{S}_2) برای شاخص بعد روش تحلیل نوسان‌های بدون تمایل برای هر کanal در جدول زیر بیان گشته است.

در این آزمون نیز آمار فرض صفر یکسان بودن توزیع نمونه‌های نگاشته شده در فضای بعد روش تحلیل نوسان‌های بدون تمایل و فرض جانشین این است که نمونه‌ها متعلق به توزیع‌های متفاوتی هستند. در صورت، اگر شواهد کافی برای تأیید فرض صفر از شواهد یا داده نگاشته شده وجود نداشته باشد، آنگاه می‌توان گفت که ویژگی بعد روش تحلیل نوسان‌های بدون تمایل، می‌تواند به صورت معناداری میان سیگنال‌های افراد سالم و مبتلا به بیماری شیزوفرنی تمایز و تفاوت ایجاد کند.

جدول (۹-۴) نتایج آزمون آماری ویلکاکسان رتبه حاصل جمع با سطح معناداری ۹۵٪ برای شاخص بعد فراکتال به روش تحلیل نوسان‌های بدون تمایل در ۱۶ کانال

نتیجه آزمون	خطای معیار		انحراف معیار		میانگین		مقدار کanal	<i>p</i>		
	\bar{S}_2	\bar{S}_1	S_2	S_1	\bar{X}_2	\bar{X}_1				
شواهد کافی برای تأیید فرض صفر وجود نداشته و تفاوت معنادار است.			0.028	0.024	0.184	0.149	2.434	2.524	0.027	F7
شواهد کافی برای تأیید فرض صفر وجود نداشته و تفاوت معنادار است.			0.026	0.024	0.177	0.152	2.489	2.584	0.003	F3
شواهد کافی برای تأیید فرض صفر وجود نداشته و تفاوت معنادار است.			0.021	0.022	0.140	0.135	2.549	2.629	0.004	F4
شواهد کافی برای تأیید فرض صفر وجود داشته و تفاوت معنادار نیست.			0.019	0.022	0.130	0.139	2.599	2.625	0.127	F8
شواهد کافی برای تأیید فرض صفر وجود داشته و تفاوت معنادار نیست.			0.025	0.021	0.168	0.131	2.566	2.625	0.067	T3
شواهد کافی برای تأیید فرض صفر وجود داشته و تفاوت معنادار نیست.			0.031	0.024	0.211	0.149	2.527	2.592	0.162	C3
شواهد کافی برای تأیید فرض صفر وجود نداشته و تفاوت معنادار است.			0.028	0.026	0.187	0.164	2.562	2.657	0.004	Cz
شواهد کافی برای تأیید فرض صفر وجود نداشته و تفاوت معنادار است.			0.032	0.028	0.215	0.173	2.560	2.645	0.022	C4

معنادار است.

شواهد کافی برای تأیید فرض

صفر وجود نداشته و تفاوت	0.025	0.021	0.166	0.131	2.488	2.564	0.030	T4
-------------------------	-------	-------	-------	-------	-------	-------	-------	----

معنادار است.

شواهد کافی برای تأیید فرض

صفر وجود نداشته و تفاوت	0.024	0.019	0.159	0.121	2.488	2.581	0.003	T5
-------------------------	-------	-------	-------	-------	-------	-------	-------	----

معنادار است.

شواهد کافی برای تأیید فرض

صفر وجود داشته و تفاوت	0.023	0.022	0.153	0.139	2.469	2.546	0.010	P3
------------------------	-------	-------	-------	-------	-------	-------	-------	----

معنادار نیست.

شواهد کافی برای تأیید فرض

صفر وجود داشته و تفاوت	0.027	0.026	0.180	0.164	2.455	2.538	0.026	Pz
------------------------	-------	-------	-------	-------	-------	-------	-------	----

معنادار نیست.

شواهد کافی برای تأیید فرض

صفر وجود نداشته و تفاوت	0.021	0.021	0.139	0.130	2.547	2.609	0.014	P4
-------------------------	-------	-------	-------	-------	-------	-------	-------	----

معنادار است.

شواهد کافی برای تأیید فرض

صفر وجود نداشته و تفاوت	0.023	0.025	0.152	0.158	2.566	2.612	0.034	T6
-------------------------	-------	-------	-------	-------	-------	-------	-------	----

معنادار است.

شواهد کافی برای تأیید فرض

صفر وجود نداشته و تفاوت	0.024	0.020	0.164	0.123	2.547	2.613	0.038	O1
-------------------------	-------	-------	-------	-------	-------	-------	-------	----

معنادار است.

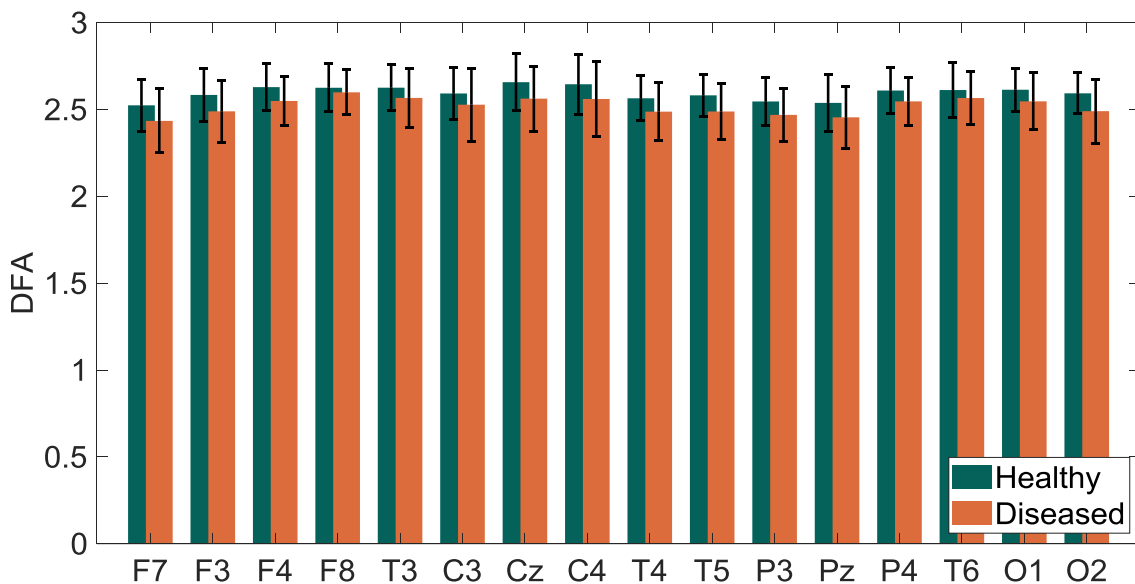
شواهد کافی برای تأیید فرض

صفر وجود داشته و تفاوت	0.027	0.019	0.183	0.117	2.490	2.593	0.008	O2
------------------------	-------	-------	-------	-------	-------	-------	-------	----

معنادار نیست.

جدول فوق نشان می‌دهد که ویژگی بعد روش تحلیل نوسان‌های بدون تمایل می‌تواند تفاوت معناداری در

تمامی کانال‌ها به جز کانال‌های F8، T3 و C3 ایجاد نماید. شایان ذکر است در جدول فوق تمامی مقادیر تا سه رقم اعشار بیان گشته است. شکل زیر خلاصه‌ای از جدول فوق را نشان می‌دهد.



شکل (۱۶-۴) میانگین و انحراف معیار ویژگی بعد روش تحلیل نوسان‌های بدون تمایل در ۱۶ کانال EEG برای دادگان افراد سالم و افراد مبتلا به بیماری شیزوفرنی

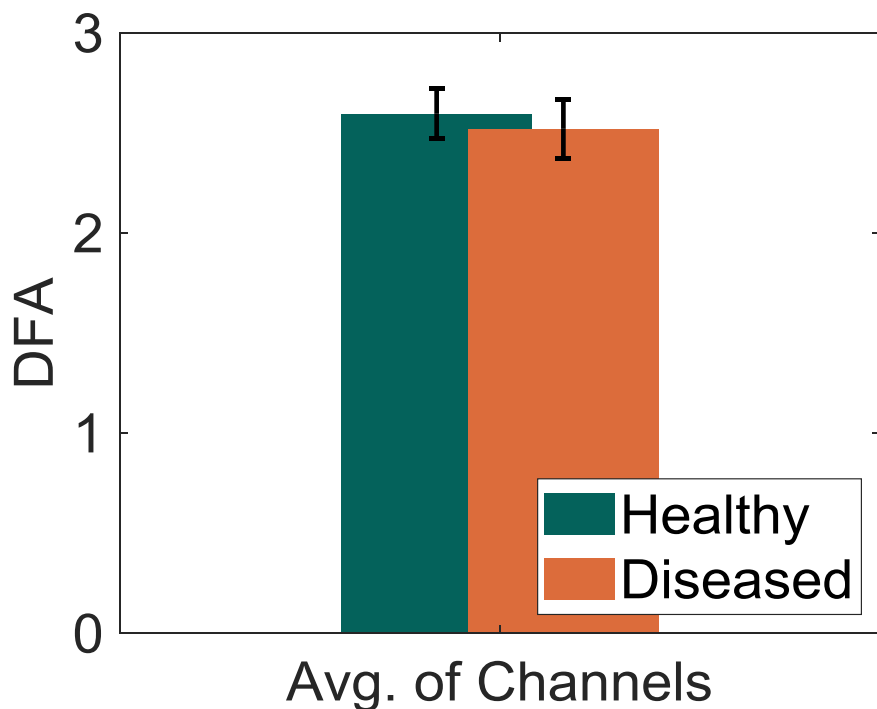
مشابه ابعاد هیگوچی و کاتز و ماراگوس-سان، در این حالت نیز شکل فوق نشان می‌دهد که در تمامی کانال‌ها متوسط مقدار بعد روش تحلیل نوسان‌های بدون تمایل در افراد سالم اندکی بالاتر از مقدار آن در افراد مبتلا به بیماری شیزوفرنی است. از این‌رو در این حالت نیز می‌توان نتیجه گرفت که بیماری شیزوفرنی سبب کاهش میزان پیچیدگی سیگنال EEG می‌گردد. برای بررسی دقیق‌تر، باز دیگر میانگین مقادیر بعد روش تحلیل نوسان‌های بدون تمایل محاسبه شده در تمام کانال برای هر دو گروه محاسبه شده و مورد آزمون قرار گرفته است. مشابه قبل، نتایج آزمون آماری در این بررسی در جدول زیر بیان گشته و خلاصه آن نیز در شکل زیر نمایش داده شده است.

جدول (۱۰-۴) نتایج آزمون آماری ویلکاکسان رتبه حاصل جمع با سطح معناداری ۹۵٪ برای شاخص بعد فراکتال به روش تحلیل نوسان‌های بدون تمایل متوسط

کانال	مقدار	p	میانگین	انحراف معیار	خطای معیار	نتیجه آزمون		
			\bar{X}_2	\bar{X}_1	S_2	S_1	\bar{S}_2	\bar{S}_1
میانگین ۱۶	2.596	0.004	2.521	0.124	0.149	0.020	0.022	شواهد کافی برای تأیید فرض صفر

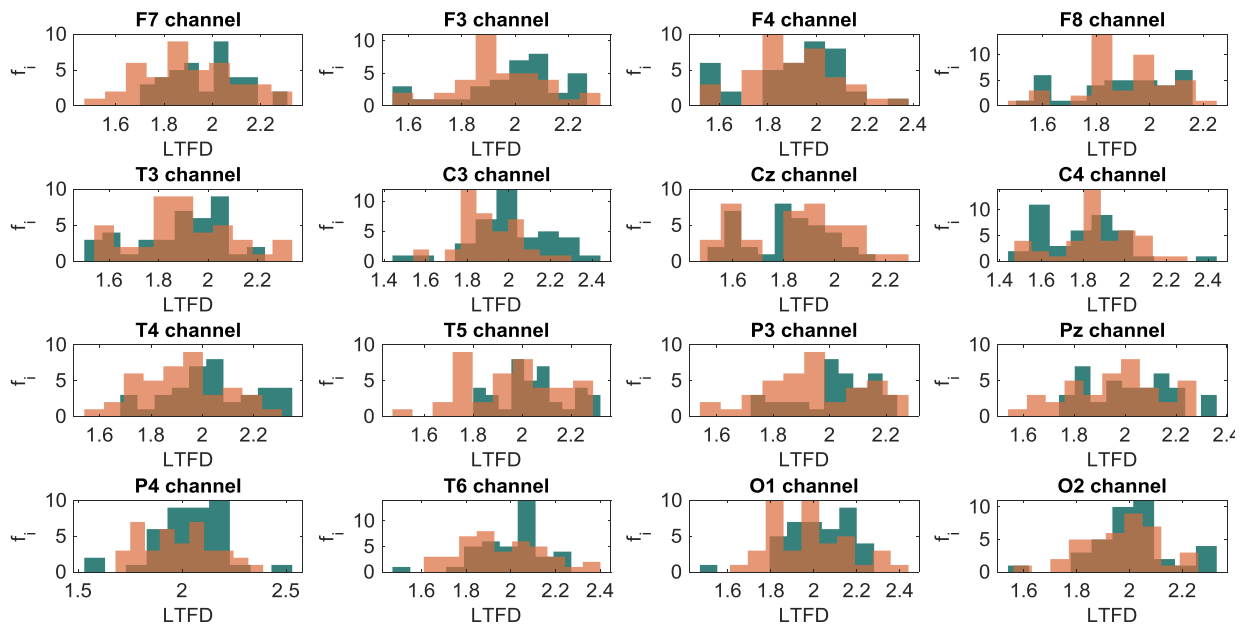
وجود نداشته و تفاوت معنادار است.

کanal



شکل (۱۷-۴) میانگین و انحراف معیار ویژگی بعد روش تحلیل نوسان‌های بدون تمایل متوسط در ۱۶ کanal EEG برای دادگان افراد سالم و افراد مبتلا به بیماری شیزوفرنی

در گام ششم، همچون سایر حالات، با استفاده از روابط بیان شده در فصل گذشته، ویژگی بعد لیبوویچ-توث برای هر کanal استخراج گشته است. هیستوگرام داده‌های نگاشته شده به فضای بعد لیبوویچ-توث در شکل زیر نمایش داده شده است. بر اساس این شکل می‌توان دید که دادگان دارای توزیع نرمال نبوده و در نتیجه برای بررسی معناداری اختلاف ایجاد شده بین دو گروه بر اساس این ویژگی، مهم‌ترین شرط شرایط پارامتریک، یعنی نرمال بودن توزیع نمونه‌ها وجود نداشته و از این‌رو آزمون آماری ویلکاکسان رتبه حاصل جمع استفاده گشته است.



شکل (۱۸-۴) هیستوگرام ویژگی بعد لیبوویچ-توث استخراج شده از ۸۴ سیگنال EEG شامل ۳۹ سیگنال فرد سالم و ۴۵ سیگنال فرد مبتلا به بیماری شیزووفرنی برای ۱۶ کanal مجزا

در این حالت نیز نتایج آزمون آماری ویلکاکسان رتبه حاصل جمع (با فرض سطح معناداری ۹۵٪ یا مقدار p کمتر از ۰/۰۵)، شامل مقدار p ، میانگین گروه سالم (\bar{X}_1) و بیمار (\bar{X}_2)، انحراف معیار گروه سالم گروه سالم (S_1) و بیمار (S_2) و خطای معیار گروه سالم (\bar{S}_1) و بیمار (\bar{S}_2) برای شاخص بعد لیبوویچ-توث برای هر کanal در جدول زیر بیان گشته است.

در این آزمون نیز آمار فرض صفر یکسان بودن توزیع نمونه‌های نگاشته شده در فضای بعد لیبوویچ-توث و فرض جانشین این است که نمونه‌ها متعلق به توزیع‌های متفاوتی هستند. در صورت، اگر شواهد کافی برای تأیید فرض صفر از شواهد یا داده نگاشته شده وجود نداشته باشد، آنگاه می‌توان گفت که ویژگی بعد لیبوویچ-توث، می‌تواند به صورت معناداری میان سیگنال‌های افراد سالم و مبتلا به بیماری شیزووفرنی تمایز و تفاوت ایجاد کند.

جدول (۱۱-۴) نتایج آزمون آماری ویلکاکسان رتبه حاصل جمع با سطح معناداری ۹۵٪ برای شاخص بعد لیبوویچ-توث در ۱۶ کانال

نتیجه آزمون	خطای معیار		انحراف معیار		میانگین		مقدار کanal	<i>p</i>
	\bar{S}_2	\bar{S}_1	S_2	S_1	\bar{X}_2	\bar{X}_1		
شواهد کافی برای تأیید فرض معنادار نیست.	صفر وجود داشته و تفاوت.	0.029	0.023	0.195	0.147	1.910	1.974	0.078 F7
شواهد کافی برای تأیید فرض معنادار نیست.	صفر وجود داشته و تفاوت.	0.025	0.031	0.166	0.191	1.937	1.990	0.081 F3
شواهد کافی برای تأیید فرض معنادار نیست.	صفر وجود داشته و تفاوت.	0.026	0.031	0.177	0.195	1.914	1.910	0.590 F4
شواهد کافی برای تأیید فرض معنادار نیست.	صفر وجود داشته و تفاوت.	0.024	0.030	0.161	0.188	1.903	1.894	0.926 F8
شواهد کافی برای تأیید فرض معنادار نیست.	صفر وجود داشته و تفاوت.	0.029	0.029	0.197	0.184	1.902	1.886	0.900 T3
شواهد کافی برای تأیید فرض معنادار است.	صفر وجود نداشته و تفاوت.	0.022	0.030	0.149	0.187	1.902	2.013	0.003 C3
شواهد کافی برای تأیید فرض معنادار نیست.	صفر وجود داشته و تفاوت.	0.031	0.026	0.208	0.164	1.844	1.811	0.315 Cz
شواهد کافی برای تأیید فرض معنادار نیست.	صفر وجود داشته و تفاوت.	0.029	0.031	0.191	0.195	1.870	1.791	0.116 C4

معنادار نیست.

شواهد کافی برای تأیید فرض

صفر وجود نداشته و تفاوت	0.024	0.027	0.164	0.171	1.918	2.034	0.003	T4
-------------------------	-------	-------	-------	-------	-------	-------	-------	----

معنادار است.

شواهد کافی برای تأیید فرض

صفر وجود نداشته و تفاوت	0.028	0.023	0.191	0.141	1.953	2.049	0.021	T5
-------------------------	-------	-------	-------	-------	-------	-------	-------	----

معنادار است.

شواهد کافی برای تأیید فرض

صفر وجود داشته و تفاوت	0.027	0.022	0.180	0.136	1.950	2.022	0.061	P3
------------------------	-------	-------	-------	-------	-------	-------	-------	----

معنادار نیست.

شواهد کافی برای تأیید فرض

صفر وجود داشته و تفاوت	0.028	0.026	0.186	0.164	1.955	2.023	0.155	Pz
------------------------	-------	-------	-------	-------	-------	-------	-------	----

معنادار نیست.

شواهد کافی برای تأیید فرض

صفر وجود داشته و تفاوت	0.026	0.027	0.178	0.170	1.982	2.043	0.074	P4
------------------------	-------	-------	-------	-------	-------	-------	-------	----

معنادار نیست.

شواهد کافی برای تأیید فرض

صفر وجود داشته و تفاوت	0.028	0.024	0.186	0.149	1.960	2.002	0.139	T6
------------------------	-------	-------	-------	-------	-------	-------	-------	----

معنادار نیست.

شواهد کافی برای تأیید فرض

صفر وجود داشته و تفاوت	0.027	0.025	0.184	0.155	1.981	2.022	0.124	O1
------------------------	-------	-------	-------	-------	-------	-------	-------	----

معنادار نیست.

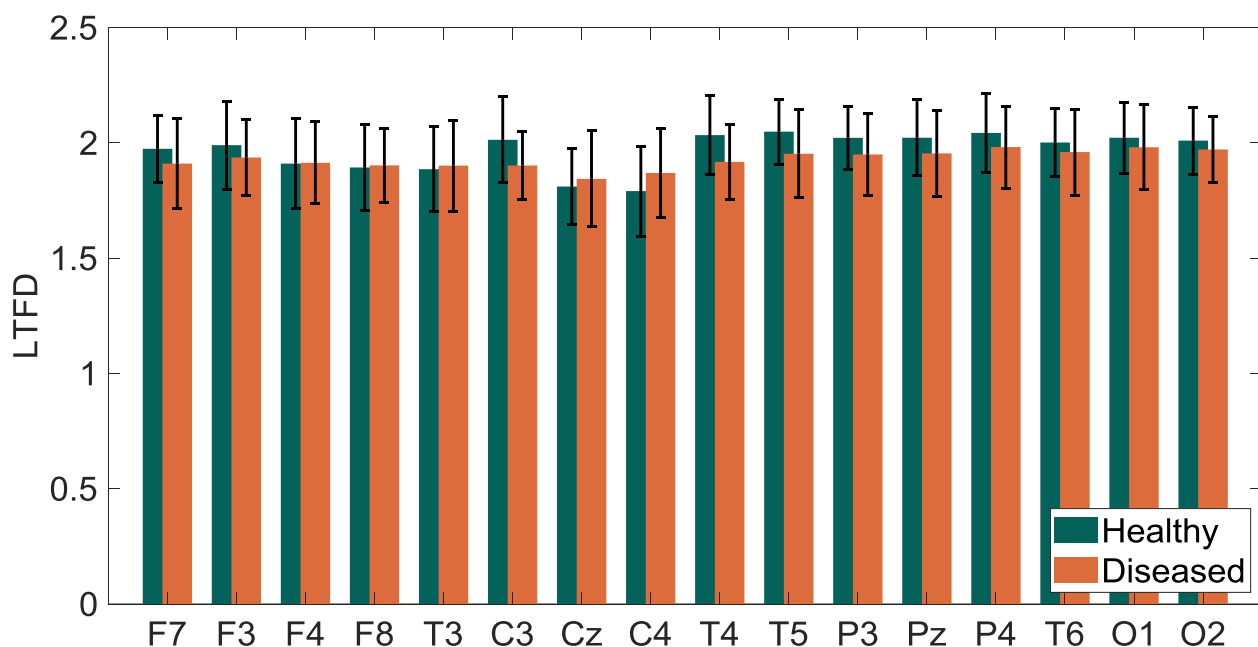
شواهد کافی برای تأیید فرض

صفر وجود داشته و تفاوت	0.021	0.023	0.143	0.146	1.972	2.010	0.275	O2
------------------------	-------	-------	-------	-------	-------	-------	-------	----

معنادار نیست.

جدول فوق نشان می‌دهد که ویژگی بعد لیبوویچ-توث تنها در سه کanal C3، T4 و T5 تفاوت معنادار ایجاد

نموده است. شایان ذکر است در جدول فوق تمامی مقادیر تا سه رقم اعشار بیان گشته است. شکل زیر خلاصه‌ای از جدول فوق را نشان می‌دهد.

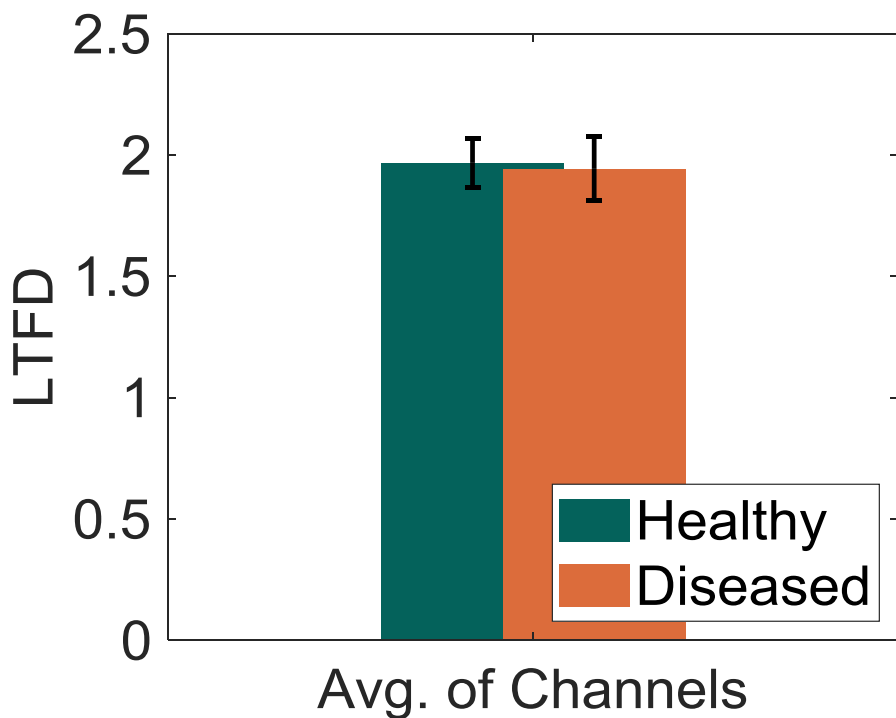


شکل (۱۹-۴) میانگین و انحراف معیار ویژگی بعد لیبوویچ-توث در ۱۶ کanal EEG برای دادگان افراد سالم و افراد مبتلا به بیماری شیزوفرنی

برخلاف سایر روش‌هایی که تا کنون مطرح و بررسی شد، در این حالت شکل فوق نشان می‌دهد که در بیشتر کanal‌ها به جز کanal‌های F4، F8، T3، Cz و C4، متوسط مقدار بعد لیبوویچ-توث در افراد سالم بالاتر از مقدار آن در افراد مبتلا به بیماری شیزوفرنی است. از این‌رو در این حالت نیز می‌توان نتیجه گرفت که بیماری شیزوفرنی سبب کاهش میزان پیچیدگی سیگنال EEG به جز در کanal‌های F4، F8، T3 و C4 و Cz، T4، T5، P3، P4، T6، O1 و O2 است. کاهش پیچیدگی سیگنال شده است، می‌گردد. برای بررسی دقیق‌تر، بار دیگر میانگین مقادیر بعد لیبوویچ-توث محاسبه شده در تمام کanal برای هر دو گروه محاسبه شده و مورد آزمون قرار گرفته است. مشابه قبل، نتایج آزمون آماری در این بررسی در جدول زیر بیان گشته و خلاصه آن نیز در شکل زیر نمایش داده شده است.

جدول (۱۲-۴) نتایج آزمون آماری ویلکاکسان رتبه حاصل جمع با سطح معناداری ۹۵٪ برای شاخص بعد لیبوویچ-توث متوسط

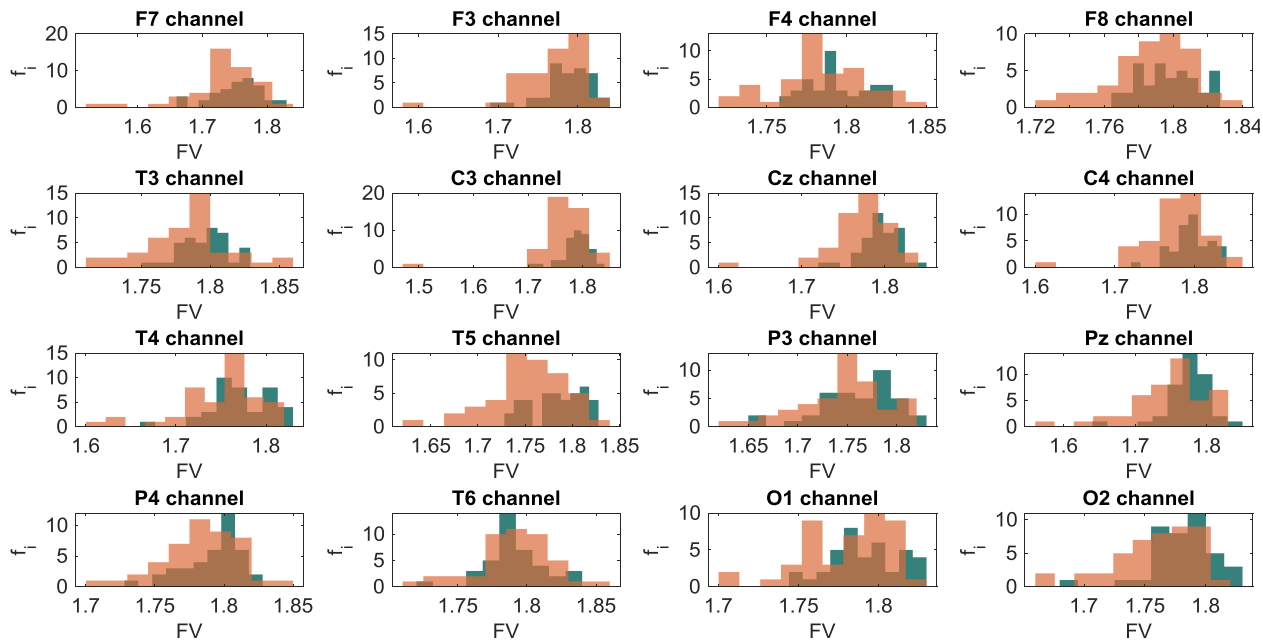
نتیجه آزمون	خطای معیار		انحراف معیار		میانگین		مقدار کanal	<i>p</i>	کanal میانگین ۱۶
	\bar{S}_2	\bar{S}_1	S_2	S_1	\bar{X}_2	\bar{X}_1			
شواهد کافی برای تأیید تفاوت معنادار نیست.			0.020	0.016	0.132	0.100	1.944	1.968	0.229



شکل (۲۰-۴) میانگین و انحراف معیار ویژگی بعد لیبوویچ-توث متوسط در ۱۶ کanal EEG برای دادگان افراد سالم و افراد مبتلا به بیماری شیزوفرنی

در گام هفتم، همچون حالات مطرح شده، با استفاده از روابط بیان شده در فصل گذشته، ویژگی نوسانات فراكتالی برای هر کanal استخراج گشته است. هیستوگرام داده‌های نگاشته شده به فضای نوسانات فراكتالی در شکل زیر نمایش داده شده است. بر اساس این شکل می‌توان دید که دادگان دارای توزیع نرمال نبوده و در نتیجه برای بررسی معناداری اختلاف ایجاد شده بین دو گروه بر اساس این ویژگی، مهم‌ترین شرط شرایط

پارامتریک، یعنی نرمال بودن توزیع نمونه‌ها وجود نداشته و از این‌رو آزمون آماری ویلکاکسان رتبه حاصل جمع استفاده گشته است.



شکل (۲۱-۴) هیستوگرام ویژگی نوسانات فرکتالی استخراج شده از ۸۴ سیگنال EEG شامل ۳۹ سیگنال فرد سالم و ۴۵ سیگنال فرد مبتلا به بیماری شیزوفرنی برای ۱۶ کانال مجزا

در این حالت نیز نتایج آزمون آماری ویلکاکسان رتبه حاصل جمع (با فرض سطح معناداری ۰.۹۵٪ یا مقدار p کمتر از ۰.۰۵)، شامل مقدار p ، میانگین گروه سالم (\bar{X}_1) و بیمار (\bar{X}_2)، انحراف معیار گروه سالم گروه سالم (S_1) و بیمار (S_2) و خطای معیار گروه سالم (\bar{S}_1) و بیمار (\bar{S}_2) برای شاخص نوسانات فرکتالی برای هر کانال در جدول زیر بیان گشته است.

در این آزمون نیز آمار فرض صفر یکسان بودن توزیع نمونه‌های نگاشته شده در فضای نوسانات فرکتالی و فرض جانشین این است که نمونه‌ها متعلق به توزیع‌های متفاوتی هستند. در صورت، اگر شواهد کافی برای تأیید فرض صفر از شواهد یا داده نگاشته شده وجود نداشته باشد، آنگاه می‌توان گفت که ویژگی نوسانات فرکتالی، می‌تواند به صورت معناداری میان سیگنال‌های افراد سالم و مبتلا به بیماری شیزوفرنی تمایز و تفاوت ایجاد کند.

جدول (۱۳-۴) نتایج آزمون آماری ویلکاکسان رتبه حاصل جمع با سطح معناداری ۹۵٪ برای شاخص نوسانات فرکتالی در ۱۶ کانال

نتیجه آزمون	خطای معیار		انحراف معیار		میانگین		کanal	مقدار <i>p</i>
	\bar{S}_2	\bar{S}_1	S_2	S_1	\bar{X}_2	\bar{X}_1		
شواهد کافی برای تأیید فرض معنادار نیست.	صفر وجود داشته و تفاوت.	0.008	0.006	0.055	0.039	1.733	1.753	0.125 F7
شواهد کافی برای تأیید فرض معنادار است.	صفر وجود نداشته و تفاوت.	0.006	0.005	0.041	0.030	1.768	1.787	0.018 F3
شواهد کافی برای تأیید فرض معنادار است.	صفر وجود نداشته و تفاوت.	0.004	0.003	0.028	0.019	1.783	1.794	0.042 F4
شواهد کافی برای تأیید فرض معنادار نیست.	صفر وجود داشته و تفاوت.	0.003	0.003	0.023	0.017	1.787	1.797	0.070 F8
شواهد کافی برای تأیید فرض معنادار است.	صفر وجود نداشته و تفاوت.	0.004	0.003	0.030	0.017	1.783	1.796	0.008 T3
شواهد کافی برای تأیید فرض معنادار است.	صفر وجود نداشته و تفاوت.	0.008	0.004	0.053	0.026	1.767	1.787	0.011 C3
شواهد کافی برای تأیید فرض معنادار است.	صفر وجود نداشته و تفاوت.	0.005	0.004	0.037	0.023	1.771	1.794	< 0.001 Cz
شواهد کافی برای تأیید فرض صفر وجود نداشته و تفاوت.	0.006	0.004	0.040	0.024	1.777	1.796	0.006 C4	

معنادار است.

شواهد کافی برای تأیید فرض

صفر وجود نداشته و تفاوت	0.007	0.005	0.044	0.031	1.748	1.773	0.007	T4
-------------------------	-------	-------	-------	-------	-------	-------	-------	----

معنادار است.

شواهد کافی برای تأیید فرض

صفر وجود نداشته و تفاوت	0.006	0.004	0.040	0.028	1.752	1.784	< 0.001	T5
-------------------------	-------	-------	-------	-------	-------	-------	---------	----

معنادار است.

شواهد کافی برای تأیید فرض

صفر وجود نداشته و تفاوت	0.006	0.006	0.043	0.039	1.745	1.762	0.041	P3
-------------------------	-------	-------	-------	-------	-------	-------	-------	----

معنادار است.

شواهد کافی برای تأیید فرض

صفر وجود نداشته و تفاوت	0.008	0.005	0.054	0.033	1.748	1.775	0.005	Pz
-------------------------	-------	-------	-------	-------	-------	-------	-------	----

معنادار است.

شواهد کافی برای تأیید فرض

صفر وجود داشته و تفاوت	0.004	0.003	0.027	0.021	1.783	1.792	0.085	P4
------------------------	-------	-------	-------	-------	-------	-------	-------	----

معنادار نیست.

شواهد کافی برای تأیید فرض

صفر وجود داشته و تفاوت	0.004	0.003	0.027	0.021	1.791	1.792	0.830	T6
------------------------	-------	-------	-------	-------	-------	-------	-------	----

معنادار نیست.

شواهد کافی برای تأیید فرض

صفر وجود داشته و تفاوت	0.004	0.003	0.028	0.021	1.780	1.792	0.094	O1
------------------------	-------	-------	-------	-------	-------	-------	-------	----

معنادار نیست.

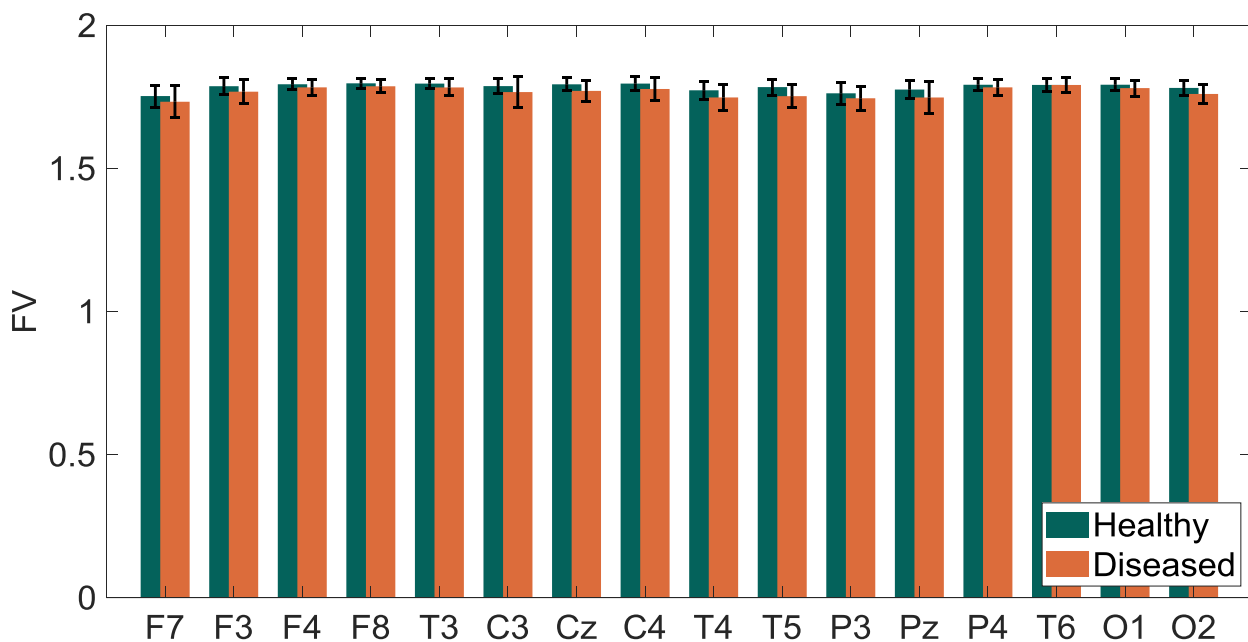
شواهد کافی برای تأیید فرض

صفر وجود داشته و تفاوت	0.005	0.004	0.034	0.025	1.760	1.781	0.003	O2
------------------------	-------	-------	-------	-------	-------	-------	-------	----

معنادار است.

جدول فوق نشان می‌دهد که ویژگی نوسانات فرکتالی می‌تواند تفاوت معناداری در تمامی کانال‌ها به جز

کanal‌های F7، F8، P4، T6 و O1 ایجاد نماید. شایان ذکر است در جدول فوق تمامی مقادیر تا سه رقم اعشار بیان گشته است. شکل زیر خلاصه‌ای از جدول فوق را نشان می‌دهد.

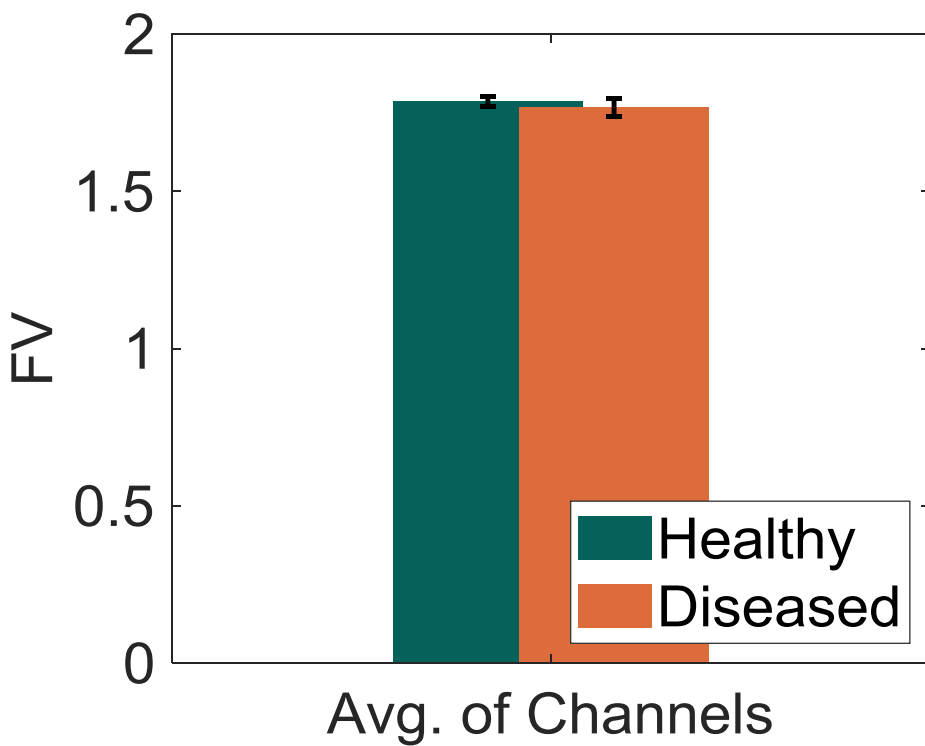


شکل (۲۲-۴) میانگین و انحراف معیار ویژگی نوسانات فراکتالی در ۱۶ کanal EEG برای دادگان افراد سالم و افراد مبتلا به بیماری شیزوفرنی

مشابه ابعاد هیگوچی و کاتز، ماراگوس-سان و روش تحلیل نوسان‌های بدون تمایل، در این حالت نیز شکل فوق نشان می‌دهد که در تمامی کanal‌ها متوسط مقدار نوسانات فراکتالی در افراد سالم اندکی بالاتر از مقدار آن در افراد مبتلا به بیماری شیزوفرنی است. از این‌رو در این مورد نیز می‌توان نتیجه گرفت که بیماری شیزوفرنی سبب کاهش میزان پیچیدگی سیگنال EEG می‌گردد. برای بررسی دقیق‌تر، بار دیگر میانگین مقادیر نوسانات فراکتالی محاسبه شده در تمام کanal برای هر دو گروه محاسبه شده و مورد آزمون قرار گرفته است. مشابه قبل، نتایج آزمون آماری در این بررسی در جدول زیر بیان گشته و خلاصه آن نیز در شکل زیر نمایش داده شده است.

جدول (۱۴-۴) نتایج آزمون آماری ویلکاکسان رتبه حاصل جمع با سطح معناداری ۹۵٪ برای شاخص نوسانات فرکتالی متوسط

نتیجه آزمون	خطای معیار		انحراف معیار		میانگین		مقدار کanal	<i>p</i>	کanal میانگین ۱۶ کanal
	\bar{S}_2	\bar{S}_1	S_2	S_1	\bar{X}_2	\bar{X}_1			
شواهد کافی برای تأیید تفاوت معنادار است.	0.004	0.003	0.028	0.016	1.767	1.785	0.001		



شکل (۲۳-۴) میانگین و انحراف معیار ویژگی نوسانات فرکتالی متوسط در ۱۶ کanal EEG برای دادگان افراد سالم و افراد مبتلا به بیماری شیزوفرنی

۴-۴- جمع‌بندی

در این بخش، نتایج اجرای الگوریتم‌های بیان شده در فصل گذشته و نیز آزمون آماری مناسب مسئله به همراه شکل‌ها و جداول بیان گشته است. نتایج بیان شده نشان از آن دارد که در پنج ویژگی فرکتال

بررسی شده، یعنی ابعاد هیگوچی، کاتز، ماراگوس-سان، روش تحلیل نوسان‌های بدون تمایل و نوسانات فرکتالی، بیماری شیزوفرنی سبب کاهش پیچیدگی سیگنال در تمامی ۱۶ کanal گشته است. این در حالی است که نمای هrst تعمیم‌یافته افزایش پیچیدگی را در سیگنال افراد مبتلا به بیماری شیزوفرنی نسبت به سیگنال افراد سالم نشان می‌دهد. الگوریتم لیبوویچ-توث نیز در بیشتر کanal‌ها کاهش پیچیدگی و در کanal‌های F4، T3، F8، Cz و C4 افزایش پیچیدگی را نشان داده است. بررسی مقادیر متوسط شاخص در کanal‌ها تنها در ویژگی لیبوویچ-توث تفاوت معناداری را نشان نداده است اما در شش ویژگی دیگر این تفاوت معنادار گزارش شده است. شایان ذکر است که در تمام حالات مورد بررسی، به دلیل عدم برقراری شرایط پارامتریک، از آزمون آماری ویلکاکسان رتبه حاصل جمع با سطح معناداری ۹۵٪ استفاده شده است.

فصل ۵:

جمع‌بندی و پیشنهادها

۱-۵ - مقدمه

بیماری شیزوفرنی یک بیماری روانی است که به دلایل نقض در سیستم عصبی ایجاد می‌گردد. به همین دلیل، سیگنال EEG که ثبت فعالیت الکتریک مغزی است، از کاندیدهای مهم برای تشخیص بیماری‌های عصبی و مغزی، از جمله بیماری شیزوفرنی است. از این‌رو تحقیقات متعددی بر روی تشخیص این بیماری با استفاده از سیگنال EEG صورت گرفته است. در نتیجه این تحقیقات، روش‌های مختلف و الگوریتم‌هایی گوناگونی معرفی و بکار گرفته شده است. برخی از این الگوریتم‌های ارایه شده ممکن است زمان‌بر باشد. از سویی دیگر انتخاب ویژگی‌های زمانی، فرکانسی و یا زمان-فرکانسی که مبتنی بر ویژگی‌های کمی سیگنال است و کیفیت تغییر رفتار سیگنال در نظر نمی‌گیرد، ممکن است سبب تفسیر اشتباه از نتایج گردد. همچنین، استخراج ویژگی‌های مختلف و انتخاب ویژگی‌های خود می‌تواند از چالش‌های بسیار از الگوریتم‌های بیان‌شده باشد. در این پژوهه، تلاش شده است تا ویژگی‌های فراکتال که ویژگی‌هایی غیر خطی بوده و با ماهیت غیر خطی و غیر ایستان سیگنال EEG سازگار است مورد بررسی قرار گیرند.

ویژگی‌های فراکتال عموماً به بررسی کمی-کیفی سیگنال پرداخته و به تغییر کیفیت رفتار سیگنال حساس می‌باشند. در نتیجه برای آشکارسازی هرگونه تغییر رفتار ناشی از یک بیماری در سیگنال می‌توانند از انتخاب‌های مهم در گام استخراج ویژگی باشند. با این وجود، در مرور ادبیات، مطالعه‌ای که پتانسیل این ویژگی‌های بعد فراکتال را به‌طور جامع بررسی و یا مقایسه نماید یافت نشد. بنابراین، در این پژوهه تلاش شده است تا هفت الگوریتم محاسبه بعد فراکتال مورد بررسی قرار گیرد. در نهایت ویژگی‌های به دست‌آمده مورد آزمون آماری قرار گرفته است تا قابلیت آشکارسازی و ایجاد تمایز معنادار میان دو گروه سالم و بیمار (مبلا به شیزوفرنی) توسط این ویژگی‌ها تحقیق گردد.

در ادامه این فصل به مرور مراحل پژوهش، اهمیت آن و بیان نوآوری‌های بررسی پرداخته شده است. همچنین، نتایج به‌دست‌آمده و بیان شده در فصل گذشته به‌طور خلاصه بیان و تفسیر گشته است. در نهایت، پیشنهادهایی برای ادامه پژوهش یا تحقیقات آتی بیان گشته است.

۲-۵- محتوا

به ترتیب شامل موارد زیر است:

۱-۲-۵- جمع‌بندی

نتایج به دست آمده در فصل گذشته نشان می‌دهد که بعد هیگوچی در ۱۴ کanal (تمام کanal‌ها به جز کanal‌های F7 و P3)، بعد کاتز در ۱۲ کanal (تمام کanal‌ها به جز کanal‌های F3، P3 و O2)، نمای هرست تعمیم‌یافته در ۱۵ کanal (تمام کanal‌ها به جز کanal 3)، بعد ماراگوس-سان در ۱۶ کanal، تحلیل نوسانات بدون تمایل در ۱۳ کanal (تمام کanal‌ها به جز کanal‌های F8، T3 و C3)، بعد لیبوویچ-توث در ۳ کanal (شامل C3، T4 و T5) و ویژگی نوسانات فراکتالی در ۱۱ کanal (تمام کanal‌ها به جز کanal‌های F7، F8، P4، T6 و O1) تفاوتی معنادار میان سیگنال EEG افراد سالم و بیمار ایجاد کرده‌اند. بنابراین، می‌توان گفت که در این میان بعد ماراگوس-سان بهترین عملکرد و بعد لیبوویچ توث بدترین عملکرد را دارا بوده است.

از سویی دیگر، در تمام ویژگی‌ها به جز نمای هرست تعمیم‌یافته و بعد لیبوویچ-توث، در تمام کanal مقدار بعد فراکتال در افراد سالم بیشتر از افراد مبتلا به بیماری شیزوفرنی به دست آمده است. در نتیجه می‌توان گفت که به طور متوسط ابتلا به بیماری شیزوفرنی پیچیدگی سیگنال EEG را کاهش می‌دهد. نمای هرست تعمیم‌یافته عکس این مورد را نشان می‌دهد. یعنی در تمامی کanal‌ها مقدار نمای هرست تعمیم‌یافته در افراد سالم پایین‌تر از افراد مبتلا به شیزوفرنی است. بعد لیبوویچ-توث رند یکنواختی را در کanal‌ها نشان نداده است اما در بیشتر کanal‌ها (به جز کanal‌های F8، C2، T3، C4 و F4) مقدار بعد فراکتال در افراد سالم بالاتر گزارش شده است.

به جز بررسی‌ها کanal‌ها، بار دیگر میانگین مقدار ویژگی‌ها در کanal‌ها برای هر سوژه محاسبه شده و مورد آزمون قرار گرفته است. نتایج این بررسی‌ها نشان داد که تمام ویژگی‌ها به جز بعد لیبوویچ-توث ($p = 0.229$) به طور متوسط دارای اختلافی معنادار میان سیگنال افراد سالم و بیمار ایجاد کرده‌اند ($p < 0.5$). از سویی دیگر، این مقدار متوسط ویژگی‌ها به جز در ویژگی نمای هرست تعمیم‌یافته ($p = 0.011$) به طور معناداری در افراد سالم بالاتر از افراد بیمار است. در این زمینه ویژگی ماراگوس-سان کمترین مقدار p را دارد است ($p < 0.001$).

۲-۵-۲- نوآوری

در این پژوهش، عملکرد هفت شاخص مهم برای محاسبه بعد فرکتال مورد بررسی قرار گرفته و نتایج آن معرفی گشته است. از آنجایی که این شاخص‌ها یا به‌طور کلی بعد فرکتال معیاری از پیچیدگی سیستم است و تغییرات کیفی سیگنال را در نظر می‌گیرد، نتایج آن قابل تفسیر است. بر این اساس می‌توان مشاهده نمود که در مقایسه با پژوهش انجام‌شده توسط نمازی [۱۴]، شاخص‌ها فرکتال چه در کانال‌ها به‌تنهایی و چه در مجموع از آنتروپی شانون عملکرد بهتری ارایه داده‌اند.

از سویی دیگر، با مقایسه نتایج شاخص‌ها در شرایط یکسان، نشان داده شد که بهترین الگوریتم برای محاسبه بعد فرکتال سیگنال EEG به‌منظور تشخیص بیماری شیزوفرنی بعد ماراگوس-سان است. این در حالی است که در مطالعاتی که از شاخص‌های غیر خطی برای طبقه‌بندی استفاده کردند، بعد هیگوچی مد نظر قرار داده شده است.

۳-۲-۵- پیشنهادها

برای بررسی‌های آتی پیشنهادهای زیر ارایه می‌گردد:

- ۱- استفاده از الگوریتم‌های یادگیری ماشین می‌تواند دید مناسبی از عملکرد ویژگی‌ها ایجاد کرده و امکان مقایسه صحت حاصل‌شده در نتیجه‌ی استفاده از هر یک از شاخص‌های فرکتال را فراهم کند.
- ۲- استفاده از مجموعه ویژگی‌های فرکتال در کنار سایر ویژگی‌های از جمله خواص آماری سیگنال‌ها و ویژگی‌هایی از جمله انواع آنتروپی در کنار یادگیرنده‌هایی از جمله SVM و شبکه عصبی ممکن است سبب بهبود الگوریتم‌های تشخیصی گردد.
- ۳- استفاده از روش‌ها ادغام ویژگی‌ها ممکن است در بهبود تشخیص بیماری شیزوفرنی نقش مؤثری داشته باشد.
- ۴- محاسبه شاخص‌های فرکتال طیف فرکانس یا مؤلفه‌های زمان فرکانس و بررسی می‌تواند به بررسی چگونگی تغییرات کیفی طیف فرکانسی در اثر بیماری شیزوفرنی کمک نماید.
- ۵- محاسبه ماتریس اتصالات با استفاده از اطلاعات سیگنال دریافت‌شده از کانال‌ها می‌تواند به ساخت شبکه نورونی منجر شود. سپس با جایگزینی مدل‌های نورونی می‌توان عملکرد مغز در حالات مختلف در بیماری شیزوفرنی را بررسی کرده و الگوهای زمانی-مکانی نورون‌ها را در این بیماری مدل نمود. این امر می‌تواند در

در ک عمیق‌تر، مدل‌سازی و در نتیجه تشخیص بهتر بیماری مفید واقع شود.

مراجع

مراجع

- [1] S. Sanei and J. A. Chambers, *EEG signal processing*. John Wiley & Sons, 2013.
- [2] J. Van Os, G. Kenis, and B. P. Rutten, "The environment and schizophrenia," *Nature*, vol. 468, no. 7321, pp. 203-212, 2010.
- [3] P. McGuire and C. Frith, "Disordered functional connectivity in schizophrenia1," *Psychological medicine*, vol. 26, no. 4, pp. 663-667, 1996.
- [4] B. Raghavendra, D. N. Dutt, H. N. Halahalli, and J. P. John, "Complexity analysis of EEG in patients with schizophrenia using fractal dimension," *Physiological measurement*, vol. 30, no. 8, p. 795, 2009.
- [5] (1394). *Electroencephalograph images*. Available: https://www.hidocctor.ir/75467_%D8%AA%D8%B5%D8%A7%D9%88%DB%8C%D8%B1-%D8%AF%D8%B3%D8%AA%DA%AF%D8%A7%D9%87-%D8%A7%D9%84%DA%A9%D8%AA%D8%B1%D9%88%D8%A7%D9%86%D8%B3%D9%81%D8%A7%D9%84%D9%88%DA%AF%D8%B1%D8%A7%D9%81.html/
- [6] M. Abo-Zahhad, S. M. Ahmed, and S. N. Abbas, "A new EEG acquisition protocol for biometric identification using eye blinking signals," *International Journal of Intelligent Systems and Applications*, vol. 7, no. 6, p. 48, 2015.
- [7] C. Devia *et al.*, "EEG classification during scene free-viewing for schizophrenia detection," *IEEE Transactions on Neural Systems and Rehabilitation Engineering*, vol. 27, no. 6, pp. 1193-1199, 2019.
- [8] F. Li *et al.*, "Differentiation of schizophrenia by combining the spatial EEG brain network patterns of rest and task P300," *IEEE Transactions on Neural Systems and Rehabilitation Engineering*, vol. 27, no. 4, pp. 594-602, 2019.
- [9] M. Shim, H.-J. Hwang, D.-W. Kim, S.-H. Lee, and C.-H. Im, "Machine-learning-based diagnosis of schizophrenia using combined sensor-level and source-level EEG features," *Schizophrenia research*, vol. 176, no. 2-3, pp. 314-319, 2016.
- [10] J. K. Johannessen, J. Bi, R. Jiang, J. G. Kenney, and C.-M. A. Chen, "Machine learning identification of EEG features predicting working memory performance in schizophrenia and healthy adults," *Neuropsychiatric electrophysiology*, vol. 2, no. 1, pp. 1-21, 2016.
- [11] R. Boostani and M. Sabeti, "Optimising brain map for the diagnosis of schizophrenia," *International Journal of Biomedical Engineering and Technology*, vol. 28, no. 2, pp. 105-19, 2018.
- [12] N. N. Gorbachevskaya and M. V. Borisov, "EEG of healthy adolescents and adolescents with symptoms of schizophrenia," in *EEG Records Databases*, M. V. L. M. S. U. Laboratory for Neurophysiology and Neuro-Computer Interfaces, Faculty of Biology, Ed., ed, 2005.
- [13] A. Piryatinska, B. Darkhovsky, and A. Kaplan, "Binary classification of multichannel-EEG records based on the ϵ -complexity of continuous vector functions," *Computer methods and programs in biomedicine*, vol. 152, pp. 131-139, 2017.
- [14] H. Namazi, "Information-based classification of electroencephalography (EEG) signals for healthy adolescents and adolescents with symptoms of Schizophrenia," *Fluctuation and Noise Letters*, vol. 19, no. 04, p. 2050033, 2020.
- [15] E. Olejarczyk and W. Jernajczyk, "EEG in schizophrenia," ed, 2017.

- [16] V. Jahmunah *et al.*, "Automated detection of schizophrenia using nonlinear signal processing methods," *Artificial intelligence in medicine*, vol. 100, p. 101698, 2019.
- [17] T. Bose, S. D. Sivakumar, and B. Kesavamurthy, "Identification of schizophrenia using EEG alpha band power during hyperventilation and post-hyperventilation," *Journal of Medical and Biological Engineering*, vol. 36, no. 6, pp. 901-911, 2016.
- [18] J. W. Jeong *et al.*, "Classifying schizotypy using an audiovisual emotion perception test and scalp electroencephalography," *Frontiers in human neuroscience*, vol. 11, p. 450, 2017.
- [19] W.-L. Chu, M.-W. Huang, B.-L. Jian, and K.-S. Cheng, "Analysis of EEG entropy during visual evocation of emotion in schizophrenia," *Annals of General Psychiatry*, vol. 16, no. 1, pp. 1-9, 2017.
- [20] F. Alimardani and R. Boostani, "DB-FFR: a modified feature selection algorithm to improve discrimination rate between bipolar mood disorder (BMD) and schizophrenic patients," *Iranian Journal of Science and Technology, Transactions of Electrical Engineering*, vol. 42, no. 3, pp. 251-260, 2018.
- [21] F. Alimardani, J.-H. Cho, R. Boostani, and H.-J. Hwang, "Classification of bipolar disorder and schizophrenia using steady-state visual evoked potential based features," *IEEE Access*, vol. 6, pp. 40379-40388, 2018.
- [22] C.-R. Phang, C.-M. Ting, S. B. Samdin, and H. Ombao, "Classification of EEG-based effective brain connectivity in schizophrenia using deep neural networks," in *2019 9th International IEEE/EMBS Conference on Neural Engineering (NER)*, 2019, pp. 401-406: IEEE.
- [23] C.-R. Phang, F. Noman, H. Hussain, C.-M. Ting, and H. Ombao, "A multi-domain connectome convolutional neural network for identifying schizophrenia from EEG connectivity patterns," *IEEE journal of biomedical and health informatics*, vol. 24, no. 5, pp. 1333-1343, 2019.
- [24] S. L. Oh, J. Vicnesh, E. J. Ciaccio, R. Yuvaraj, and U. R. Acharya, "Deep convolutional neural network model for automated diagnosis of schizophrenia using EEG signals," *Applied Sciences*, vol. 9, no. 14, p. 2870, 2019.
- [25] J. Sun *et al.*, "A hybrid deep neural network for classification of schizophrenia using EEG Data," *Scientific Reports*, vol. 11, no. 1, pp. 1-16, 2021.
- [26] B. B. Mandelbrot, *The fractal geometry of nature*. WH freeman New York, 1982.
- [27] N. O. Schmidt and R. Katebi, "Initiating Santilli's iso-mathematics to triplex numbers, fractals, and Inopin's holographic ring: preliminary assessment and new lemmas," *Hadronic Journal*, vol. 36, 2013.
- [28] S. S. Chandra *et al.*, "Chaotic sensing," *IEEE Transactions on Image Processing*, vol. 27, no. 12, pp. 6079-6092, 2018.
- [29] K. Irwin, "Toward the unification of physics and number theory," *Reports in Advances of Physical Sciences*, vol. 3, no. 01, p. 1950003, 2019.
- [30] T. Nail. (2021). *Why our "wandering brains" are wired to love art and nature*. Available: <https://www.salon.com/2021/06/15/why-our-wandering-brains-are-wired-to-love-art-and-nature/>
- [31] H. Namazi, "Can we mathematically correlate brain memory and complexity," *ARC Journal of Neuroscience*, vol. 3, no. 2, pp. 10-12, 2018.
- [32] R. Esteller, G. Vachtsevanos, J. Echauz, and B. Litt, "A comparison of waveform fractal dimension algorithms," *IEEE Transactions on Circuits and Systems I: Fundamental Theory and Applications*, vol. 48, no. 2, pp. 177-183, 2001.

- [33] I. Pilgrim and R. P. Taylor, "Fractal analysis of time-series data sets: Methods and challenges," *Fractal analysis*, 2018.
- [34] T. Higuchi, "Approach to an irregular time series on the basis of the fractal theory," *Physica D: Nonlinear Phenomena*, vol. 31, no. 2, pp. 277-283, 1988.
- [35] M. J. Katz, "Fractals and the analysis of waveforms," *Computers in Biology and Medicine*, vol. 18, no. 3, pp. 145-156, 1988/01/01/ 1988.
- [36] T. Di Matteo, "Multi-scaling in finance," *Quantitative Finance*, vol. 7, no. 1, pp. 21-36, 2007/02/01 2007.
- [37] P. Maragos and S. Fan-Kon, "Measuring the Fractal Dimension of Signals: Morphological Covers and Iterative Optimization," *IEEE Transactions on Signal Processing*, vol. 41, no. 1, p. 108, 1993.
- [38] C. K. Peng, S. V. Buldyrev, S. Havlin, M. Simons, H. E. Stanley, and A. L. Goldberger, "Mosaic organization of DNA nucleotides," *Physical Review E*, vol. 49, no. 2, pp. 1685-1689, 02/01/ 1994.
- [39] L. S. Liebovitch and T. Toth, "A fast algorithm to determine fractal dimensions by box counting," *Physics Letters A*, vol. 141, no. 8, pp. 386-390, 1989/11/20/ 1989.
- [40] K. Suganthi and G. Jayalalitha, "Geometric Brownian Motion in Stock Prices," *Journal of Physics: Conference Series*, vol. 1377, no. 1, p. 012016, 2019/11/01 2019.
- [41] W. Severa, R. Lehoucq, O. Parekh, and J. B. Aimone, "Spiking neural algorithms for markov process random walk," in *2018 International Joint Conference on Neural Networks (IJCNN)*, 2018, pp. 1-8: IEEE.
- [42] F. Madadizadeh, "Popular statistical tests for investigating the relationship between two variables in medical research," *Journal of Community Health Research*, vol. 9, no. 1, pp. 1-3, 2020.
- [43] C. Wild, "The Wilcoxon Rank-Sum Test," ed, 1997.

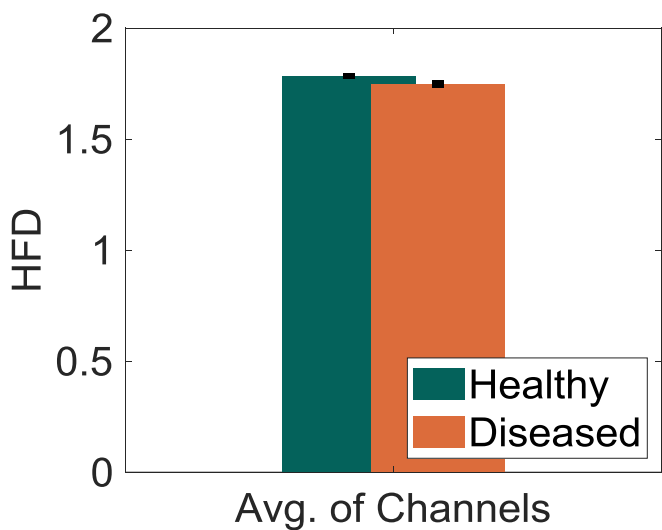
پیوست‌ها

پیوست الف

در فصل نتایج، خلاصه نتایج جداول به صورت نمودار میله‌ای شامل میانگین و انحراف معیار (برای نمایش بهتر) ویژگی‌ها نمایش داده شد. در این بخش این نمودارها به همراه خطای معیار ویژگی در هر کanal نمایش داده شده است تا معناداری یا عدم معناداری ویژگی‌ها در هر کanal و به طور متوسط ملموس‌تر گردد.

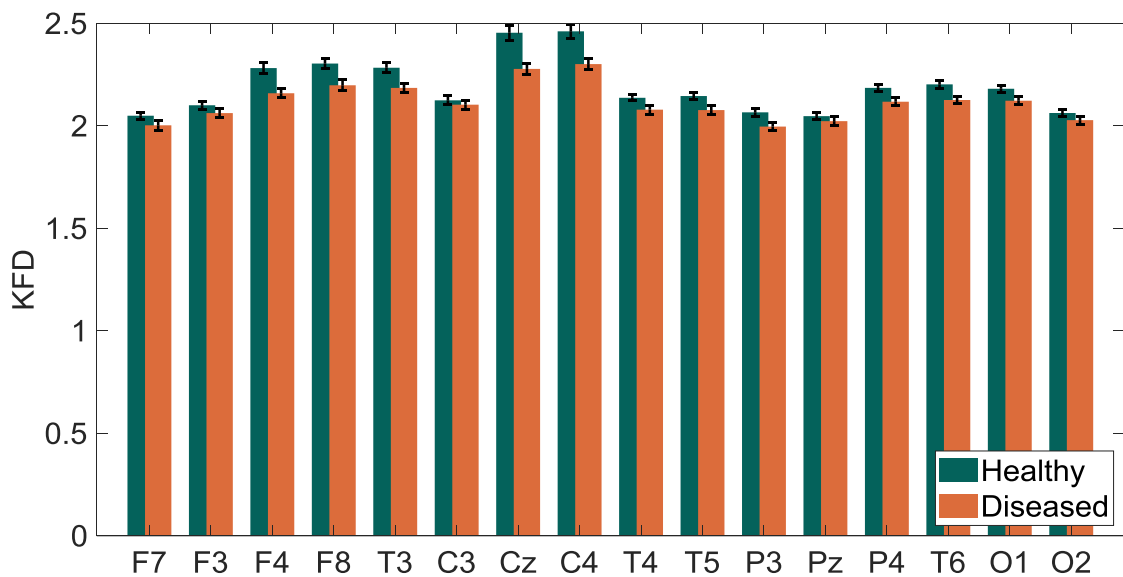


شکل ۱ میانگین و خطای معیار ویژگی بعد هیگوچی در ۱۶ کanal EEG برای دادگان افراد سالم و افراد مبتلا به بیماری شیزوفرنی

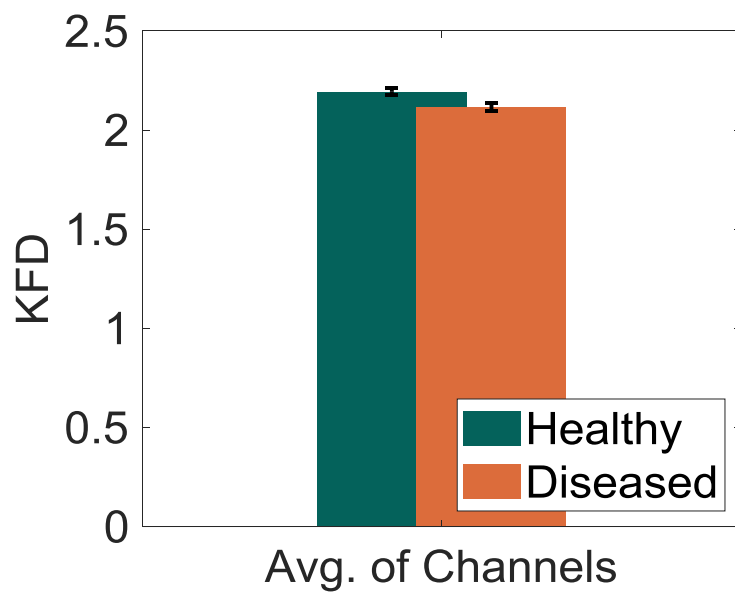


شکل ۲ میانگین و خطای معیار ویژگی بعد هیگوچی متوسط در ۱۶ کanal EEG برای دادگان افراد سالم و افراد مبتلا به

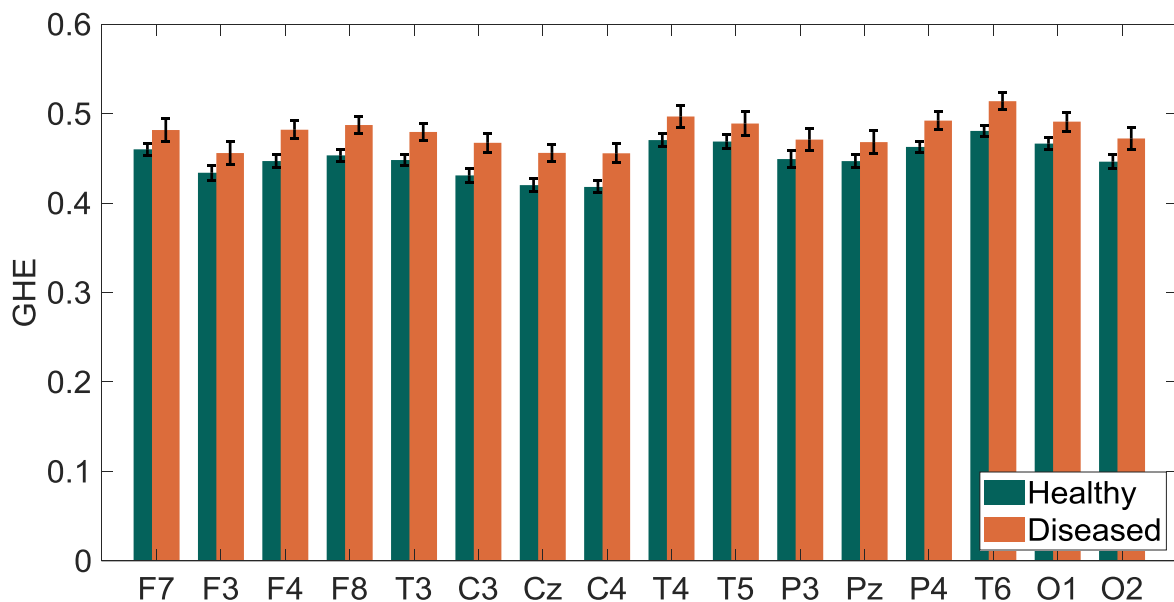
بیماری شیزوفرنی



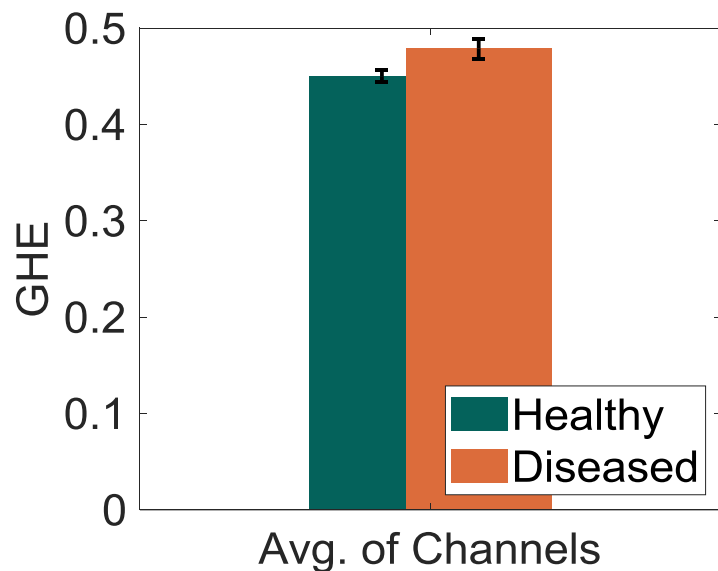
شکل ۳ میانگین و خطای معیار ویژگی بعد کاتز در ۱۶ کanal EEG برای دادگان افراد سالم و افراد مبتلا به بیماری شیزوفرنی



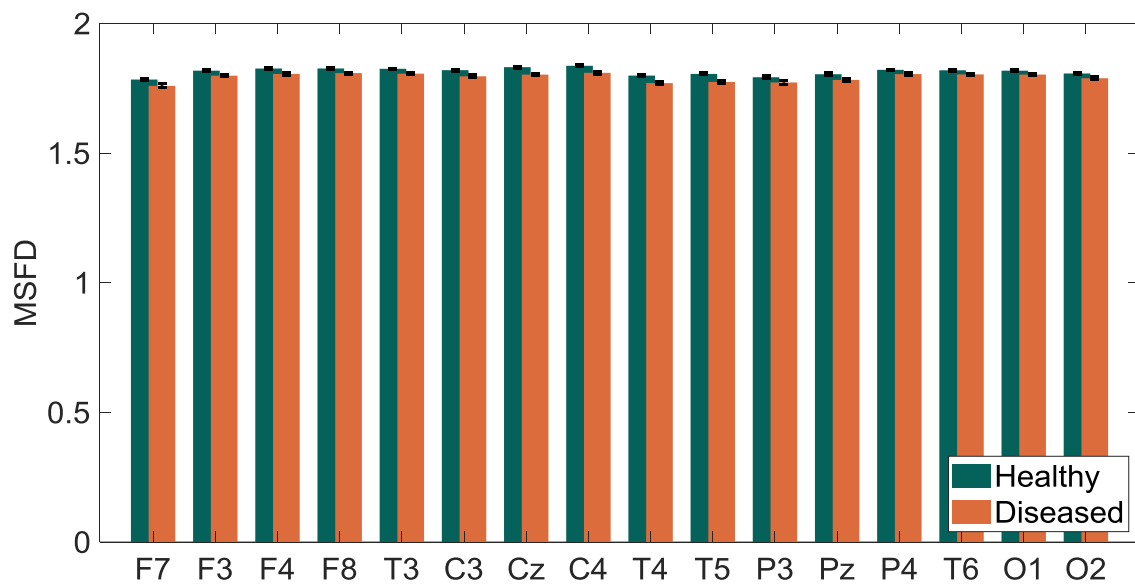
شکل ۴ میانگین و خطای معیار ویژگی بعد کاتز متوسط در ۱۶ کanal EEG برای دادگان افراد سالم و افراد مبتلا به بیماری شیزوفرنی



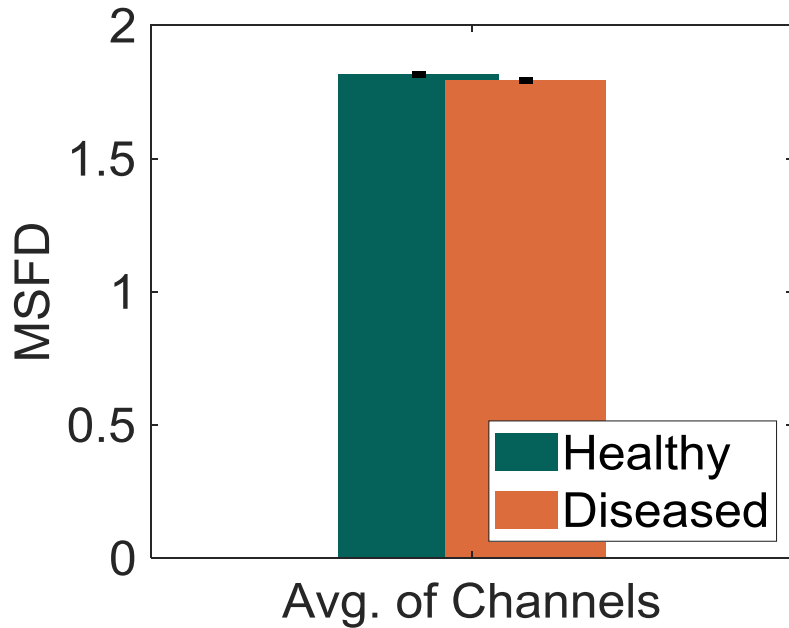
شکل ۵ میانگین و خطای معیار ویژگی نمای هرسنت تعمیم‌یافته در ۱۶ کanal EEG برای دادگان افراد سالم و افراد مبتلا به بیماری شیزوفرنی



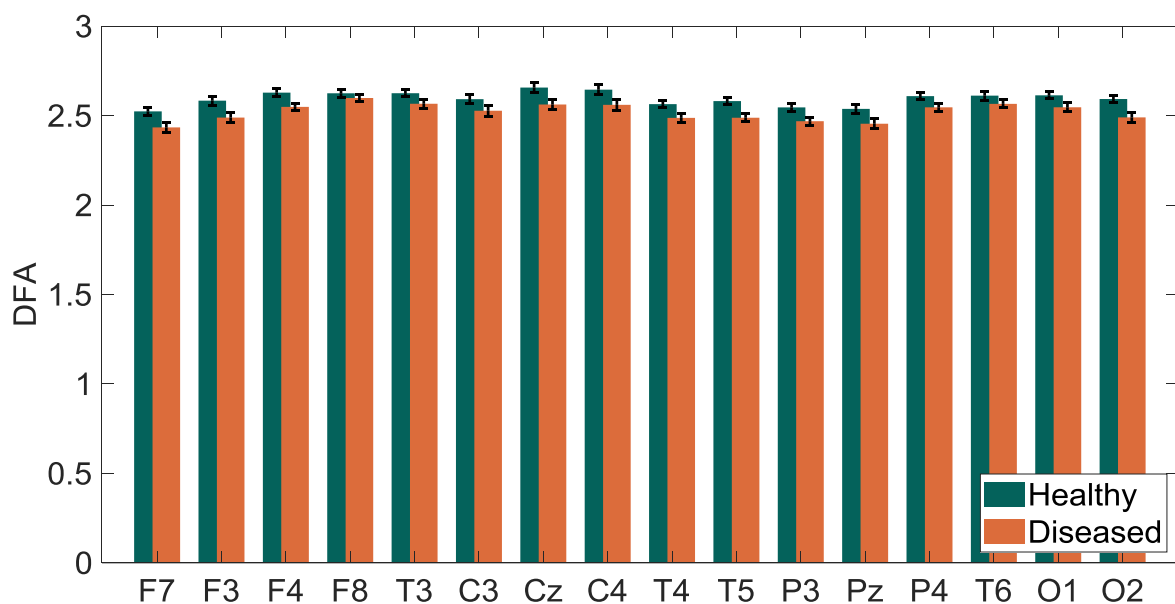
شکل ۶ میانگین و خطای معیار ویژگی نمای هرسنت تعمیم‌یافته متوسط در ۱۶ کanal EEG برای دادگان افراد سالم و افراد مبتلا به بیماری شیزوفرنی



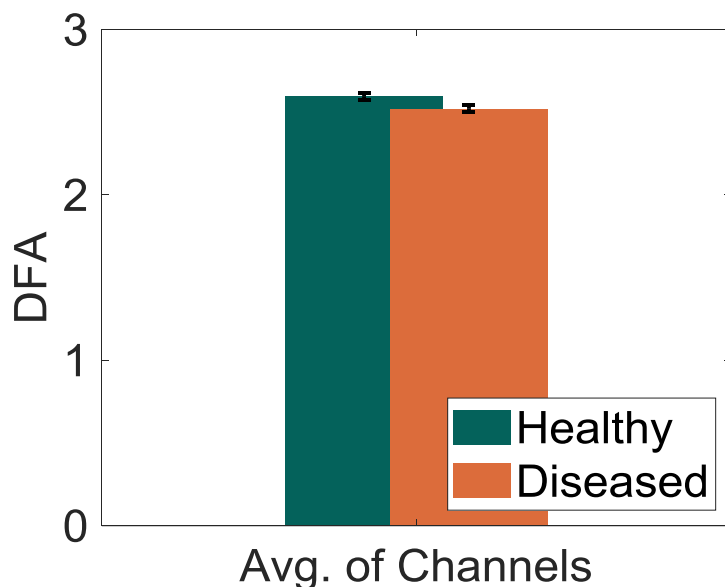
شکل ۷ میانگین و خطای معیار ویژگی بعد ماراگوس-سان در ۱۶ کanal EEG برای دادگان افراد سالم و افراد مبتلا به بیماری شیزوفرنی



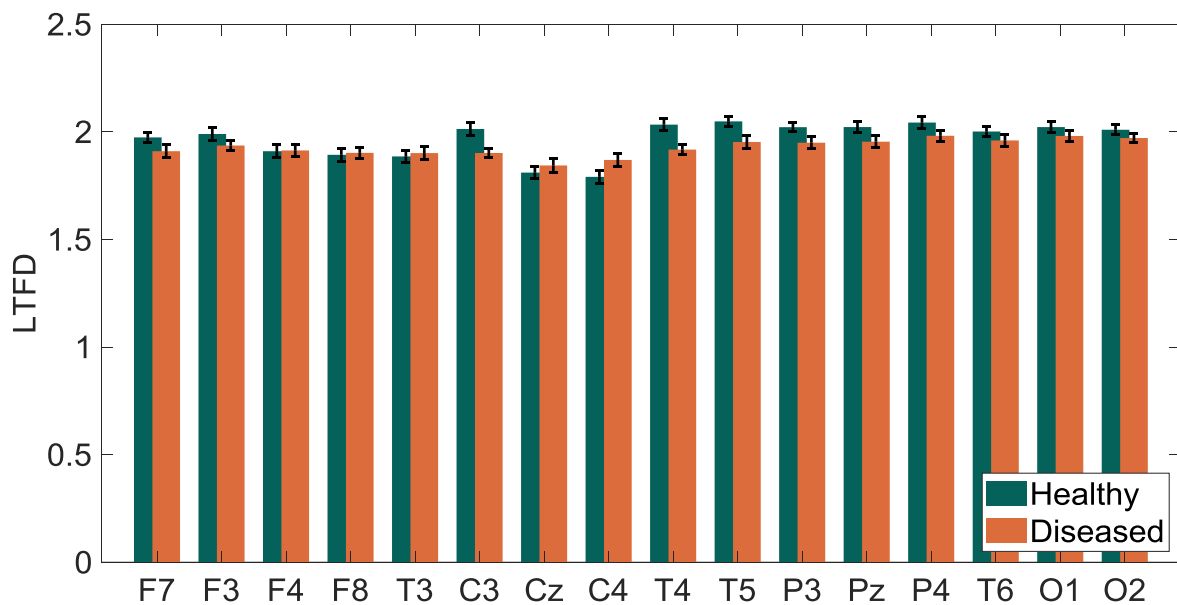
شکل ۸ میانگین و خطای معیار ویژگی بعد ماراگوس-سان متوسط در ۱۶ کanal EEG برای دادگان افراد سالم و افراد مبتلا به بیماری شیزوفرنی



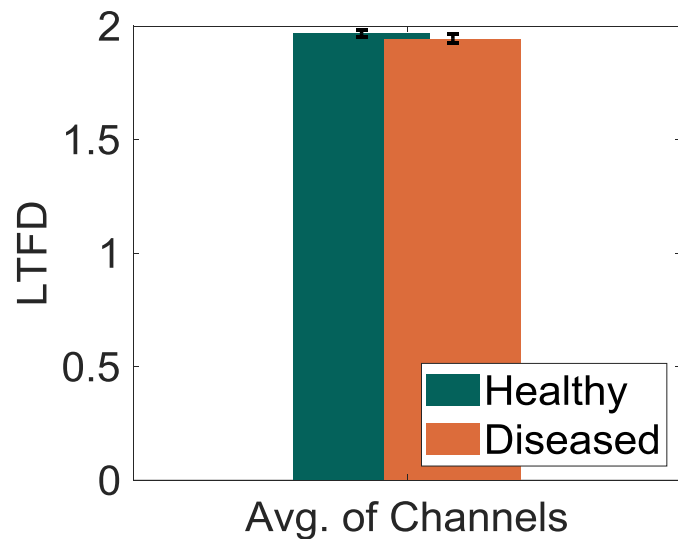
شکل ۹ میانگین و خطای معیار ویژگی بعد فرآکتال به روش تحلیل نوسان‌های بدون تمایل در ۱۶ کanal EEG برای دادگان افراد سالم و افراد مبتلا به بیماری شیزوفرنی



شکل ۱۰ میانگین و خطای معیار ویژگی بعد فرآکتال به روش تحلیل نوسان‌های بدون تمایل متوسط در ۱۶ کanal EEG برای دادگان افراد سالم و افراد مبتلا به بیماری شیزوفرنی



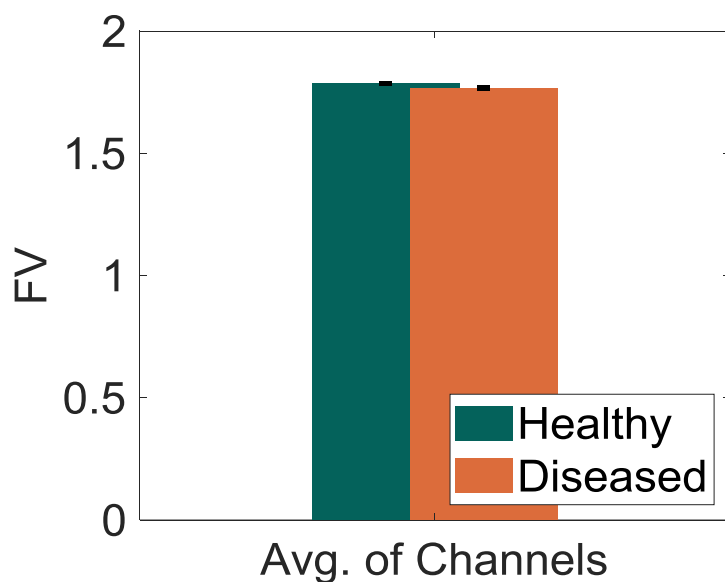
شکل ۱۱ میانگین و خطای معیار ویژگی بعد لیبوویچ-توث در ۱۶ کanal EEG برای دادگان افراد سالم و افراد مبتلا به بیماری شیزوفرنی



شکل ۱۲ میانگین و خطای معیار ویژگی بعد لیبوویچ-توث متوسط در ۱۶ کanal EEG برای دادگان افراد سالم و افراد مبتلا به بیماری شیزوفرنی



شکل ۱۳ میانگین و خطای معیار ویژگی نوسانات فرکتالی-توث در ۱۶ کanal EEG برای دادگان افراد سالم و افراد مبتلا به بیماری شیزوفرنی



شکل ۱۴ میانگین و خطای معیار ویژگی نوسانات فرکتالی متوسط در ۱۶ کanal EEG برای دادگان افراد سالم و افراد مبتلا به بیماری شیزوفرنی

Abstract:

Analyzing brain activity is one of the most critical research areas in neuroscience. Recently, examining such activities in patients with brain disorders has attracted much attention. Comparing brain activity in healthy people and people with certain disorders is among the important research areas in this field. One of the serious diseases caused by neurological disorders of the brain is schizophrenia, an acute mental disorder, and its early diagnosis is essential. Since the electroencephalogram or EEG signal— a non-invasive and multi-channel recording of the brain's electrical activity taking place with a high time resolution— it contains valuable information about brain functioning and its regional connectivity. Accordingly, the EEG signal is considered one of the most important diagnostic tools.

In this project, the EEG signal has been employed to detect schizophrenia. The data used in this study include the EEG signals of 39 healthy people and 45 people with symptoms of schizophrenia, recorded with a frequency of 128 Hz from 16 channels for one minute. Due to the EEG's non-stationary and non-linearity nature, the fractal dimension, known as non-linear features in signal processing and a measure of the signal's complexity, was extracted using seven different algorithms (seven fractal indices including the Higuchi dimension, Katz dimension, Generalized Hurst exponent, Maragos-Sun dimension, detrended fluctuation analysis, Liebovich-Toth dimension, and fractal volatility) from each channel, separately. Finally, to check the performance of these features and compare them, the Wilcoxon rank sum test, a non-parametric statistical test, was executed. A similar process was performed on the average value (over channels) for each person. The results of the investigations indicate that the Maragos-Sun dimension shows significant differences in all channels ($p<0.05$) and average value ($p<0.001$), so it can be said that the complexity of EEG signals is significantly reduced in schizophrenia.

Keywords: Schizophrenia, electroencephalogram signal, fractal dimension, Wilcoxon rank sum test



Energy Institute of Higher Education

Diagnosis of schizophrenia based on electroencephalogram signal and fractal features

**A Thesis Submitted in Partial Fulfillment of the Requirement for the
Degree of Master of Science in Biomedical Engineering-Bioelectric**

By:
Mohammad Ali Jafari

Supervisor:
Dr. Hossein Hassanpour

September 2022